

*S<sub>2</sub>*

*XII - 1133*

*1972*

*S<sub>4</sub>*

11 Б178. Спектры инфракрасного поглощения S<sub>4</sub>.  
 Мейер В., Струйер — Нансен Т. Infrared spectra  
 of S<sub>4</sub>. «J. Phys. Chem.», 1972, 76, № 26, 3968—3969  
 (англ.)

Измерены спектры ИК- и УФ-поглощения S<sub>2</sub>, изолиро-  
 ванной в матрицах инертных газов при М/А от 100 до  
 500 при 20° К. Обнаруженная в УФ-спектре полоса  
 530 мкм, и полосы поглощения 668, 483, 320 и 270 см<sup>-1</sup>  
 в ИК-спектре свидетельствуют о наличии молекул S<sub>4</sub>.

Г. Кузьянц

*X. 1973 N 11*

(+)

☒

*S<sub>2</sub>*

*BP XII-1122*

*1972*

145897x Resonance fluorescence and Raman spectra of gaseous sulfur. Yee, K. K.; Barrow, R. F.; Rogstad, Astrid (Phys. Chem. Lab., Oxf. Univ., Oxford, Engl.). *J. Chem. Soc., Faraday Trans. 2* 1972, 68(Pt. 10), 1808-11 (Eng). The Raman spectrum of gaseous S<sub>2</sub> was obsd. at 880°K and pressure  $\leq 100$  torr, and the band at 718 cm<sup>-1</sup> was assigned to the fundamental mode of vibration of S<sub>2</sub>. A resonance fluorescence series of <sup>32</sup>S<sub>2</sub>(g) excited by the 5145-Å Ar<sup>+</sup> laser line was analyzed in detail; the excitation was in the 4-21 band of the  $B^3\Sigma_u^-$ - $X^3\Sigma_g^-$  system. Franck-Condon factors were calcd. from Rydberg-Klein-Rees potential curves and confirmed exptl. by the obsd. relative intensities in the fluorescence.

*M.H*

*C.A. 1972. 77-N22.*

*S<sub>2</sub>*

*ВР-XII-1122*

*1972.*

8 Б171. Спектры резонансной флуоресценции и комбинационного рассеяния газообразной серы. Yee K. K.,  
Bergow R. F., Rogstad Astr. Resonance fluorescence and Raman spectra of gaseous sulphur. «J. Chem. Soc. Faraday Trans.», 1972, Part II, № 10, 1808—1811  
(англ.)

Получены спектры КР и резонансной флуоресценции газ. серы при т-рах 670—1170° К и давл. до 1—2 атм. Спектры возбуждали линией  $\lambda=5145\text{ \AA}$  Аг-лазера, в спектрах выполнены поляризац. измерения. Сильно поляризованная линия ( $\Delta\nu=718\text{ cm}^{-1}$ , проявляющаяся при т-ре 880° К и давл. ~100 мм, приписана спектру КР  $S_2$  (основное кол.  $S_2$ ), при матричной изоляции  $S_2$   $\Delta\nu=716\text{ cm}^{-1}$ , результаты исследования электронных

*спектр*

*Ei, vi*

*x. 1973. N 8.*

спектров дают значение  $\sim 720$  см $^{-1}$ . Деполяризованные линии отнесены к спектру резонансной флуоресценции, проявляется только полоса 4—21 перехода  $B^3\Sigma_u^- - X^3\Sigma_g^-$ . Приведена схема энергетич. уровней и рассчитаны параметры Франка — Кондона для различных переходов. Теор. рассчитанные значения параметров хорошо согласуются с распределением интенсивностей в спектре резонансной флуоресценции.

А. Бобров

1972

S<sub>2</sub>

Zuev, V. S.; et al

"Piz'ma Zh. Eksp. Teor. Fiz"

9 n. nepx.

1972, 16 (4), 222-4.

● (ex. COS; III)

30531.7544

S<sub>2</sub>

1.973

Ch. STE

29547

X

Boschi R., Schmidt W. The photoelectron spectrum and structure of sulfur in the gas phase at 140°C."Inorg. and Nucl. Chem. Lett.", 1973, 9, N6, 643-648

(англ.)

869 871'878 0885 ник · ВИНИТИ

88 XII-1189

1973

S<sub>2</sub>

151820d Calculation of potential energy curves for diatomic sulfur perturbed by a frozen inert gas matrix environment.  
•Brabson, G. D.; Volkmar, R. L. (Frank J. Seiler Res. Lab., U.S. Air Force Acad., Colorado Springs, Colo.). *J. Chem. Phys.* 1973, 58(8), 3209-15 (Eng). When S<sub>2</sub> is trapped in a frozen inert gas matrix, both the equil. internuclear distance  $r_e$  and the vibrational parameter  $\omega_e$  are perturbed by the matrix environment. If it is assumed that the Morse potential adequately represents the lowest part of the potential energy curve, the perturbation of  $r_e$  can be related to the perturbation of  $\omega_e$  as follows:  $\Delta r_e = -\text{const.} \Delta \omega_e$ . The validity of this result is demonstrated by the fact that, if exptl. values of  $\Delta \omega_e$  are used to calc. predicted values of  $\Delta r_e$ , these predicted values are in excellent agreement with the exptl. results.

Q.-ynd  
no meus  
sheps.

88 XII-1189

C.A. 1973. 78N24

BP-XII-1189

S<sub>2</sub>

1973

10 Д125. Расчеты возмущенных кривых потенциальной энергии молекулы S<sub>2</sub> в матрицах из замороженных инертных газов. Brabson G. D., Volkmar R. L. Calculation of potential energy curves for S<sub>2</sub> perturbed by a frozen inert gas matrix environment. «J. Chem. Phys.», 1973, 58, № 8, 3209—3215 (англ.)

Рассмотрено изменение потенциальной кривой двухатомной молекулы, вызванное взаимодействием ее с окружающей средой в матрице. Предполагая, что потенциальные кривые свободной двухатомной молекулы и молекулы в матрице можно аппроксимировать потенциалом Морзе, авторы получили соотношение между изменением равновесного межъядерного расстояния  $\Delta r_e$ , обусловленного матричным окружением, и анало-

25-781

ф. 1973 N 10

личным изменением значения колебательной постоянной  $\Delta\omega_e$ , вида  $\Delta r_e = \text{const} \cdot \Delta\omega_e$ . Справедливость полученного соотношения демонстрируется расчетом  $\Delta r_e$  по эксперим. значениям  $\Delta\omega_e$  для молекулы  $S_2$  (состояния  $X^3\Sigma_g^-$  и  $B^3\Sigma_u^-$ ) в матрицах из ксенона, криптона, аргона, неона и азота. Полученные равновесные значения межъядерного расстояния  $S_2$  в матрицах использованы для расчета потенциальных кривых и последующего расчета распределения интенсивностей флуоресцентных переходов. Предсказанные интенсивности сравниваются с экспериментом.

А. И. Дементьев

\* 43-781

1973

20 Б109. Вычисление кривых потенциальной энергии молекул  $S_2$ , возмущенных окружением в матрицах инертных газов. Grabson G. D., Volkmar R. L. Calculation of potential energy curves for  $S_2$  perturbed by a frozen inert gas matrix environment. «J. Chem. Phys.», 1973, 58, № 8, 3209—3215 (англ.)

Экспериментально установлено, что в спектре флуоресценции молекул  $S_2$  в газовой фазе полосы (0,8) и (0,9) прогрессии ( $0, v''$ ) электронного перехода  $B^3\Sigma_u^- \rightarrow X^3\Sigma_g^+$  наиболее интенсивны, а в спектре флуоресценции молекул  $S_2$ , изолированных в матрице Кг, наиболее интенсивны полосы (0,6) и (0,7) (аналогичные эффекты найдены и для других матриц). Предложена полуэмпирическая модель для интерпретации этого эффекта, основанная на выборе кривых потенц. энергии основного и возбужденного электронных состояний в виде функции Морзе или Ридберга—Клейна—Риса с различными значениями раз-

видим.

XIII-1189

Х. 1973. № 20

новесного межъядерного расстояния  $r_e$  и частоты колебания  $\omega_e$  в газовой фазе и в матричной изоляции. По этой модели вычислены положения и интенсивности полос ( $0, v''$ ) молекулы  $S_2$  в матрицах Xe, Kr, Ar, Ne и  $N_2$ . Для  $S_2$  в матрицах Xe, Kr, Ar и  $N_2$  при использовании потенциалов РКР получено удовлетворительное согласие с экспериментом.

М. Р. Алиев

*S<sub>2</sub>*

oummeek 1580

1973

Kulkarni K.S., Sarma C.R.

Semiempirical methods in molecules.

"J.Phys. B; Atom. and Mol.Phys.",

1973, 6, NII, 2377-2381.

40222.1940

Ph, TE, Ch

S<sub>2</sub>

34469

1973

1992

Индия

Kulkarni K. S., Sarma C. R., Mulirthy J. S.

Semi-empirical evaluation of single bond  
energies of some polyatomic molecules.

"Indian J. Pure and Appl. Phys.", 1973,  
11, N 6, 431-432 (англ.)

0050 руб

038 038

0 0 4 3

ВИНИТИ

S<sub>2</sub>

Omnitech 3883

1973

Le Roy R. J.

Infrared Mol. Spectrosc. Vol 1,  
London, 1973, 113-176  
Energy levels of a diazo-  
mic Rear dissociation



(all 2'at; M. n.)

1973

*S<sub>2</sub>*

8 Б152. Интенсивности вращательных сателлитов и  
триплетное расщепление в состоянии  $B^3\Sigma_u^-$  молекулы  $S_2$ .  
Meyer Keith A., Crosley David R. Rotational  
satellite intensities and triplet splitting in the  $B^3\Sigma_u^-$  state  
of  $S_2$ . «Can. J. Phys.», 1973, 51, № 20, 2119—2124 (англ.;  
рез. франц.)

*интенсивности сателлитных линий*

*м.н.*

Измерены интенсивности сателлитных линий с  $\Delta N \neq \Delta J$   
(ветви  ${}^P R_{13}$ ,  ${}^N P_{13}$ ,  ${}^R P_{31}$  и  ${}^T R_{31}$ ) вращательной структуры  
полос флуоресценции из колебательных уровней с  $v' =$   
 $= 3$  и  $4$  возбужденного электронного состояния  $B^3\Sigma_u^-$  в  
колебательные уровни с  $v'' < 22$  основного состояния  
 $X^3\Sigma_g^-$  молекулы  $S_2$  при селективном возбуждении состоя-  
ний с  $v' = 3$  и  $4$   $S_2$  линиями Zn 3076 Å и Cd 3261 Å соот-  
ветственно. Результаты измерений согласуются с резуль-  
татами расчета для случая, промежуточного между слу-  
чаями (a) и (b) Гунда, при учете обращения триплета.  
Показано, что постоянная  $\lambda'$  спин-спинового взаимодей-

52743  
 $\chi_{11} - 1280$

\*

*Х. 1974 № 8*

ствия состояния  $B^3\Sigma_u^-$  меняет знак при переходе от уровня с  $v'=3$  к уровню с  $v'=4$  ( $\lambda_3^1 \approx 9,5 \text{ см}^{-1}$ ,  $\lambda_4^1 \approx -4,7 \text{ см}^{-1}$ ). Этот результат вместе с лит. данными по др. полосам показывает, что для уровней с  $v=0, 2; 4, 6$  и  $7$   $\lambda' < 0$ , (обращенный триплет), а для уровней с  $v'=1, 3$  и  $5$   $\lambda' > 0$  (регулярный триплет): зависимость  $\lambda'$  от  $J$  регулярная. Для основного состояния  $X^3\Sigma_g^-$  получена регулярная зависимость  $\lambda''$ , вращательной постоянной  $B''$  и постоянной спин-вращательного взаимодействия  $y''$  от  $v''$ .

М. Р. Алиев

XII-1280

1973

S<sub>2</sub>

4 Д816. Интенсивности вращательных спутников и  
триплетное расщепление в состоянии  $B^3\Sigma_u^-$  молекулы  
 $S_2$ . Meyer Keith A., Crosley David R. Rotational satellite intensities and triplet splitting in the  $B^3\Sigma_u^-$  state of  $S_2$ . «Can. J. Phys.», 1973, 51, № 20, 2119—2124 (англ.; рез. франц.)

Измерена интенсивность ветви спутников ( $\Delta N \neq \Delta J$ ) линий флуоресценции молекулярной серы при селективном возбуждении колебательных уровней  $v'=4$  и  $v'=3$  ее электронного состояния  $B^3\Sigma_u^-$ -линиями цинка 3076 Å и кадмия 3261 Å. Из сравнения полученных результатов с вычисленными силами линий сделан вывод, что эти два колебательных уровня различаются по величине и знаку параметра спин-спиновой связи. Проведен анализ спектральных данных для других колебательных уровней.

П. Ш.

\* 63-2743

д. 1974 № 4

1973

\*45-2743  
XII-7280

S<sub>2</sub>  
P<sub>2</sub>  
(B-X)

M. h.

32152u Rotational satellite intensities and triplet splitting in the  $B^3\Sigma_u^-$  state of diatomic sulfur. Meyer, Keith A.; Crosley, David R. (Dep. Chem., Univ. Wisconsin, Madison, Wis.). *Can. J. Phys.* 1973, 51(2), 2119-24 (Eng). Measurements were made on the intensities of rotational satellites ( $\Delta N \neq \Delta J$ ) in selectively excited fluorescence in the  $B$ - $X$  system of  $S_2$ . The satellites appear in fluorescence emitted by the  $v' = 4$  level but are absent in  $v' = 3$  emission. Comparison of the results with line strengths calcd. according to the formulation of Tatum and Watson shows that these 2 adjacent vibrational levels differ in the magnitude and sign of the triplet splitting const. A re-examn. of previous spectral analyses of the  $B$ - $X$  system confirms this variation in coupling among  $B$ -state vibrational levels.

C.A.1974.80 n6

1973

S<sub>2</sub>

PAKTOP

Φ - k

8699g. Franck-Condon factors from selectively excited resonance fluorescence in the B-X system of diatomic sulfur. Meyer, Keith A.; Crosley, David R. (Dep. Chem., Univ. Wisconsin, Madison, Wis.). *J. Chem. Phys.* 1973, 59(6), 3153-61 (Eng). Franck-Condon factors, for transitions connecting the  $v' = 3$  and  $v' = 4$  vibrational levels of the  $B^3\Sigma_u^-$  state of S<sub>2</sub> to the ground  $X^1\Sigma_g^+$  state, were measured by using selective excitation of resonance fluorescence. Observation of all  $v''$  terms for each  $v'$  allows detg. the Franck-Condon factors without arbitrary normalization. Comparison of the results with theor. predictions shows disagreement; this is not unexpected due to the extensive perturbations in the B state.

C.A. 1974. 80. N2

40523.8424

TE, Ph

22024

S<sub>a</sub>

02

1974

2155

Barrow\_R.F., Yee K.K.

Барроу Р.Ф. З045

XI-3963

The  $^3\Sigma^-$  ground states of the group VI-VI molecules, O<sub>2</sub>, S<sub>2</sub> .... Te<sub>2</sub>.

"Acta phys. Acad. sci. hung.", 1974, 35, N1-4,

239-246

(англ.)

(см. 02; 11)

092 097

10

0118

бкн

ВИНИТИ

40515.8708  
TE, CH, Ph, MGU

S<sub>2</sub> 40892  
(Ae)

4974

2070

XI-9846

Celotta R.J., Bennett R.A., Hall J.L.

Laser photodetachment determination of  
the electron affinities of OH, NH<sub>2</sub>, NH,  
SO<sub>2</sub>, and S<sub>2</sub>.

"J.Chem.Phys.", 1974, 60, N 5, 1740-1745

(еиц. OH; III) (англ.)

088 091-093 0401 077, ВИНИТИ

$S_2$

(A.P.)

X 45-8640

1974

$Te_2$

$Se_2$

$S_n^+$

$Te_n^+$

$Se_n^+$

164023d Mass spectrometric studies of elemental sulfur, selenium, and tellurium compounds. Grupe, K. H.; Hellwig, K.; Kolditz, L. (Sekt. Chem., Humboldt-Univ. Berlin, Berlin, E. Ger.). *Z. Phys. Chem. (Leipzig)* 1974, 255(5), 1015-21 (Ger). The mass spectra of S, Se and Te indicate that the tendency to form higher aggregates decreases from S to Te which is due to the variation of the band parameters, such as at. radius, band distance, and electronegativity. The fine structure in the  $S_1^+$ ,  $Se_1^+$ ,  $Se_3^+$ , and  $Se_4^+$  appearance curves indicates that those ions arise by fragmentation of neighboring particles. The  $S_3^+$  and  $S_4^+$  clusters and  $S_1^+$  are formed by fragmentation of the  $S_8$  mol. While the  $Se_1^+$  appearance curve is analogous to that of  $S_1^+$ , the  $Se_3^+$  and  $Se_4^+$  appearance curves have a null point and 2 turning points. From the crit. energies for the formation of  $X_1^+$  ions from  $X_2$ , the dissocn. energies ( $\Delta H$ ) for the X-X bonds can be detd.:  $\Delta H = \text{appearance energy } (X_1^+) - \text{ionization energy } (X_1)$ .

C.A. 1975, 22 v 24

+5

S<sub>2</sub>

1974

Noble Paul N,  
Mei Lee

"J. Chem. Phys." 1974, 61, N2,  
541-545 (auv)

Diluted sample  
cm. no cm.

(cu SCl; III)

1974

S  
P<sub>2</sub>

In<sub>2</sub>O

In<sub>2</sub>S

In<sub>2</sub>S<sub>3</sub>.  
No cm.

49473p Infrared spectrum of matrix isolated indium(I) sulfide in a nitrogen matrix at 15°K. Spoliti, Maurizio; Nunziante Cesaro, Stella; Rosato, Gianmario (Ist. Chim. Fis. Elettrochim., Univ. Rome, Rome, Italy). *Gazz. Chim. Ital.* 1974, 104(7-8), 879-80 (Eng). The ir spectrum of the vapor above solid  $\text{In}_2\text{S}_3$  was studied by the matrix isolation technique and contained 5 bands. Two bands were assigned to  $\text{S}_2$  and  $\text{In}_2\text{O}$  (formed by hydrolysis on the sample surface). The remaining 3 bands at 315.5, 384.5, and 400.5  $\text{cm}^{-1}$  grow together in the approx. intensity ratio of 100:20:100 and cannot be assigned to any known mol.

species. The band at 315.5  $\text{cm}^{-1}$  is due to a 2nd site matrix effect which disappears on annealing. The frequencies at 384.5 and 400.5 could be assigned to the sym. and antisym. stretching motions of the  $\text{In}_2\text{S}$  mol. with  $C_2$  symmetry. The stretching force const. of 2.08 mdyne/ $\text{\AA}$  compares well with that reported for  $\text{In}_2\text{O}$  if the longer bond lengths in  $\text{In}_2\text{S}$  are considered.

C.A. 1975. 82 N 8

(+2) -

41202.7293

Ch, Ph, TC, MGU

S<sub>2</sub>

30063

02

1974

XУ-7374

Tait A.D., Dixon M., Banyard K.E.

Comparative studies of the VCI and SCF methods of calculating potential energy curves for O<sub>2</sub> and S<sub>2</sub>.

"J.Phys.B:Atom. and Mol.Phys.", 1974, 7,  
N 14, 1968-1972 (англ.)

(см. O<sub>2</sub>; III)

224 230-239

0247 никвинити

S  
P2

4 - 7094

1974

XII-1466

DPP -  
- cleanup

78631u Gas-phase EPR spectrum of diatomic sulfur molecules. Wayne, F. D.; Davies, P. B.; Thrush, B. A. (Dep. Theor. Chem., Univ. Cambridge, Cambridge, Engl.). *Mol. Phys.* 1974, 28(4), 989-96 (Eng.). Obsd. and calcd. line positions in the X-band EPR of  $^{34}\text{S}_2$  ( $^3\Sigma_g^-$ ) are reported at ~9 GHz. A single line due to natural S<sub>2</sub> was detected by signal averaging. Fine structure parameters and  $\mu$ -factors of the  $v = 0$  level were detd.

C.A. 1975 82 N12

*S<sub>1</sub>*  
*S<sub>2</sub>*

ОГНПУСК 12058 1981

1 Д859. Спектры возбуждения флуоресценции, времена жизни и тушение  $S_2(B^3\Sigma_u^-)$  в области 280—315 нм. Fluorescence excitation spectra, lifetimes, and quenching of  $S_2(B^3\Sigma_u^-)$  in the wavelength region 280—315 nm. Quick C. R., Weston Ralph E., Jr. «J. Chem. Phys.», 1981, 74, № 9, 4951—4959 (англ.)

По затуханию флуоресценции паров  $S_2$ , возбуждаемых лазерным излучением  $\lambda=280\div315$  нм с шириной полосы  $\sim 0,5$  см $^{-1}$ , измерены времена жизни отдельных уровней состояния  $S_2(B^3\Sigma_u^-)$ . Времена жизни состояний с  $v' \leq 8$ , возбуждаемых в области начала соответствующих полос, равны 30—45 нс. В исследованной области спектра поглощения обнаружены малонитенсивные полосы, характеризующиеся значительно большими временами жизни. Уменьшение интенсивности и увеличение времени жизни приписано возмущениям, обусловленным взаимодействием состояний  $B^3\Sigma_u^-$  и  $B''^3\Pi_u$ . Время жизни состояния с  $v'=9$  быстро падает с увеличением энергии возбуждения; в некоторых случаях наблюдает-

*спектр;*

*ф. 1982, 18, 11*

ся двухэкспоненц. затухание. Хотя состояние  $v'=10$  сильно предиссоциировано, удалось зарегистрировать слабую флуоресценцию из этого состояния с  $\tau < 3$  ис. В смесях  $S_2$  с Ag затухание флуоресценции как с уровня  $v'=3$ , так и с уровня  $v'=9$ , имеет сложный двух- или даже трехэкспоненц. характер. Высказаны предположения о природе фуоресценции в этом случае. Отмечено, что результаты согласуются с полученными ранее с использованием широкополосного источника возбуждения. Библ. 36.

В. С. Иванов



*S 1*  
*S 2*

12 Д740. Спектр ЭПР двухатомных молекул серы в газовой фазе. Wayne F. D., Davies P. B., Thrush B. A. The gas-phase E. P. R. spectrum of diatomic sulphur molecules. «Mol. Phys.», 1974, 28, № 4, 989—996 (англ.).

спектр  
ЭПР

спектр  
ЭПР

9.1975. №

Исследовались спектры ЭПР молекул  $^{32}\text{S}_2$  на частоте около 9 ГГц. Измерения выполнены на спектрометре Varian V-4502-15. Спектры наблюдались во время одновременной продувки через резонатор водорода и дихлорида серы, когда в результате протекания химич. реакций образовывались молекулы серы. Путем усреднения сигнала удалось наблюдать одиночную линию от молекул смешанного изотопного состава  $^{34}\text{S}^{32}\text{S}$ . Ни ЭПР, ни спектры молекулярных пучков не давали достаточных сведений о молекулярных параметрах, и лишь комбинирование и сопоставление эксперим. данных по ЭПР, молекулярным пучкам и некоторым оптич. линиям позволили определить параметры тонкой структуры и  $g$ -факторы уровня с  $v=0$ . Показано, что наиболее предпочтительные значения следующие:  $\lambda = 352,97$  ( $\pm 0,32$ ) ГГц;  $\gamma = -257$  ( $\pm 18$ ) МГц;  $g_r = -0,000031$  ( $\pm 0,000014$ );  $\Delta g' = -0,0091$  ( $\pm 0,0017$ ). Не наблюдается никаких расхождений между оптич. и радиоспектроскопическими величинами параметров.

А. В. А.

41

4.С

БР XII-1466

1974

S<sub>2</sub>

5 Б326. Спектр ЭПР двухатомной молекулы серы в газовой фазе. Wayne F. D., Davies P. B., Thrush B. A. The gas-phase E. P. R. spectrum of diatomic sulphur molecules. «Mol. Phys.», 1974, 28, № 4, 989—996 (англ.)

На частоте 9 ГГц определены резонансные поля молекул  $S^{32}S^{32}$  в газе, в состоянии  ${}^3\Sigma_g^-$  с колебательным квантовым числом  $v=0$  и вращат. квантовыми числами  $K$  и  $J=1$ . Проведен совместный анализ данных ЭПР, метода молек. пучков и электронных спектров и определены уточненные параметры эффективного гамильтониана:  $\lambda = 352,97 \pm 0,32$  ГГц,  $\gamma = -257 \pm 18$  МГц,  $g_r = -0,000031 \pm 0,000014$  и  $\Delta g^1 = -0,0091 \pm 0,0017$ .

Ю. Н. Дубров

ПОС

Х. 1975 № 5

ХИ-9204

1975

10 ДЗ99

Фотоэлектронная спектроскопия высокотемпературных паров. VII.  $S_2$  и  $Te_2$ . Bergowitz J.  
PES of high temperature vapors. VII.  $S_2$  and  $Te_2$ .  
«J. Chem. Phys.», 1975, 62, № 10, 4074—4079 (англ.)

Проведено сравнение 584-Å фотоэлектронных спектров  $O_2$ ,  $S_2$  и  $Te_2$ . Расхождения между ними больше, чем в случае спектров  $F_2$ ,  $Cl_2$ ,  $Br_2$  и  $J_2$ , что предполагает нарушение принципа химич. подобия. Эти расхождения связаны с динамикой процесса photoионизации. Характеристика спектра  $S_2$  в основном совпадают с характеристиками спектра  $O_2$ . Аномальное поведение  $Te_2$  связано со структурой незаполненных оболочек ( $\pi_g$ )<sup>2</sup>. Относит. интенсивности  $^2\Pi_{g1/2}$ - и  $^2\Pi_{g3/2}$ -пиков спектра  $Te_2$  находятся в отношении 10:1, в то время как в спектре  $O_2$  они приблизительно равны. Сделан вывод, что образование основного ионного состояния происходит главным образом посредством перехода  $\Delta\Omega=0$ . Этот вывод можно проверить с помощью изучения углового распределения фотоэлектронов, появляющихся при образовании состояния  $^2\Pi_{g1/2}$ . Ч. VI см. РЖФиз, 1971, 2Д860.

С. К. Ковалева

$S_2$

$Te_2$

$O_2$

фотоэл.  
спектр.

ф. 1975  
н 10

☒

(+2)

14.6

\*23-9204

1975

$S_2^+$

$S_2$

$Te_2$

фотоэл.  
спектр.

х 1975 № 19

19 Б155. Фотоэлектронные спектры высокотемпера-  
турных паров VII.  $S_2$  и  $Te_2$ . Bergkowitz J. PES of  
high temperature vapors. VII.  $S_2$  and  $Te_2$ . «J. Chem.  
Phys.», 1975, 62, № 10, 4074—4079 (англ.)

Приведены фотоэлектронные спектры  $S_2$  и  $Te_2$  с воз-  
буждением при  $\lambda = 584\text{Å}$ . В общих чертах спектр  $S_2$   
аналогичен спектру  $O_2$ , и поэтому состояния  $S_2^+$  от-  
несены аналогичным образом. Однако, в спектре  $Te_2$   
очевидно наличие аномалий. Интенсивности пиков, от-  
несенных состоянием  $^2\pi_g, 1/2$  и  $^2\pi_g, 3/2$ , находятся в от-  
ношении 10 : 1, в то время как для кислорода они  
приблизительно равны. Др. пики спектра либо отсут-  
ствуют, либо очень слабы. Приведен анализ, объясняю-  
щий эту аномальность на основании связи по Гунду  
 $c$ -типа. Сообщ. V см. РЖХим, 1974, 24Б102. Резюме

(+2)

☒

50421.7824

Ph, TC, Ch

843-1-887

S<sub>2</sub>

30526GR

1975

4004

Dixon R.N., Hugo J.M.V. A general pseudo-potential model for molecules with many valence electrons.

"Mol. Phys.", 1975, 29, N 3, 953-970

(англ.)

(см. Natl, III)

0350 пнк.

1342

322 324

ВИНИТИ

ХХ-9476

1975

S  
P2

II Д312. Фотоэлектронная спектроскопия нестабильных молекул. Ч. 5. Молекула  $S_2(^3\Sigma_g^-)$ . Dyke J. M., Golob L., Jonathan Neville, Morris A. Vacuum ultraviolet photoelectron spectroscopy of transient species. Part 5. The  $S_2(^3\Sigma_g^-)$  molecule. «J. Chem. Soc. Faraday Trans.», 1975, 71, № 5, Part 2, 1026—1036 (англ.)

фотоэл-  
спектр

( $E_i$ )

Изучен фотоэлектронный спектр молекулы  $S_2(^3\Sigma_g^-)$  (I), полученный при возбуждении линией телия 584 Å (21,21 эв) и 304 Å (40,3 эв). I получали испарением серы при 600°К при 10-кратном избытке гелия. Полуэмпирич. расчеты, корреляция с ионными состояниями  $O_2^+$  и  $SO^+$ , а также анализ колебательной структуры полос позволили идентифицировать 11 ионных состояний. Для первых 5 ионных состояний приводятся равновесные межъядерные расстояния (1,82; 2,05; 2,04; 1,93; 1,98 Å), оцененные путем подгонки рассчитанных коэф. Франка—Кондоа к распределению интенсивности полос в фотоэлектронном спектре. Ч. IV см. РЖФиз, 1975, 5Д511.

X

4

44,6

Ф. 1975

н11

Ю. В. Ч.

№ 13 - 9476

1975

23 Б165. Фотоэлектронная спектроскопия промежуточных частиц в вакуумной ультрафиолетовой области. Часть 5. Молекула  $S_2(^3\Sigma_g^-)$ . Dyka J. M., Golob L., Jonathan Neville, Morris A. Vacuum ultraviolet photoelectron spectroscopy of transient species. Part 5. The  $S_2(^3\Sigma_g^-)$  molecule. «J. Chem. Soc. Faraday Trans.», 1975, 71, № 5, Part 2, 1026—1036 (англ.)

Изучен фотоэлектронный спектр молекулы  $S_2(^3\Sigma_g^-)$ , возбуждаемый резонансной линией Не-I. Молекулы  $S_2$  генерировали введением паров серы в избыток Не. В условиях опытов (т-ра 300—600° К, давл. <0,1 мм) в парах преобладали частицы  $S_2$ . Отождествление полос производилось по аналогии с изученными ранее спектрами  $O_2$  и  $SO$  и на основании расчетов MO иона  $S_2^+$  методом ССП в приближении ЧПДП. Всего в спектре  $S_2$  наблюдалось 11 полос. Из них 5 полос обнаруживают хорошо разрешенную колебательную структуру, также использованную в идентификации ионных состояний. 1-я полоса, соотв-щая процессу  $S_2^+(X^2\Pi_g) \leftarrow S_2(X^3\Sigma_g^-)$ , при 9,41 эв имеет также структуру, обус-

(41)  $S_2$

(спектр)

Х 1975 № 23

ловленную спин-орбитальным взаимодействием. На основании сравнения относит. интенсивностей колебательных компонент полос с вычисленными факторами Франка-Кондона определены длины связи  $r_e$  для иона  $S_2^+$  в различных состояниях возбуждения ( $A$ ):  $X^2\pi_g$  1,82;  $^4\pi_u$  2,05;  $^2\Pi_u$  2,04;  $^4\Sigma_g^-$  1,93;  $^2\Sigma_g^-$  1,98. Эти данные в совокупности с измеренными расстояниями между колебат. уровнями и известными потенциалами ионизации атомов S использованы для построения диаграммы потенциальной энергии ионов  $S_2^+$ . Приведена корреляц. диаграмма различных состояний ионов  $O_2^+$ ,  $SO^+$  и  $S_2^+$ . Показано, что выполняется эмпирич. соотношение  $r_e^n \omega_e = \text{const}$ , где  $\omega_e$  — колебательная частота для иона или соотв-щей молекулы,  $n$  — постоянная, равная 2,8 ( $\pm 0,4$ ) для  $O_2$  и  $O_2^+$ , 3,4 ( $\pm 0,3$ ) для  $SO$  и  $SO^+$ , 2,9 ( $\pm 1,0$ ) для  $S_2$  и  $S_2^+$ . См. РЖХим, 1975, 11Б131.

В. Е. Скурат

\*У-8795

1975

S<sub>2</sub>

8 Д420. Вращательный спектр комбинационного рассеяния димера серы. Freedman Philip A., Jones W. Jegethu, Rogstad Astrid. Rotational Raman spectrum of sulphur dimer. «J. Chem. Soc. Faraday Trans.», 1975, Part 2, 71, № 2, 286—292 (англ.)

С помощью спектографа большой светосилы и большой разрешающей способности исследован спектр вращательного комб. рас. молекул S<sub>2</sub> в области 7—110 см<sup>-1</sup>. Пары серы с т-рой 900—950° К продувались непосредственно через разрядную область Ar<sup>+</sup>-лазера, спектр рассеяния наблюдался в направлении, перпендикулярном оси разряда. Регистрация спектра рассеяния проводилась фотографич. методом, причем экспозиция могла продолжаться в течение нескольких часов. После 5 час. работы генерация лазерного излучения прекращалась вследствие осаждения серы на окнах разрядной трубки. На основе анализа полученного спектра определены вращательные постоянные молекул S<sub>2</sub>  $B_0 = 0,29443 \text{ см}^{-1}$  и  $D_0 = 19,0 \times 10^{-3} \text{ см}^{-1}$ . Библ. 10. С. П.

(И.Н.)

XII-19

Ф 1975 N 8

xis -8795

1975

*S<sub>2</sub>*

17 Б175. Вращательный спектр комбинационного рас-  
сияния света димера серы. Freedman Philip A.,  
Jones W. Jeremy, Rogstad Astrid. Rotational  
Raman spectrum of sulphur dimer. «J. Chem. Soc. Far-  
aday Trans.», 1975, Part 2, 71, № 2, 286—292 (англ.)

С помощью высокочувствительного спектрографа и  
Ar<sup>+</sup>-лазера ( $\lambda$  488 нм) мощностью около 4 вт получен  
чисто вращательный спектр комбинац. рассеяния света  
димера серы S<sub>2</sub> при т-ре 900° К. Спектр идентифициро-  
ван, и на основе вращательного анализа определены  
вращательные постоянные S<sub>2</sub>:  $B_0 = 0,29443 \pm 0,00005 \text{ см}^{-1}$   
и  $D_0 = (19,0 \pm 0,5) \times 10^{-8} \text{ см}^{-1}$ . Из анализа нек-рых вра-  
щательных переходов горячей полосы  $v=1$  в предполо-  
жении, что  $D_1=D_0$ , определена постоянная:  $B_0 - B_1 =$   
 $= (1,58 \pm 0,04) \times 10^{-3} / \text{см}^{-1}$ . Для постоянной спин-спиново-  
го взаимодействия получено значение:  $\lambda = 10,7 \pm$   
 $\pm 1,0 \text{ см}^{-1}$ . Приведенные результаты согласуются и  
в ряде случаев уточняют ранее полученные данные для  
S<sub>2</sub> другими методами.

С. Н. Мурзин

(И.Н.) 14/19

XII-1975

x. 1975 N17

$S_2$

X48-8795

1975

11438

Rotational Raman spectrum of sulfur dimer.

Philp A. Jones, W. Jeremy; Rogstad, Astri (Dep.

Univ Cambridge, Cambridge, Engl.). J. Chem.

Ram., 2 1975, 71(2), 286-92 (Eng). A recently

designed large-aperture spectrograph incorporating a 2-stage

intensifier was used in conjunction with a medium power

laser to obtain the pure rotational Raman spectrum of  $S_2$ .

Rotational consts.  $B_0$  and  $D_0$  were detd. from the spectrum

corrections were made for line blending.

(M.N.) 1419

XII-1419

C.A. 1975-82 N26

XU-8626; XII-1423 1975

S<sub>2</sub>

№ 8 Д419. Подтверждение присутствия полосы S<sub>2</sub> в спектре комбинационного рассеяния. Hopkins Alfred G., Brown Chris W. Additional evidence for the Raman band of S<sub>2</sub>. «J. Chem. Phys.», 1975, 62, № 4, 1598 (англ.)

Получены спектры комб. рас. продуктов ВЧ-разряда SO<sub>2</sub> и ее смеси с кислородом и инертными газами, осажденных на холодную подложку при 20° К в смеси с избытком аргона. Кроме полос SO<sub>2</sub>, SO<sub>3</sub>, S<sub>2</sub>O<sub>3</sub> и S<sub>3</sub>, в спектрах наблюдана полоса с частотой 718 см<sup>-1</sup>, необратимо исчезающая при отжиге, интенсивность которой не была связана с интенсивностями прочих полос. Эта полоса отнесена к молекуле S<sub>2</sub>. Библ. 9.

М. В. Тонков

Ф 1975 № 8

*S<sub>1</sub>*  
*S<sub>2</sub>*

КУ - 8626

1975

XII - 1423

15 Б239. Новые данные о природе линии комбинационного рассеяния S<sub>2</sub>. Hopkins Alfred G., Brown Chris W. Additional evidence for the Raman band of S<sub>2</sub>. «J. Chem. Phys.», 1975, 62, № 4, 1598 (англ.)

Изучены спектры КР ( $\lambda$  4880А) продуктов, образующихся при радиочастотном ( $v \sim 10$  МГц) или МВ-разряде ( $v \sim 2450$  МГц) в SO<sub>2</sub>, SO<sub>2</sub>+O<sub>2</sub>, SO<sub>2</sub>+Ar и SO<sub>2</sub>+O<sub>2</sub>+Ar и осажденных на охлажденную до  $\sim 20^\circ\text{K}$  подложку. Наряду с линиями, относящимися к колебаниям SO<sub>2</sub>, SO<sub>3</sub>, S<sub>2</sub>O и S<sub>3</sub>, в спектре КР проявляется также сильная линия при  $718\text{ cm}^{-1}$ , к-рая отнесена к S<sub>2</sub>. При нагревании подложки до  $\sim 31^\circ\text{K}$  интенсивность этой линии быстро уменьшается, что указывает на ее принадлежность соединению с повышенной р-ционной способностью.

А. Бобров

*спектр  
комбинационный  
рассеяния*

*д. 1975 № 15*

*S<sub>2</sub>*

XII-1423; X4 - 8626

1975

*Passed Checks*

18004c Additional evidence for the Raman band of diatomic sulfur. Hopkins, Alfred G.; Brown, Chris W. (Dep. Chem., Univ. Rhode Island, Kingston, R. I.). *J. Chem. Phys.* 1975, 62(4), 1598 (Eng). After passing Ar:SO<sub>2</sub> at 50:1 and 100:1 through either a radio-frequency ( $\leq 200$  W at 10 MHz) or microwave ( $\leq 85$  W at 2450 MHz) discharge and depositing the gas onto a polished copper substrate at 20°K, the Raman spectrum of the deposited gas was measured, and in addn. to strong bands due to SO<sub>2</sub>, SO<sub>3</sub>, S<sub>2</sub>O, and S<sub>8</sub>, a relatively strong band was obsd. at 718 cm<sup>-1</sup>, which agrees with the predicted frequency and that obsd. by R. F. Barletta et al. (1971) for S<sub>2</sub>. The intensity of this band was independent of all other bands in the spectra. Upon warming to 31°K, the band disappeared rapidly indicating that it was due to a very reactive species. The expts. confirm that S<sub>2</sub> is one of the important species in SO<sub>2</sub> discharges.



C.A. 1975.83 N2

S-S'

OIT. 4824

1975

Kerr J. A., et al.

(D)

Handbook Chem. Phys.,  
55 th Ed. 1974-75

50511.6755

Ch, Ph, TC

96209 (апрель 1975)  
S<sub>2</sub>\* (cos) #4-8941

Lin M.C. Photoexcitation and photo-dissociation lasers. II. CO laser emission from the vacuum UV photodissociation of COS. "Chem. Phys.", 1975, 7, N 3, 433-441

(англ.)

0381 вин

335 337 3 5 3

ВИНИТИ

*S<sub>2</sub>*

*КБ-8985-*

*1975*

*ВР-5053-12*

10 Д 180. Определение межъядерного расстояния S—S по данным колебательной спектроскопии. Steudel Ralf. Ermittlung von SS-Kernabständen aus Schwingungsspektren. «Z. Naturforsch.», 1975, 30b, № 2, 281—282 (нем.; рез. англ.)

Для S<sub>2</sub> (семь различных состояний), S<sub>8</sub>O, S<sub>6</sub>, S<sub>8</sub>, S<sub>12</sub> и BaS<sub>2</sub> установлена линейная зависимость между длинами связи S—S (*d<sub>ss</sub>*) и силовыми постоянными валентных колебаний S—S. Зависимость частот валентных колебаний *v<sub>ss</sub>* от *d<sub>ss</sub>* описана двумя прямыми соответственно для двухатомных и многоатомных молекул. Найденные ур-ния использованы для оценки межъядерных расстояний S—S в ионах S<sub>2</sub><sup>-</sup>, S<sub>3</sub><sup>-</sup>, S<sub>4</sub><sup>2+</sup>. Сделан вывод, что кратность связи S—S в этих ионах превышает 1.

О. В. Сизова

*ф. 1975 № 10*

(+3)

O<sub>2</sub>, SO<sub>2</sub>, S<sub>2</sub> (2-norm. monom)<sup>1975</sup>  
empyrometry

Wayne F.D., XI4417

Chem. Phys. Lett., 1975, 31 (1),  
97-101.

Origin of the variation with  
vibrational and rotational state  
of the fine-structure constants..,

C.A. 1975, 82 n 24, 161985 h. 10 ④ 5

S<sub>2</sub>

Ammaia 8783 | mace1975

Berkowitz J.

(y)

afzop

afzop High Temp. UPS Studies  
and other variations



P 355 - 433

1976

*S<sub>1</sub>*  
*S<sub>2</sub>*

2 Д743. Относительный выход испускания  $S_2$  при промежуточном сильном взаимодействии в 3,4-бензпирене. Bogaardt P. A. M. van den, Retsch-  
nick R. P. H., Voorst J. D. W. van. Relative  $S_2$  emission yield by intermediate strong coupling in 3,4-  
benzoprene. «Chem.. Phys. Lett.», 1976, 41, № 2,  
270—273 (англ.)

Исследован относит. квантовый выход флуоресценции из 2-го возбужденного синглетного состояния  $S_2$  3,4-бензпирена (I) в парообразной фазе в зависимости от длины волны возбуждающего света и от т-ры в интервале 380—500° К при давлении собственных паров  $p=0,01$  мм рт. ст., а также в присутствии постороннего газа (гексана) до 1 атм. Измерены относит. квантовый выход и время жизни флуоресценции из состояния  $S_1$  в ф-ции длины волны возбуждающего света. Методом экстраполяции данных по известным колебательным



9. 1977. № 2

спектрам нафталина, антрацена, фенантрена и пирена получены колебательные частоты I и вычислено отношение плотностей колебательных состояний ( $\rho_2/\rho_1$ )  $S_2$  и  $S_1$  нулевого порядка в ф-ции энергии. Расчетным путем найдены значения относит. квантового выхода флуоресценции изолированных молекул I из состояния  $S_2$  для различных длин волн возбуждающего света при т-ре паров  $T=450^{\circ}\text{K}$  и для различных т-р при возбуждении  $v_{\text{возб.}} = 28\,300 \text{ см}^{-1}$ . Получено удовлетворительное согласие между результатами расчета и эксперим. данными, на основании которого установлено, что степень промежуточного сильного взаимодействия между  $S_2$  и  $S_1$  нулевого порядка определяется величиной отношения плотностей колебательных состояний  $\rho_2/\rho_1$ .

Библ. 12.

А. М. М.

$S_2^1 (B^3 \Sigma_u^- \rightarrow X^3 \Sigma_g^-)$

1976

(protoquec)

Brom J. H. et al

Chem. Phys. Lett.  
1976, 41, N1, 185-7

(all. OCFS) III

S<sub>2</sub>

1976

Grover M., et al

Adv. Atom. and Mol. Phys.  
Vol. 12. New York e.a., 1976,  
165-213

objek:  
onmureekas  
karorra

S<sub>2</sub>

1976

Krishnamachari, S.L.  
N.G., et al.

Cleu, Phys. Lett. 1976  
41, N<sup>1</sup>, 183-4

(one  
generally)



(all C,S) III

1976

S<sub>2</sub>

85: 84936a Spectroscopic studies of the sulfur afterglow.  
Lakshminarayana, G.; Mahajan, C.G. (Spectrosc. Div., Bhabha  
At. Res. Cent., Bombay, India). *J. Quant. Spectrosc. Radiat.*  
*Transfer* 1976, 16(7), 549-52 (Eng). The afterglow emission  
spectrum of S and Ar mixt. consists of (a) the main band system  
of  $S_2(B^3\Sigma_u^- - X^3\Sigma_g^-)$  in the region 3200-6600 Å and, (b) the at.  
spectrum of Ar in the 7500-9000 Å region. Although  $B-X$  bands  
of  $S_2$  obtained by ordinary excitation extends from 2829 to 7100  
Å, the lower wavelength limit of these bands from the afterglow  
is only 3200 Å. It is proposed that the  $S_2$  mols. are formed in  
the  $B^3\Sigma_u^-$  state through inverse predissocn. when 2 S atoms  
approach each other along the potential curve of the predissocg.  
electronic state  $1_u$ .

Checkups  
2/2/76

C.A. 1976 85 v. 11

$S_2$

1976

$Se_2$

$Te_2$

1 Д332. Релятивистские эффекты в УФ-фотоэлектронных спектрах двухатомных молекул  $S_2$ ,  $Se_2$  и  $Te_2$ .  
 Lee S.-T., Süzer S., Shirley D.-A. Relativistic effects in the UV photoelectron spectra of group VI diatomic molecules. «Chem. Phys. Lett.», 1976, 41, № 1, 25—28 (англ.)

Показано, что аномальное отношение интенсивностей фотоэлектронных полос, соответствующих образованию ионов  $S_2^+$ ,  $Se_2^+$  и  $Te_2^+$  в состояниях  ${}^2\Pi_{1/2}$  и  ${}^2\Pi_{3/2}$ , вызвано спин-орбитальным взаимодействием в основном состоянии этих молекул. Расчеты в приближении связи,  $\omega-\omega$  находятся в хорошем согласии со всеми экспериментальными данными и предсказывают отношение интенсивностей полос  ${}^2\Pi_{1/2}/{ }^2\Pi_{3/2}=35$  для  $Ro_2$ . Библ. 18. Ю. В. Чижов



9. 1977 № 1

S<sub>2</sub>

1976

Se<sub>2</sub>

85: 101856u Relativistic effects in the uv photoelectron spectra of Group VI diatomic molecules. Lee, S. T.; Suzer, S.; Shirley, D. A. (Lawrence Berkeley Lab., Univ. California, Berkeley, Calif.). *Chem. Phys. Lett.* 1976, 41(1), 25-8 (Eng). The anomalous  $^2\text{II}_{1/2}/^2\text{II}_{3/2}$  intensity ratios obsd. recently in the photoelectron spectra of S<sub>2</sub>, Se<sub>2</sub>, and Te<sub>2</sub> arise from spin-orbit coupling in the ground state. An intermediate coupling calen. gives good agreement with all obsd. intensity ratios and predicts a ratio of  $\approx 35$  in Po<sub>2</sub>.

Po<sub>2</sub>

Chemical - opacities. (gross & cross)  
published.

(43)

☒

C.A. 1976 85 N14

(See Tickler)

*S<sub>2</sub>*

*KS-17390*

*1976*

7 Д434. Ридберговские переходы молекулы  $S_2$ .  
Mahajan C. G., Lakshminarayana G., Narasimham N. A. Rydberg transitions of  $S_2$ . «Indian J. Pure and Appl. Phys.», 1976, 14, № 6, 488–490 (англ.)

*Y. M. N.*  
Спектр поглощения  $S_2$  сфотографирован со средним разрешением в области длин волн 1200–1600 Å. Помимо хорошо известных полос идентифицированы третий члены ридберговских серий  $(\pi_g 3p)^2 (X^3\Sigma_g^-) \rightarrow (\pi_g 3p)(\pi_u np)$ . Оценено значение первого адиабатич. потенциала ионизации молекулы  $S_2$ ,  $I_p(S_2) = 9,39$  эв. Несколько полос спектра остались неидентифицированными.

*B (+) M.C.*

*Ф. 1992. дз*

S2

\* 13-17390

1976

86: 10313u Rydberg transitions of diatomic sulfur. Makajan  
C. G.; Lakshminarayana, G.; Narasimham, N. A. (Spectrosc.  
Div., Bhabha At. Res. Cent., Trombay, India). *Indian J. Pure  
Appl. Phys.* 1976, 14(6), 488-90 (Eng). Using Ar and Kr  
continua as background radiation the vacuum uv absorption  
spectrum of S<sub>2</sub> was investigated in the region 1200-1600 Å.  
Besides photographing all the known bands, the 3rd member of  
the Rydberg series  $(\pi_g 3p)^2 (X^3\Sigma_g^-) \rightarrow (\pi_g 3p) (\pi_u np)$  was  
identified. The ionization potential of S<sub>2</sub> was 9.39 eV. Several  
new bands were found which remain unassigned.

(3)

C.A. 1977 86 NR

43.12658

1976

9 S<sub>2</sub>

16 Б139. Полосы S<sub>2</sub> в ближней ИК-области: система  
 $^3\Pi_g - ^3\Delta_u$ . ~~Nagasaki~~ham N. A., Sethuraman V.,  
Арагао K. V. S. R. Near-infrared bands of S<sub>2</sub>:  $^3\Pi_g -$   
 $^3\Delta_u$  system. «J. Mol. Spectrosc.», 1976, 59, № 1, 142—152  
(англ.)

Исследован спектр испускания молекулы S<sub>2</sub> ( $^{32}\text{S}_2$ ,  
 $^{32}\text{S}^{34}\text{S}$ ,  $^{34}\text{S}_2$ ) в области 6983—7760 Å. Спектр возбуждали  
безэлектродным МВ-разрядом в разрядной трубке, со-  
держащей следы серы и заполненной гелием (2—3 мм).  
Наблюдались две системы полос, принадлежащие пере-  
ходам  $^3\Pi_{2g} - ^3\Delta_u$  и  $^3\Pi_{1g} - ^3\Delta_{2u}$ . Отсутствие третьей сис-  
темы —  $^3\Pi_{0g} - ^3\Delta_{1u}$  связывается с предиссоциацией. Вы-  
полнен анализ вращательной структуры полос с  $v' = 0$   
( $^3\Pi_{g,i}$ ),  $v'' = 0, 1, 2, 3$  ( $^3\Delta_{u,j}$ ). Из-за предиссоциации пе-  
реходы с  $I' \geq 34$  ( $^3\Pi_{2g}$ ) и  $I' \geq 16$  ( $^3\Pi_{1g}$ ) (для  $^3\text{S}_2$ ) не  
наблюдались (для  $^{32}\text{S}^{34}\text{S}$  и  $^{34}\text{S}_2$  соотв. 35 и 36, 17 и 18).  
Обнаружены и обсуждаются также др. возмущения. Оп-  
ределены эффективные колебательные и вращательные  
молекулярные постоянные S<sub>2</sub> ( $\omega_e$ ,  $\omega_{ex,e}$ ,  $B_0$ ,  $B_1$ ,  $B_2$ ,  $B_3$ ,  $\gamma$ )  
в  $^3\Pi_{2g}$ ,  $^3\Pi_{1g}$ ,  $^3\Delta_{2u}$  и  $^3\Delta_{3u}$  состояниях. В. М. Ковба

спектр  
человек

М. В. Обн.

М. Н.

X. 1976  
нр16

952

XIV - 12658

1976

84: 51743m Near-infrared bands of diatomic sulfur. The  $\Pi_g - 3\Delta_u$  system. Narasimham, N. A.; Sethuraman, V.; Apparao, K. V. S. R. (Spectrosc. Div., Bhabha At. Res. Cent., Bombay, India). J. Mol. Spectrosc. 1976, 59(1), 142-52 (Eng). Vibrational and rotational anal. of the near-ir bands of  $S_2$  lying in the region 6983-7760 Å are reported. They form a single progression of bands arising from a common vibrational level  $v = 0$  of an initial  $^3\Pi_{g,i}$  state to levels  $v'' = 0, 1, 2$ , and 3 of the final  $^3\Delta_{u,i}$  state. The initial  $^3\Pi_{g,i}$  state is predissocd., as a result of which rotational levels with  $J \geq 34$  of  $^3\Pi_{2g}$  and  $J \geq 16$  of  $^3\Pi_{1g}$  are not obsd. and, further, no transitions from the  $^3\Pi_{0g}$  component were obsd. These and other perturbations noticed in the different bands are discussed. The studies are also extended to the isotopic mols.  $^{32}S^{34}S$  and  $^{34}S_2$ .

C.A. 1976 84N8

S<sub>2</sub>

У - 12658

1976

9 Д285. Полосы системы  $^3\Pi_g - ^3\Delta_u S_2$  в близкой ИК-области спектра. Nagasimham N. A., Sethu гаман V., Арагао K. V. S. R. Near-infrared bands of  $S_2: ^3\Pi_g - ^3\Delta_u$  system. «J. Mol. Spectrosc.», 1976, 59, № 1, 142—152 (англ.)

Выполнен колебательно-вращательный анализ спектра поглощения молекулы  $S_2$  в области 6983—7710 Å. Полосы спектра образуют единственную прогрессию с общего нижнего уровня  $v'=0$  состояния  $^3\Pi_{g,i}$  на уровнях  $v''=0, 1, 2$  и 3 состояния  $^3\Delta_{u,i}$ . Состояние  $^3\Pi_{g,i}$  предиссциировано, в результате чего в спектре не наблюдаются вращательные уровни с  $J' \geq 34$  состояния  $^3\Pi_{2g}$  и  $J' \geq 16$  состояния  $^3\Pi_{1g}$ , а также переходы из состояния  $^3\Pi_{0g}$ . Обсуждены различия в спектрах изотопозамещенных молекул  $^{32}S^{34}S$  и  $^{34}S_2$  и возмущения, обнаруженные в различных полосах. Библ. 8.

(сткн)

1546

ХХХ

Ф 1976 № 9

\* 5-135-97

1976

9S<sub>2</sub>

12 Д337. Полосы S<sub>2</sub> в ближней ИК-области: система  $^3\Pi_g - ^3\Sigma_u^+$ . Narasimham N. A., Apparao K. V. S. R., Balasubramanian T. K. Near-infrared bands of S<sub>2</sub>:  $^3\Pi_g - ^3\Sigma_u^+$  system. «J. Mol. Spectrosc.», 1976, 59, № 2, 244—254 (англ.)

(M, K)

Получены спектры ИК-излучения паров S<sub>2</sub>, возбужденные ВЧ-разрядом в области 12 500—13 500 см<sup>-1</sup>. Наблюденные колебательно-вращательные линии отнесены к электронным переходам  $^3\Pi_{2g} - ^3\Sigma_u^+$  и  $^3\Pi_{1g} \leftrightarrow ^3\Sigma_u^+$ . Каждому электронному переходу соответствует колебательная серия 0—v'' (v''=0, 1, 2). Приведены спектры и частоты наблюденных линий. В серии начальных электронных уровней  $^3\Pi_{0g}$  отсутствует, т. к. попадает в условия предиссоциации, так же как и вращательные состояния J>34 и J>16 уровней  $^3\Pi_2$  и  $^3\Pi_1$  соответственно. По наблюдаемым частотам определены начала полос и колебательные и вращательные константы молекул  $^{32}S_2$ ,  $^{34}S_2$ ,  $^{32}S$ ,  $^{34}S$ . Библ. 6.

М. Тонков

φ 1976 N12

18-13597

1976

22 Б119. Полосы  $S_2$  в близкой инфракрасной области: система  $^3\Pi_{g\downarrow} - ^3\Sigma_u^+$ . Narasimham N. A., Aragaon K. V. S. R., Balasubramanian T. K. Near-infrared bands of  $S_2$ :  $^3\Pi_{g\downarrow} - ^3\Sigma_u^+$  system. «J. Mol. Spectrosc.», 1976, 59, № 2, 244—254 (англ.).

Измерены спектры испускания молекул  $^{32}S_2$ ,  $^{32}S^{34}S$  и  $^{34}S_2$  в области 7440—8085 Å (переход  $^3\Pi_{g\downarrow} - ^3\Sigma_u^+$ ). Спектры возбуждались микроволновым разрядом в парах серы. Проведен детальный анализ вращательной структуры полос 0—0, 0—1, 0—2 систем  $^3\Pi_{2g} - ^3\Sigma_u^+$  (I) и  $^3\Pi_{1g} - ^3\Sigma_u^+$  (II). Определены эффективные вращательные постоянные молекул  $^{32,34}S_2$  в  $^3\Sigma_u^+$  состоянии. В системе I наблюдалась предиссоциация при  $I' \geq 34$ ,  $v'=0$  и возмущения при  $I'=5, 7, 9, 17, 24$ , в системе II — предиссоциация при  $I' \geq 16$ ,  $v'=0$ , возмущения при  $I'=4, 9$ . Обсуждены тип начального электронного состояния и тип связи по Гунду в  $^3\Sigma_u^+$  состоянии. В. М. Ковба

(M, n)

х 1976 N 22



89-1550-XII

$S_2$

103-13597

1976

B92-1550-XII

84: 82077b Near-infrared bands of diatomic sulfur:  $^3\Pi_{g,i}$ - $^3\Sigma_u^+$  system. Narasimham, N. A.; Apparao, K. V. S. R.; Balasubramanian, T. K. (Spectrosc. Div., Bhabha At. Res. Cent., Bombay, India). *J. Mol. Spectrosc.* 1976, 59(2), 244-54 (Eng). Vibrational and rotational analyses of the near-ir bands of  $S_2$  lying in the region 7440-8085 Å are reported. They form a new band system involving a  $^3\Pi_{g,i}$ - $^3\Sigma_u^+$  transition and arise from the same initial  $^3\Pi_{g,i}$  state of the  $^3\Pi_{g,i}$ - $^3\Delta_{u,i}$  band system reported earlier. The analyses of the bands of this system due to the isotopic mols.  $^{32}S^{34}S$  and  $^{34}S_2$  are also reported.

$(^3\Pi_{g,i} - ^3\Sigma_u^+)$

P.A. 1976. 89/VI/2

1917

S<sub>2</sub>

Abdulnur Sukeil F et al

Fla Sci, 1944, 40, N1,  
73-76 (ans)

крупн  
новиц.  
зверин  
M.N.

coll. BO2 - 11

*S<sub>2</sub>* 1978

10 Д434. Спектры поглощения молекул S<sub>2</sub> в ван-дер-  
вальсовских кристаллах. Agai T., Martin T. P. Abs-  
orption spectra of S<sub>2</sub> molecules embedded in van der  
Waals solids. «Phys. status solidi (b)», 1977, 81, № 1,  
185—189 (англ.; рез. нем.)

При  $T=4,2^{\circ}\text{K}$  исследованы спектры поглощения моле-  
кул S<sub>2</sub>, изолированных в матрицах Ag или Kr, в облас-  
ти 2200—5500 Å. Полученные спектры содержат четко  
выраженные электронно-колебательные последователь-  
ности, обусловленные взаимодействием электронного пе-  
рехода  ${}^3\Sigma_u^- \rightarrow {}^2\Sigma_g^-$  молекул S<sub>2</sub> с валентными колеба-  
ниями. Число линий в последовательностях составляет  
12—15, головные линии расположены при 3149 Å в мат-  
рицах Ag и при 3107 Å в Kr. Расстояние между линия-  
ми уменьшается с номером от 450 до 340  $\text{см}^{-1}$ , что поз-  
волило определить параметры ангармонич. потенциала  
колебаний молекул S<sub>2</sub> в матрицах. Установлено, что по-  
тенциал в матрицах незначительно отличается от по-  
тенциала свободных молекул S<sub>2</sub>, что указывает на сла-  
бое взаимодействие молекул S<sub>2</sub> с матрицами Ag и Kr.  
Каждая электронно-колебательная линия имеет дополни-  
тельную структуру (расстояние между максимумами  
 $60 \text{ см}^{-1}$  в Ag и  $50 \text{ см}^{-1}$  в Kr), обусловленную взаимо-  
действием перехода с фононами матрицы.

*Спктр. 1978 № 10*

*S<sub>d</sub>*

*1977*

87: 13823s Absorption spectra of sulfur dimer molecules embedded in van der Waals solids. Arai, T.; Martin, T. P. (Max-Planck-Inst. Festkoerperforsch., Stuttgart, Ger.). *Phys. Status Solidi B* 1977, 81(1), 185-9 (Eng). The  $^3\Sigma_u^- \leftarrow ^3\Sigma_g^-$  transitions are investigated of S dimers, matrix-isolated in Ar and Kr. Each vibrational subband of the electronic absorption appears to consist of several superimposed narrow bands. The sep'n. between the narrow bands is detd. to be  $60\text{ cm}^{-1}$  in Ar and  $50\text{ cm}^{-1}$  in Kr. The complex structure is interpreted to be caused by phonons of the matrix materials. The potential parameters of S dimers in Ar and Kr are also calcd.

*C.A. 1977 87 N2*

1977

S<sub>2</sub>

18 Б214. Спектры поглощения молекул S<sub>2</sub>, изолированных в кристаллических телах с молекулярной связью. Agai T., Martin T. Absorption spectra of S<sub>2</sub> molecules embedded in van der Waals solids. «Phys. status solidi (b)», 1977, 81, № 1, 185—189 (англ., рез. нем.)

спектры  
изолированных

Измерены спектры поглощения (2200—5500 Å) серы, изолированной в аргоновой и криptonовой матрицах (S<sub>2</sub>:Ar, Kr ≈ 1 : 100). Молекулы S<sub>2</sub> образовывались при испарении ZnS и серы. В области 3149—2635 Å (Ar) наблюдались полосы, принадлежащие переходу  $^3\Sigma_u^- - ^3\Sigma_g^-$  S<sub>2</sub> (в Kr-матрице 3107—2670 Å). Определены колебательные постоянные  $\omega_c$ ,  $\omega_c x_c$ ,  $\omega_c y_c$  и параметры функции Морзе ( $D_e$ ,  $\beta$ ) S<sub>2</sub>( $^3\Sigma_u^-$ ). Ar-матрица — 438, 2,85, 0,00369,  $1,65 \times 10^4$  см<sup>-1</sup>,  $1,91 \times 10^{-8}$ ; Kr-матрица — 462, 3,65, 0,00426,  $1,48 \times 10^4$  см<sup>-1</sup>,  $2,14 \times 10^{-8}$ ). Найдено, что каждая полоса колебательной структуры состоит из узких подполос с интервалом 60 см<sup>-1</sup> (Ar) и 50 см<sup>-1</sup> (Kr). Их появление объясняется взаимодействием колебаний S<sub>2</sub> с фононами матрицы.

B. M. Kovba

X. 1977  
N18

*S<sub>2</sub>*

отмечен 5221

1977

10 Д214. Атомные силовые постоянные для S<sub>2</sub>. Vagletta R. E., King W. T. Atomic force constants in S<sub>2</sub>. «Spectrochim. acta», 1977, A33, № 2, 247 (англ.)

По фундаментальной частоте колебаний S<sub>2</sub> найдена атомная силовая постоянная (АСП), определяемая как  $(m_s/N) \sum \omega_j^2$ , где N — число атомов серы, m<sub>s</sub> — масса атома S, суммирование производится по всем норм колебаниям. Величина АСП в S<sub>2</sub> близка к среднему значению АСП в молекулах S<sub>6</sub>, S<sub>8</sub>, S<sub>12</sub>, в связи с этим сделано предположение о постоянстве произведения n<sub>s</sub>ρ<sub>s</sub>(R), где n<sub>s</sub> — число ближайших соседних атомов, ρ<sub>s</sub>(R) — электронная плотность на атоме серы в молекуле.

Р. Мухтаров

ф. 1977 10/10

environ 5221.

1977

S<sub>2</sub>

S<sub>8</sub> ✓

S<sub>6</sub> ✓

S<sub>12</sub>

Barletta R.E.

W/ 108624g Atomic force constants in disulfur. Barletta,  
King, W. T. (Metcalf Res. Lab., Brown Univ., Providence, R. I.). *Spectrochim. Acta, Part A* 1977, 33A(2), 247 (Eng). The at. force const. of doubly bonded S<sub>2</sub> is the same as in the singly-bonded ring compds. S<sub>6</sub>, S<sub>8</sub>, and S<sub>12</sub>. This is rationalized in terms of the dependence of at. force consts. on internuclear distances.

Cold, recd.



18

C. A. 1977. 87 n14

$S_2$

$S(x)$

Состав  
ногт.

1977

отмаск 5221

) 17 Б168. Атомные силовые постоянные в  $S_2$ . Baggett R. E., King W. T. Atomic force constants in  $S_2$ . «Spectrochim. acta», 1977, A33, № 3, 247 (англ.)

Показано, что атомные силовые постоянные в  $S_2$  и кольцевых молекулах  $S_6$ ,  $S_8$  и  $S_{12}$  близки, несмотря на разницу в структуре, длинах связей и координации.

В. М. Ковба

(+1)

Х. 1977 № 17

1977

*3d*

19 Б158. Сохранение когерентности при вращательно неупругих столкновениях селективно возбуждаемых двухатомных молекул серы. Caughey Thomas A., Crosley David R. Coherence retention during rotationally inelastic collisions of selectively excited diatomic sulfur. «Chem. Phys.», 1977, 20, № 3, 467—475 (англ.)

*стаб. флуоресц.*

Исследован эффект Хэнля в спектре флуоресценции, испускаемом селективно возбуждаемыми молекулами  $S_2$ . Использована линия цинка (307,6 нм), возбуждающая уровень  $v'=4$ ,  $N'=40$ ,  $I'=41$  состояния  $B^3\Sigma_u^-$ . На оптическую ячейку накладывалось медленно меняющееся магнитное поле и переменное поле для синхронного детектирования. Установлено, что при неупругих столкновениях возбужденных молекул  $S_2$  с атомами инертных газов и молекулами азота когерентность сохраняется, во всех этих случаях соотв-щие времена жизни значительно больше, чем время жизни при столкновениях. Тушение определяется столкновениями молекул серы в основном и возбужденных электронных состояниях. В этом случае оба времени жизни в пределах ошибки эксперимента одинаковы. В. М. К.

X. 1974  
N 19

1977

$S_2$

ширина  
и форма  
сигнала  
Ханле

9 Д477. Сохранение когерентности при вращательно-неупругих столкновениях селективно-возбужденных двухатомных молекул серы. Saughey Thomas A., Crosley David R. Coherence retention during rotationally inelastic collisions of selectively excited diatomic sulfur. «Chem. Phys.», 1977, 20, № 3, 467—475 (англ.)

Измерена зависимость ширины и формы сигнала Ханле для селективно-возбужденных молекул  $S_2$  (состояние  $B^3\Sigma_u^-$ ,  $v'=4$ ,  $N'=40$ ,  $J'=41$ ) от давления собственного и буферных газов ( $N_2$  и благородные газы). Источником возбуждения служила резонансная цинковая лампа ( $\lambda=307,6$  нм). Показано, что при столкновениях с буферными газами когерентность возбужденного состояния сохраняется даже при изменении вращательно-

и J-а  
лек

φ 1977 № 9

го состояния молекулы. Этот вывод был подтвержден прямым наблюдением сигнала Ханле на вращательных подуровнях, заселяемых только с помощью неупругих столкновений. Обработка эксперим. данных позволила заключить, что степень сохранения когерентности (за одно столкновение) меняется от  $85 \pm 15\%$  в присутствии Не до  $40 \pm 10\%$  в присутствии Xe. При столкновениях  $S_2-S_2$ , доминирующим процессом разрушения когерентности является процесс тушения возбужденного состояния. Обсуждены возможные следствия обнаруженного явления. Библ. 16.

Х. В.

$S_2 (B^3\Sigma_g^- - X^3\Sigma_g^+)$

1977

Fournier J.

"J. Chem. Phys" 1977

66(6) 2656-9 (eing)

(see CS; III)

1977

S<sub>2</sub>

15 Б1393. Хемилюминесценция в скрещенных молекулярных пучках. Реакция перегруппировки с участием атомов щелочноземельных металлов  $M + S_2Cl_2 \rightarrow S_2^* + MCl_2$ . Engelke F., Zare R. N. Crossed-beam chemiluminescence: the alkaline earth rearrangement reaction  $M + S_2Cl_2 \rightarrow S_2 + MCl_2$ . «Chem. Phys.», 1977, 19, № 3, 327—340 (англ.)

Хемилю-  
минесценция.

В скрещенных молек. пучках исследована хемилюминесценция молекулы  $S_2(B^3\Sigma_u^- \rightarrow X^3\Sigma_g^-)$ , возникающей в единичных столкновениях атомов щел. металлов (Ba, Sr, Ca) с  $S_2Cl_2$ . Обнаружен никогда не предполагавшийся ранее процесс перегруппировки  $M + S_2Cl_2 \rightarrow S_2^* + MCl_2$  (1) с сосредоточением большей части энергии р-ции на связи S—S. Наблюдаемые спектры для всех M практически идентичны и простираются от 10 000 Å до 3 000 Å с максимумом в области 4 000 Å

Х. 1977 № 15



73 Ba, Sr, Ca  
номератн. серия  
Хемисцнсн.

и слабо выраженной структурой. Практически все небольшие максимумы соответствуют положениям кантов полос спектра  $S_2$ . Излучение в р-ции с участием Ba примерно на порядок ярче, чем для р-ций со Sr и Ca. Кроме р-ции 1 существуют еще два канала  $M + S_2Cl_2 \rightarrow MCl_2^* + S_2$  и  $M + S_2Cl_2 \rightarrow MCl_2^* + S_2Cl$ . Полные попеченные сечения хемилюминесценции ( $A^2$ ) составляют  $162 \pm 20$ ,  $105 \pm 20$  и  $92 \pm 20$  для Ba, Sr и Ca соотв., что подтверждает действие гарпунного механизма во всех р-циях. В исследованных процессах наблюдается различное заселение колебательных уровней молекул  $S_2$ . Для Ca уровни  $v'=9$  и  $v'=10$  совсем не заселены.

Л. Ю. Русин

1977

S<sub>2</sub>

7 Д857. Хемилюминесценция при пересечении пучков: реакция замещения  $M + S_2Cl_2 \rightarrow S_2^* + MCl_2$  с участием щелочноземельных элементов. Engelke F., Zare R. N. Crossed-beam chemiluminescence: the alkaline earth rearrangement reaction  $M + S_2Cl_2 \rightarrow S_2^* + MCl_2$ . «Chem. Phys.», 1977, 19, № 3, 327—340 (англ.)

Исследована хемилюминесценция (Х) реакций Ba, Sr и Ca с  $S_2Cl_2$ , проводимых методом скрещенных атомно-молекулярных пучков. В спектрах Х в области 200—1000 нм зарегистрированы системы полос  $S_2(B^3\Sigma_u^- \rightarrow X^3\Sigma_g^-)$ ,  $MCl^*(A, B, C \rightarrow X)$ , а также квазиконтинуум, возникающий при переходах в возбужденных полигатомных галоидах металлов, вероятнее всего —  $MCl_2^*$ . Отмечено, что интенсивность Х в полосах  $S_2^*$  в реакции с Ba на порядок превышала таковую в реакции со Sr и на ~2 порядка с Ca. Анализ структуры полос  $S_2^*$  показал неравновесный характер заселения синглетного состояния.

☒

чения

φ. 1977. № 2+ 32Cl<sub>2</sub> (80%) (BaCl)<sub>80</sub>

стемы колебательных уровней состояния  $S_2(B^3\Sigma_u^-)$ . Найдено, что образование  $S_2^*$  является бимолекулярной реакцией первого порядка по каждому из реагентов с малыми величинами энергий активации. Феноменологич. поперечное сечение удаления атомов М из лучка при столкновениях с  $S_2Cl_2$  оценено в  $(162 \pm 20)$ ,  $(105 \pm 20)$  и  $(92 \pm 20) \text{ \AA}^2$  для Ba, Sr и Ca соответственно. Эти величины совпадают в пределах 10% со значениями, вычисленными на основе модели перескока электрона при столкновении, в предположении, что энергия сродства к электрону молекулы  $S_2Cl_2$  составляет  $\sim 3,25$  эв. Абс. квантовый выход  $S_2^*$  в области 280—600 нм составил  $< 0,01$ , несмотря на большое поперечное сечение реакции. Оценены величины энергии диссоциации, составившие  $D_0^0(Cl - S_2Cl) = (44,2 \pm 5)$  и  $D_0^0(S_2 - Cl) = (54 \pm 5)$  ккал/моль. Обсужден механизм реакции с анализом структуры молекулярных орбиталей и сделан вывод, что максим. энергия возбуждения  $S_2^*$  отвечает плоской пятичленной кольцевой структуре промежуточного активированного комплекса  $S_2Cl_2M$ .

С. Л.  
Библ. 47.

S<sub>2</sub>

(nearby & labeled correctly.)

1977

86: 148133s Crossed-beam chemiluminescence: the alkaline earth rearrangement reaction  $M + S_2Cl_2 \rightarrow S_2^* + MCl_2$ . Engelke, F.; Zare, R. N. (Dep. Chem., Columbia Univ., New York, N. Y.). *Chem. Phys.* 1977, 19(3); 327-40 (Eng). The reaction of the heavier Group IIA metal atoms Ba, Sr, and Ca with  $S_2Cl_2$  under crossed beam conditions produces a chemiluminescent spectrum in which the  $S_2 B^3\Sigma_u^- - X^3\Sigma_g^+$  emission bands are the most prominent feature. In addn., chemiluminescence is also obsd. from excited states of the alk. earth monochlorides and from a pseudo-continuum which is believed to originate from a an excited polyat. metal halide, probably the alk. earth dichloride. More than 100 bands are assigned to the  $S_2 B-X$  band system; the vibrational levels of the  $S_2 B$  state are populated by the reaction in a non-thermal

(72) 80 (cl-S<sub>2</sub>Cl)

80 (S<sub>2</sub>-cl) ●

Q.A. 1977, 86 N 20

manner. The reaction forming  $S_2^*$  is first order with respect to both the ground state metal atom and the  $S_2Cl_2$  mol. Phenomenal cross sections for removal of metal atoms from the metal beam by  $S_2Cl_2$  are  $162 \pm 20 \text{ Å}^2$  for Ba,  $105 \pm 20 \text{ Å}^2$  for Sr and  $92 \pm 20 \text{ Å}^2$  for Ca, which is consistent with an electron jump model if the vertical electron affinity of  $S_2Cl_2$  is 3.25 eV. Abs. photon yield measurements indicate that <1% of the reaction products are  $S_2^*$  mols. that emit in the 2800-6000 Å region. From the single-collision chemiluminescence spectra the following dissociation energies are estd.:  $D_{0^0}(Cl-S_2Cl) = 44.2 \pm 5 \text{ kcal/mole}$  and  $D_{0^0}(S_2-Cl) = 54 \pm 5 \text{ kcal/mole}$ . A speculation is offered that most of the reaction exoergicity appears in the  $S_2^*$  product when the  $S_2Cl_2M$  collision complex passes through a nearly-planar, 5-member ring structure in sepg. to form products.

S<sub>2</sub>

№ 18-17402

1977

7 Д855. Хемилюминесценция и фотолюминесценция S<sub>2</sub>, SO и SO<sub>2</sub> в послесвечении SF<sub>6</sub>. Kleu D., Broida H. P. Chemiluminescence and photoluminescence of S<sub>2</sub>, SO and SO<sub>2</sub> in SF<sub>6</sub> afterglows. «J. Photochem.», 1977, 6, № 4, 241—252 (англ.)

(100)

Описаны методы получения хемилюминесценции S<sub>2</sub>, SO и SO<sub>2</sub>, а также молекул S<sub>2</sub> и SO в основном электронном состоянии с конц-ией, достаточной для исследования фотолюминесценции, возбуждаемой белым светом. Источником реакционных атомов S служил СВЧ-разряд в смеси гексафторида серы и гелия. Получены и проанализированы спектры фото- и хемилюминесценции S<sub>2</sub>, SO и SO<sub>2</sub>. Оценена энергия диссоциации основного состояния молекулы S<sub>2</sub>  $D_0(S_2) = (35\ 657 \pm 100) \text{ см}^{-1}$ . Показано, что СВЧ-разряд в смесях CF<sub>4</sub>/He и NH<sub>3</sub>/He обеспечивает достаточно высокую для наблюдения фотолюминесценции конц-ию радикалов CF, CF<sub>2</sub> и NH. Библ. 16.

Ф. 1977. № 7

ХУ-17402

1977

S<sub>2</sub>

14 Б1303. Хемилюминесценция и фотолюминесценция S<sub>2</sub>, SO и SO<sub>2</sub> в послесвечении SF<sub>6</sub>. Кley D., Вгоіда H. P. Chemiluminescence and photoluminescence of S<sub>2</sub>, SO and SO<sub>2</sub> in SF<sub>6</sub> afterglows. «J. Photochem.», 1977, 6, № 4, 241—252 (англ.)

(do)  
спектры  
хемилюм.  
и фотолум.

+2

Изучены спектры хемилюминесценции (Хл) и фотолюминесценции (Фл) в зоне послесвечения SF<sub>6</sub>, пропущенного в смеси с He через СВЧ-разряд, а также при введении потоков различных газов в эту зону. В послесвечение SF<sub>6</sub> наблюдали как Хл, так и Фл S<sub>2</sub> в переходе  $B^3\Sigma_u^- \rightarrow X^3\Sigma_g^-$ . Их спектры сходны, различие состоит лишь в наблюдении переходов 10—0, 11—0 и 12—0 в спектре Хл, отсутствующих в спектре Фл. Сделан вывод, что S<sub>2</sub> ( $B^3\Sigma_u^-$ ,  $v' > 9$ ) образуется путем обратной предиссоциации в процессе рекомбинации атомов S в основном состоянии  ${}^3P$ , поскольку др. р-ции, напр.,  $S + SF \rightarrow S_2^* + F$ , не могут обеспечить возбуждение  $B$ -состояния на уровень  $v' > 9$ . Заселенности уровней  $v' = 10—12$  не зависят от давл., тогда как заселенности уровней  $v' < 10$  зависят от давл., т. е. они заселяются не по механизму обратной предиссоциации. Получена оценка энергии диссоциации  $D^0(S_2) = 100,95 \pm$

X.1977.0/14

$\pm 0,3$  ккал/моль, согласующаяся с лит. данными. При введении в зону послесвечения добавок  $\text{H}_2\text{O}_2$  в следовых кол-вах наблюдали Хл и Фл  $\text{SO}(B^3\Sigma^+ \rightarrow X^3\Sigma^-)$ . В спектре Хл наиболее интенсивны полосы последовательностей 2,  $v''$  и 3,  $v''$ . Спектр Фл намного интенсивнее спектра Хл и состоит из последовательностей 0—3,  $v''$ . Наиболее интенсивны переходы с уровней  $v' \leq 3$ . При введении в зону послесвечения добавок  $\text{H}_2\text{O}$ ,  $\text{H}_2\text{O}_2$ ,  $\text{O}_2$  и О наблюдали интенсивную Хл  $\text{SO}_2$ . Она отсутствовала при введении  $\text{O}_3$ . Наиболее интенсивная Хл вызывается добавками атомов О, когда Хл в  $\sim 100$  раз интенсивнее по сравнению с Хл, возникающей при пропускании  $\text{SO}_2$ , чистого и разбавленного Не, через СВЧ-разряд. Спектр Хл  $\text{SO}_2$  является рекомбинац. континуумом ( $\text{SO} + \text{O}$ ), не содержащим полос. Продукты разряда в смеси  $\text{CF}_4 + \text{He}$  содержат радикалы  $\text{CF}$  и  $\text{CF}_2$ , обнаруживаемые по спектрам Фл: полосы (1,0), (1,1) и (0,0) перехода  $\text{CF}(A^2\Sigma^+ - X^2\Pi_r)$  и полосы (0,0), (0,1), (0,2) перехода  $\text{CF}(B-X)$ ; спектр Фл  $\text{CF}_2$  при 230—430 нм. В  $\text{NH}_3$  наблюдали интенсивную Фл  $\text{NH}(A^3\Pi_i - X^3\Sigma^-)$  при 336 нм.

Б. Е. Скурат

1977

*9 S<sub>2</sub>*

18 Б1564. Хемилюминесцентные реакции атомов серы ( ${}^3P_2$ ) в криогенных матрицах. Реакция  $S + O_2 \rightarrow SO_2(\tilde{a}^3B_1)$ . Long S. Randolph, Pimentel George C. Chemiluminescent reactions of sulfur ( ${}^3P_2$ ) atoms in cryogenic matrices:  $S + O_2 \rightarrow SO_2(\tilde{a}^3B_1)$  «J. Chem. Phys.», 1977, 66, № 5, 2219—2220 (англ.)

*флуоресц.* Изучены спектры термolumинесценции (Тл), возникающие при нагревании замороженных конденсаторов  $OCS + O_2 + Ag$  состава 1 : 1 : 200 после их освещения при 8—11° К светом Hg-лампы среднего давл., вызывающим фотодиссоциацию  $OCS$  с образованием атомов  $S(^1D)$ , к-рые быстро релаксируют в основное состояние  $S(^3P_2)$ . Во время фотолиза наблюдали лишь слабую флуоресценцию  $S_2(B^3\Sigma_u^- \rightarrow X^3\Sigma_g^-)$ , подобную флюоресценции при фотолизе смесей  $OCS + Ag$  состав 1 : 100. При нагревании освещенных конденсаторов тройных смесей выше 13° К наблюдается интенсивный спектр Тл, характерный для перехода  $SO_2(\tilde{a}^3B_1 \rightarrow \tilde{X}^1A_1)$ . Отождествление этого спектра произведено путем сопоставления со спектром люминесценции  $SO_2$  в газовой фазе,

*X. 1977  
n 18*

а также на основании изотопных сдвигов колебательных полос спектра Тл при замене  $^{16}\text{O}_2$  на  $^{18}\text{O}_2$ . Сделан вывод, что в условиях опытов практически без энергии активации протекает р-ция внедрения атома  $S(^3P_2)$  в молекулу  $\text{O}_2$ :  $S(^3P_2) + \text{O}_2(X^3\Sigma_g^-) \rightarrow \text{SO}_2^* \rightarrow \text{SO}_2(\tilde{a}^3B_1, v'=0)$ . Экзотермичность первой стадии этой р-ции равна  $47925 \text{ см}^{-1}$ , т. е. достаточна для возбуждения известных состояний  $\tilde{C}^1B_2$ ,  $\tilde{A}^1B_1$  и  $a^3B_1$  с энергиями  $T_a = 42580$ ,  $28240$  и  $25776 \text{ см}^{-1}$  соотв. В. Е. Скурат

од,  
"аш"

S<sub>2</sub>

Summer 5757 1974

Lowe J.P.

J. Amer. Chem. Soc.,  
1977, 99, (17), 5557-70.

(Fe, Y)

$S_2'$

January 1999 1977

Marsh F.J.; et al.

recovered  
J.A. elegans,  
 $\mu$  Phys. Lett  
1977, 45, N2, 255-260

S<sub>2</sub>

Lawn 5085)

1977

(2)

Mc Gee T.H. et al.

Chem. Phys. Lett. 1977

47- N2. 352-6.

S<sub>2</sub>

1977

Wayne F.D. et al

Mol. Phys., 1977, 34

N<sub>4</sub>, II4I-II55

all. N.

all. N<sub>4</sub>-II

1948

S<sub>2</sub>

90: 78726u Absorption spectra of sulfur (S<sub>2</sub>) molecules in alkali borate glasses. Ahmed, A. A.; El-Shamy, T. M.; Sharaf, N. A. (Glass Res. Lab., Natl. Res. Cent., Cairo, Egypt). *J. Non-Cryst. Solids* 1978, 30(2), 225-8 (Eng.). A study of the absorption spectra (200-700 nm) of S contg. alkali borate glasses (alkali = Li, K, Na) showed that S<sub>2</sub> mols. can be formed in alkali borate glasses and that the blue color which is characterized by the absorption band at 585 nm, cannot be ascribed to the S<sub>2</sub> mol. The absorption peak around 275 nm is attributed to the S<sub>2</sub> mol.

checked  
noted  
6/26/48

C.A. 1948, 22, 110

1978

*S<sub>2</sub>*

OMMECK 7302

*Cnclssps*

89: 188385u Diatomic sulfur fluorescence and excitation spectra in solid argon. Bondybey, V. E.; English, J. H. (Bell Lab., Murray Hill, N. J.). *J. Chem. Phys.* 1978, 69(5), 1865-8 (Eng). Study of the S<sub>2</sub> emission and excitation spectra in solid Ar suggests reassignment of the fluorescence. The absorbing  $B^3\Sigma_u^-$  state undergoes efficient nonradiative transition into a lower lying electronic state correlating with 2  $^3P$  S atoms, probably the  $B''^3\Pi_u$  state. This reassignment is consistent with recent observations of the S<sub>2</sub> emission in matrix thermoluminescence expts. Both the  $B^3\Sigma_u^-$  and the  $B''^3\Pi_u$  state are even in the solid strongly perturbed.

*syn. K. H. Muller*

C.A. 1978, 89, No. 22

*S<sub>2</sub>*

4 Д346. Спектры возбуждения и флуоресценции молекул  $S_2$ , изолированных в твердом Ar. Bondybey V. E., English J. H.  $S_2$  fluorescence and excitation spectra in solid Ar. «J. Chem. Phys.», 1978, 69, № 5, 1865—1868 (англ.)

1978

С высоким разрешением получены спектр испускания в области 23 500—26 500  $\text{см}^{-1}$  и спектр возбуждения в области 30 000—34 000  $\text{см}^{-1}$  молекул  $S_2$  в Ar-матрице при т-ре 4° К. Пучок молекул  $S_2$ , осаждавшийся на охлаждаемую сапфировую подложку, получался испарением серы при т-ре 450° К с последующим перегревом пара при т-ре 1000° К. Конц-ия раствора составляла 1 : 5000. Спектры возбуждались импульсным лазером на красителе с удвоением частоты. Анализ прогрессии узких полос в спектре возбуждения позволил высказать предположение, что спектр испускания отвечает излучательному распаду состояния  $^3\Pi_u$  ( $v'=0$ ), а не  $B^3\Sigma_u^-$ , как считалось ранее. Предложен механизм заселения состояния  $^3\Pi_u$ , состоящий в последовательном возбуждении молекул  $S_2$  в состояние  $B^3\Sigma_u^-$  и колебательной релаксации при сильном смешивании состояний  $^3\Pi_u$  и  $B^3\Sigma_u^-$ . Получено значение времени жизни флуоресценции  $S_2$  ( $^3\Pi_u \rightarrow X^3\Sigma_g^-$ ) в твердом аргоне (200 нсек). Библ. 23.

спектр  
возбуждения  
и флуоресценции

Ф.1949 №4

М. Т.

1971

7 Б128. Спектры флуоресценции и возбуждения S<sub>2</sub>  
 в твердом Ag. Bondybeu V. E., English J. H.

S<sub>2</sub> fluorescence and excitation spectra in solid Ag. «J. Chem. Phys.», 1978, 69, № 5, 1865—1868 (англ.)

Исследованы спектры возбуждения и флуоресценции молекулы S<sub>2</sub> в Ag-матрице (4 K) в области перехода  $B^3\Sigma_u^- - X^3\Sigma_g^+$ . Использована двойная эффективная ячейка с перегревом паров серы до 1000 K ( $T_{исп} = 450$  K). В спектре испускания наблюдается развитая прогрессия нуль фононных линий с интервалом, соотв-щим частоте колебания S<sub>2</sub> в основном состоянии ( $X^3\Sigma_g^+$ ). При нек-рых условиях возбуждения, в част-ности, при широкополосном возбуждении, у каждой ли-нии появлялась высокочастотная компонента, принадле-жащая молекуле  $^{32}\text{S}^{34}\text{S}$ . На основании анализа изотоп-ных сдвигов найдено, что полоса 0—0 лежит при 30 636 см<sup>-1</sup>, и предложенную ранее абр. нумерацию по  $v''$  следует увеличить на единицу. В спектре возбужде-ния (30 000—34 000 см<sup>-1</sup>) наблюдаются две прогрессии —

спектр  
флуоресц.

OM 7302

2.1949 N 4

узких линий и широких полос асимметричной формы. Предполагается, что молекула  $S_2(B^3\Sigma_u^-)$  претерпевает безызлучательный переход в более низколежащее электронное состояние  $B''^3\Pi_u$  (коррелирующее с атомами серы в состоянии  ${}^3P$ ). В этом предположении узкие линии в спектре возбуждения интерпретируются как прогрессия по  $v'S_2(B''^3\Pi_u)$  ( $\omega_e' = 346 \text{ см}^{-1}$ ,  $\omega_e'x_e' = 6 \text{ см}^{-1}$ ), а широкие полосы — как прогрессия по  $u'S_2(B^3\Sigma_u^-)$  (значения  $\omega_e'$  и  $\omega_e'x_e'$  согласуются с данными по газовой фазе). Значит, нерегулярность в величине колебательных интервалов объясняют сильным возмущением состояний  $B^3\Sigma_u^-$  и  $B''^3\Pi_u$ . Совпадение положения первой полосы в спектре испускания и первой узкой линии в спектре возбуждения ( $30\,633 \text{ см}^{-1}$ ) свидетельствует о том, что испускание происходит из состояния  $B''^3\Pi_u$  ( $v=0$ ). Определено время жизни флуоресценции  $S_2$  (200 нсек).

Б. М. Ковба



S<sub>2</sub>

Dewart J. et al

1948

Adv. Mass. Spectrom., 1948, 7A,  
647-50.

J, do



(Cs<sub>2</sub>Cu) II

S<sub>2</sub>

1978

Fournier J. et al

Ber. Bunsenges. Phys. Chem.  
1978, 82(1), 100-1(Eng)

стекло  
термостекло  
стеклышки



cell. CD - II

1978

S<sub>2</sub>

S<sub>2</sub> Xe

S O<sub>2</sub>

Carey /  
Holloway

(F2)

88: 20041-4s Chemiluminescent matrix reactions of atomic oxygen, sulfur, and O(<sup>3</sup>P) + H<sub>2</sub>S. Smardzewski, Richard R. (Chem. Div., Nav. Res. Lab., Washington, D. C.). *J. Chem. Phys.* 1978, 68(6), 2878-88 (Eng). Optical multichannel techniques were used to analyze the visible chemiluminescence generated by diffusion-controlled warmup (8 → 20 K) of sep. UV-photolyzed inert gas matrixes contg. O<sub>3</sub>, H<sub>2</sub>S, H<sub>2</sub>S + O<sub>2</sub>, and O<sub>3</sub> + H<sub>2</sub>S mols. O atoms were obsd. to diffuse and recombined in solid Ar at ~17 K to produce the intense Herzberg I band system of mol. O<sub>2</sub> ( $A \rightarrow X$ ) which was also obsd. in Kr though not in Xe matrixes. The lack of any detectable emission in Xe was attributed to premature diffusion and depletion of at. O prior to diffusion-controlled warmup. Matrix diffusion and recombination of S atoms produced intense S<sub>2</sub> emission ( $B \rightarrow X$ ) in all 3 matrixes (Ar, Kr, Xe). Long, structured vibrational progressions (0,uv") were obsd. in Ar and Kr, while a broad, relatively structureless emission was obsd. in Xe. Suggested mechanisms for this latter effect include such processes as vibrationally unrelaxed fluorescence and/or S<sub>2</sub>-Xe van der Waals complex formation. Diffusion of S atoms in matrixes contg. traces of mol. O<sub>2</sub> produced the phosphorescent emissions of SO<sub>3</sub> ( $a \rightarrow X$ ) which appeared to be orders of magnitude more intense than the H<sub>2</sub>S emissions. O atoms diffused and reacted with H<sub>2</sub>S mols. in dil. Ar matrixes at ~14 K, thereby generating SO<sub>2</sub> phosphorescence ( $a \rightarrow X$ ) as well as 2 emission systems of

C.A. 1978, 88, N° 6

lesser intensity (520 675 nm), each with an approx. vibrational spacing of  $\sim 1040$  cm<sup>-1</sup>. Suggested emitter(s) responsible for these latter chemiluminescent systems are presented.

Qmmucc 8801

1973

S<sub>2</sub>

92: 49688u Near-infrared emissions from the  ${}^1\Delta_g$  and  ${}^1\Sigma_g^+$  states of molecular sulfur. Barnes, I.; Becker, K. H.; Fink, E. H. (Gesamthochsch., 5600 Wuppertal, Fed. Rep. Ger.). *Chem. Phys. Lett.* 1979, 67(2-3), 314-17 (Eng). In a discharge flow system O<sub>2</sub> ( ${}^1\Delta_g$ ) sensitized chemiluminescence was obsd. from the 2 low lying  ${}^1\Delta_g$  and  ${}^1\Sigma_g^+$  states of S<sub>2</sub> in the wavelength region 1.0 to 1.8  $\mu\text{m}$ . The hitherto unknown energies of the 2 states were  $5730 \pm 20 \text{ cm}^{-1}$  and  $7961 \pm 15 \text{ cm}^{-1}$ , resp. Due to the near energy resonance ( $\Delta E \approx 79 \text{ cm}^{-1}$ ) between the  ${}^1\Delta_g$  state of O<sub>2</sub> and the  ${}^1\Sigma_g^+$  state of S<sub>2</sub>, effective energy exchange between both mols. occurs.

4, 17.

C. A. G. 80. 92. N6

1978

$S_2$

$Se_2$

$Te_2$

масс - спектр  
мол. - пучка.

(+2)

Х. 1980 № 7

7 Б108. Масс-спектрометрическое изучение молекулярных пучков с отклонением в неоднородном магнитном поле. Применение к  $S_2$ ,  $Se_2$  и  $Te_2$ . Khodeyev Yu. S., Pantchenkov I. G., Tchepik V. V., Tchekhovskoi D. V., Gorokhov L. N. Mass spectrometric study of molecular beams deflected by inhomogeneous magnetic field. Application to  $S_2$ ,  $Se_2$  and  $Te_2$ . «Adv. Mass. Spectrom. Vol. 7A. Proc. 7th Int. Mass Spectrom. Conf., Florence, 1976». London, 1978, 684—690 (англ.)

Магнитные св-ва молекул в зависимости от их электронных состояний изучены с помощью отклонения молек. пучков в неоднородном магнитном поле с последующей регистрацией профилей пучков квадрупольным масс-анализатором. Измерения выполнены для молекул  $S_2$ ,  $Se_2$  и  $Te_2$ . Приведены характеристики от-

клонения (расфокусировки —  $P$ ) молекулярных пучков, как функции градиента магнитного поля и профиля пучков, нормализованные в соответствии с калибровкой по чувствительности. Для  $S_2$  молекул наблюдалась линейная зависимость  $P$  при малых градиентах поля, с повышением градиента наклон кривой  $P$  уменьшался, но насыщения не наблюдалось. Для молекул  $Se_2$  показана линейная зависимость  $P$  во всем диапазоне градиентов поля. Обсуждаются причины расхождения экспериментальных и расчетных результатов для  $Se_2$  и сложности интерпретации измерений  $Te_2$ . М. Туркина,



1979

$S_2$

4 Д820. ИК-излучение из состояний  ${}^1\Delta_g$  и  ${}^1\Sigma_g^+$  молекулы  $S_2$ . Near-infrared emissions from the  ${}^1\Delta_g$  and  ${}^1\Sigma_g^+$  states of  $S_2$ . Barnes I., Becker K. H., Fink E. H. «Chem. Phys. Lett.», 1979, 67, № 2—3, 314—317 (англ.)

$E_i, \text{мкн}$

В проточной разрядной системе наблюдали сенсибилизированную молекулами  $O_2({}^1\Delta_g)$  ИК-хемилюминесценцию (1,0 и 1,8 мк) из двух низколежащих состояний  ${}^1\Delta_g$  и  ${}^1\Sigma_g^+$  молекулы  $S_2$ . Определены до сих пор неизвестные энергии этих состояний:  $(5730 \pm 20) \text{ см}^{-1}$  и  $(7961 \pm 15) \text{ см}^{-1}$  соответственно. Отмечено, что вследствие близости энергии состояний  $O_2({}^1\Delta_g)$  и  $S_2({}^1\Sigma_g^+)$  ( $\Delta E \approx 79 \text{ см}^{-1}$ ), при столкновении молекул  $O_2({}^1\Delta_g)$  с  $S_2$  наблюдается эффективный перенос энергии. В. С. Иванов

ф. 1980 № 4

52

1979

12 Б131. Эмиссия  $S_2$  в ближней инфракрасной об-  
ласти из состояний  $^1\Delta_g$  и  $^1\Sigma_g^+$ . Vagnes I., Вес-  
кег K. H., Fink E. H. Near-infrared emissions from  
the  $^1\Delta_g$  and  $^1\Sigma_g^+$  states of  $S_2$ . «Chem. Phys. Lett.», 1979,  
67, № 2—3, 314—317 (англ.)

Пучок гелия, содержащий молекулы  $S_2$ , полученные в  
МВ-разряде из  $S_2Cl_2$  или  $SCl_2$ , смешивался с током  
кислорода, содержащим 5%  $O_2$  в метастабильном  
состоянии  $^1\Delta_g$ . Наблюдавшееся в этой системе испуска-  
ние в области 1—1,8 мкм регистрировалось с помощью  
германьевого детектора, охлаждаемого жидк. азотом.  
Спектр отнесен к двум низколежащим состояниям  $S_2$   
( $^1\Delta_g$  и  $^1\Sigma_g^+$ ) с  $T_e = 5730 \pm 20$  и  $7961 \pm 15$  см $^{-1}$  соотв.

И.К. Смирн.

И.Н.

д. 1980. 112

Обсужден механизм р-ции:  $O_2(^1\Delta_g) + O_2(^1\Delta_g) \rightarrow O_2(^1\Sigma_g^+) + O_2 + \Delta E = 2643 \text{ см}^{-1}$ ;  $C_2(^1\Delta_g) + SO(^1\Delta_g) \rightarrow O_2(^1\Delta_g) + SO(^1\Delta_g) \rightarrow O_2 + SO(^1\Sigma_g^+) + \Delta E = 3278 \text{ см}^{-1}$ ;  $2SC(^1\Delta_g) \rightarrow SO(^1\Sigma_g^+) + SO + \Delta E = 1261 \text{ см}^{-1}$ ;  $O_2(^1\Delta_g) + S_2 \rightarrow O_2 + S_2(^1\Sigma_g^+) + \Delta E = -79 \text{ см}^{-1}$ ;  $S_2(^1\Delta_g) + S_2(^1\Delta_g) \rightarrow S_2(^1\Sigma_g^+) + S_2 + \Delta E = 3499 \text{ см}^{-1}$ ;  $S_2(^1\Delta_g) + O_2(^1\Delta_g) \rightarrow S_2(^1\Sigma_g^+) + O_2 + \Delta E = 5651 \text{ см}^{-1}$ ;  $O_2(^1\Delta_g) + S_2 \rightarrow O_2 + S_2(^1\Delta_g) + \Delta E = 2152 \text{ см}^{-1}$ ;  $S_2(^1\Sigma_g^+) + M \rightarrow S_2(^1\Delta_g) + M + \Delta E = 2231 \text{ см}^{-1}$ . Отмечено, что подобное изучение интенсивностей полос в спектре и их зависимости от состава смеси позволит точнее установить вклад различных процессов.

Л. В. Серебренников

S<sub>2</sub>

1979

91: 96995f Photoion mass spectrometry and photoelectron spectroscopy of high-temperature vapors. Berkowitz, J. (Argonne Natl. Lab., Argonne, IL USA). Report 1978, CONF-780941-4, 25 pp. (Eng). Avail. NTIS. From Energy Res. Abstr. 1979, 4(9), Abstr. No. 24087. PIMS and PES were used to study the bond energies and mol. structure in the mols. S<sub>2</sub>, AlCl, AlC<sup>+</sup>, InCl, TiCl, TiCl<sup>+</sup>, TiF, Tl<sub>2</sub>F<sub>2</sub>, KF, KF<sup>+</sup>, LiCl, and LiCl<sup>+</sup>.

CONF-780941-4

do

(+10)

C.A. 1979, 91, N12

обзор. ^ фтоионизац.

1979

$S_2$  ✓

$O_2$  ✓

$Se_2$  ✓

$Te_2$  ✓

Медорг. № 15

(фтоиониз.)

в

Х. 1980. N12

12 Б120. Фотоионизация масс-спектрометрия и фотоэлектронная спектроскопия высокотемпературных паров. Berkowitz J. Photoionization mass spectrometry and photoelectron spectroscopy of high temperature vapors. Characterization of High Temperature Vapors and Gases. Vol. 1. Proc. 10th Mater. Res. Symp., Gaithersburg, Md, Sept. 18—22, 1978. «U. S. Dep. Commer. Nat. Bur. Stand. Spec. Publ.», 1979, № 561/1, 757—769 (англ.)

Обзор работ автора. Особое вниманиеделено определению энергии диссоциации. Приведены примеры изучения молекул с ковалентной связью ( $S_2$ ,  $O_2$ ,  $Se_2$ ,  $Te_2$ ) и молекул с ионной связью (галогениды элементов 3-й группы и щел. металлов). Рассмотрен метод определения по данным фотоэлектронных спектров молек. структуры на примере  $Tl_2F_2$ . Библ. 14.

О. А. Басченко

(+5) 18



1979

S<sub>2</sub>

фото-  
ионизац.  
структура

8 Д296. Фотоионизационная масс-спектрометрия и фотоэлектронная спектроскопия высокотемпературных паров. Photoionization mass spectrometry and photo-electron spectroscopy of high temperature vapors. Bergkowitz J. — Characterization of High Temperature Vapors and Gases. Vol. 1. Proc. 10th Mater. Res. Symp., Gaithersburg, Md, Sept. 18—22, 1978. —«U. S. Dep. Commer. Nat. Bur. Stand. Spec. Publ.», 1979, № 561/1, 747—769. Discuss., 769 (англ.)

Статья обзорного характера. Показаны преимущества фотодионизационной масс-спектрометрии при определении энергии диссоциации труднолетучих соединений. На примере S<sub>2</sub>, AlCl, InCl, TlCl, Tl<sub>2</sub>F<sub>2</sub> подробно проиллюстрированы возможности совместного исследования методом фотоэлектронной спектроскопии и фотодионизационной масс-спектрометрии электронной, геометрической структуры, процессов диссоциативной фотоионизации труднолетучих соединений.

Ю. В. Чижов

(4) A

Ф 1980 N 8

*S<sub>2</sub>*

*15.79*

11 Д972. Индуцированная  $N$ -лазером флуоресценция  $B^3\Sigma_u^- \rightarrow X^3\Sigma_g^-$  молекул  $S_2$ . Fukimoto Take-shi, Yasuda Yukio, ~~Sokabe~~ Nobugi. Nitrogen-laser-induced  $B^3\Sigma_u^- \rightarrow X^3\Sigma_g^-$  fluorescence of  $S_2$  molecules. «Mem. Fac. Eng. Osaka City Univ.», 1979, 19, 289–295 (англ.)

*спектр флуоресценции*

Исследована флуоресценция молекул  $S_2$ , возбуждаемая  $N_2$ -лазером (300 квт, 5 нсек). В спектре флуоресценции идентифицирована прогрессия  $B^3\Sigma_u^-, v'=2 \rightarrow X^3\Sigma_g^-, v''=4 \div 21$ . Непростая структура полос спектра флуоресценции свидетельствует о том, что, по крайней мере, две вращательных линии полосы поглощения (2,4) молекулы  $S_2$  перекрываются с линиями  $N_2$ -лазера. Подробно описана конструкция использованного  $N_2$ -лазера.

В. С. Иванов

*Ф.1979.11*

S<sup>7</sup>  
S<sub>2</sub>

1978

91: 184455k Nitrogen-laser-induced  $B^3\Sigma_u^- \rightarrow X^3\Sigma_g^-$  fluorescence of sulfur ( $S_2$ ) molecules. Fukumoto, Takeshi; Yasuda, Yukio; Sokabe, Noburu (Dep. Appl. Phys., Osaka City Univ., Osaka, Japan). *Mem. Fac. Eng., Osaka City Univ.* 1978, 19, 289-95 (Eng). Fluorescence of  $S_2$  mols. optically pumped by a  $N_2$  laser of 300-kW peak power and 5-ns pulse width was investigated. The resonance  $v'$  progression of the  $B^3\Sigma_u^-, v' = 2 \rightarrow X^3\Sigma_g^-, v'$  transition was obsd. with  $v''$  extending from 4 to 21. A fairly simple structure of the obsd. fluorescence spectrum indicates that not more than 2 rotational lines in the (2,4) absorption band overlap the  $N_2$  laser lines. Detailed description of the constructed  $N_2$  laser is given.

Greenup  
Jeffrey

C.A. 1049, G/N22

$S_2^{\cdot}$ ,  $S_2^{\cdot+}$

Berkowitz, J.

1979

Photoionization mass spectro-  
metry and photoelectron spectro-  
scopy of high temperature vapors.

10th Materials Research Sympo-  
sium on characterization of high  
temperature, vapors and gases.

NBS Special Publication 561.

Volume 1, 1979, 757-790.

(J. Sypkura)

romulus.  
Krubbe,  
J

1949

S<sub>2</sub>

(Ae)

92: 99849t Energetics of the charge-stripping process from negative ions. A new method for the estimation of electron affinities. Howe, Ian; Bowie, John H.; Szulejko, Jan E.; Beynon, John H. (R. Soc. Res. Unit, Univ. Coll., Swansea, Wales SA2 8PP). *J. Chem. Soc., Chem. Commun.*, 1979, (22), 983-4 (Eng). The electron affinity of a neutral mol. X is caled. by deducting its ionization potential from the difference between the translational energies of incident high-energy X<sup>-</sup> and the product X<sup>+</sup> produced by glancing collision of X<sup>-</sup> with a neutral mol. Ion translational energy differences of 5 examples, e.g. X = S or CN, caled. by this method agreed within 0.45 eV of values caled. from literature data. The electron affinity of S<sub>2</sub> was caled. by this technique to be 2.15 eV from 8 detns. of ion translational energy differences.

C.A. 1980, 92, N12

Физика 7936

1979

*S<sub>2</sub>*

8 Д620. Хемилюминесценция  $S_2$  в твердом аргоне.  
Lee Yuan-Pern, Pimentel George C. Chemiluminescence of  $S_2$  in solid argon. «J. Chem. Phys.», 1979, 70, № 2, 692—698 (англ.)

Исследовалась термolumинесценция образцов  $OCS/Ar$ ,  $CS_2/Ar$   $OCS/Kr$ ,  $OCS/SF_6$  ( $M/R=100$ ) предварительно подвергнутых фотолизу при т-ре  $8^{\circ}K$ . Спектральные наблюдения проводились в области  $5500—9000 \text{ \AA}$ . Кроме ранее наблюдавшейся хемилюминесценции  $B(B'') \rightarrow X$  молекулы  $S_2$ , обнаружены две новые последовательности переходов: слабая в области  $5580—6890 \text{ \AA}$  и сильная в области  $6680—8750 \text{ \AA}$ . Из анализа изотопич. сдвигов для  $OCS^{34}S$  получили следующие значения спектроскопич. параметров:  $\nu_{00}=15\,750 \pm 10 \text{ см}^{-1}$ ,  $\omega_e=699 \pm 5 \text{ см}^{-1}$  и  $\omega_e X_e=2,6 \pm 1 \text{ см}^{-1}$  для переходов в области  $6680—8750$ ;  $\nu_{00}=20\,870 \pm 30 \text{ см}^{-1}$ ,  $\omega_e=724 \pm 6 \text{ см}^{-1}$  и  $\omega_e X_e=2,9 \pm 1 \text{ см}^{-1}$  для переходов в области  $5580—6890 \text{ \AA}$ . Проведено отождествление эмиссии в областях  $6680—8750$  и  $5580—6890 \text{ \AA}$  переходам  $C'\Sigma_u^- \rightarrow a^1\Delta_q$  и  $A'^3\Delta_u \rightarrow X^3\Sigma_g^-$  молекулы  $S_2$  соответственно. Показано, что  $C'\Sigma_u^-$  — состояние ( $T_0=20250 \pm 200 \text{ см}^{-1}$ ) молекулы  $S_2$  лежит ниже  $A^3\Sigma_u^+$  и  $A^3\Delta_u$ -состояний.

Б. В. Хмельницкая

*Мин.*

*Физика 7936*

SEARCHED 7936 1949

S<sub>2</sub>

SEARCHED 7936

(M, n)

SEARCHED 7936

129819m Chemiluminescence of diatomic sulfur in solid argon. Lee, Yuan-Pern; Pimentel, George C. (Chem. Dep., Univ. California, Berkeley, Calif.). *J. Chem. Phys.* 1979, 70(2), 692-8 (Eng). On slow warming of previously photolyzed matrix samples of OCS/Ar, CS<sub>2</sub>/Ar, OCS/Kr, and OCS/SF<sub>6</sub> (*M/R* ~ 100), the *B* (*B'*) → *X* chemiluminescence of S<sub>2</sub> is obsd., as reported earlier. In addn. 2 new progressions were recorded, a weak progression between 5580-6890 Å and a stronger one between 6680-8750 Å. With OC<sup>34</sup>S, the 6680-8750 Å progression displayed isotopic shifts that allow deduction of  $\nu_{\infty} = 15750 \pm 10$  cm<sup>-1</sup>,  $\omega''_e = 699 \pm 5$  cm<sup>-1</sup>, and  $\omega_e x''_e = 2.6 \pm 1$  cm<sup>-1</sup>. Similarly, the weaker 5580-6890 Å progression corresponds to  $\nu_{\infty} = 20870 \pm 30$  cm<sup>-1</sup>,  $\omega''_e = 724 \pm 6$  cm<sup>-1</sup>, and  $\omega_e x''_e = 2.9 \pm 1$  cm<sup>-1</sup>, with a less favored, alternative vibrational assignment that gives  $\nu_{\infty} = 21601 \pm 30$  cm<sup>-1</sup>,  $\omega''_e = 731 \pm 6$  cm<sup>-1</sup>, and  $\omega_e x''_e = 2.9 \pm 1$  cm<sup>-1</sup>. These spectroscopic parameters point to assignments of the c  $^1\Sigma_u^+$  → *a*  $^1\Delta_g$  and *A'*  $^3\Delta_u$  → *X*  $^3\Sigma_g^-$  transitions of S<sub>2</sub> for the 6680-8750 Å and 5580-6890 Å emissions, resp. These are the first observations of these transitions of S<sub>2</sub> and one of them provides for first direct spectroscopic information illustrating that the c  $^1\Sigma_u^+$  and *A'*  $^3\Delta_u$  states, as is the case for O<sub>2</sub>.

C.A. 1949, 90, 116

отмска 7936

1979

17 Б1188. Хемилюминесценция  $S_2$  в твердом аргоне. Lee Yuap-Pegn, Pimentel George C. Chemiluminescence of  $S_2$  in solid argon. «J. Chem. Phys.», 1979, 70, № 2, 692—698 (англ.).

В УФ-, видимой и ближней ИК-области измерены спектры хемилюминесценции  $S_2$ , изолированной в арго-новой, криptonовой и  $SF_6$ -матрицах. Молекулы  $S_2$  образовались в результате фотолиза исходной матрицы, содержащей  $OCS$  ( $^{32,34}S$ ) или  $CS_2$ . В спектре матрицы после возбуждения УФ-светом ( $T=8$  К) присутствует только система  $B^3\Sigma_u^-$ —( $B''^3\Pi_u$ )— $X^3\Sigma_g^-$ — $S_2$ . При отжиге матрицы в спектре появляются еще две, впервые обнаруженные, системы  $S_2$ , отнесенные к переходам  $A'^3\Delta_u$  ( $v'=0$ ) —  $X^3\Sigma_g^-$  ( $v''=4—9$ ) (5580—6890 Å, слабые полосы) и  $c^1\Sigma_u^-$  ( $v=0$ ) —  $a^1\Delta_g$  ( $v''=1—6$ ) (6680—8750 Å, интенсивные полосы). Среди. значения  $\nu_{oo}, \omega_e, \omega''_e, \chi''_e$  (в  $\text{см}^{-1}$ ): переход  $C—a$   $15750 \pm 10$ ,  $699 \pm 5$ ,  $2,6 \pm 1$ , переход  $A'—X$   $20870 \pm 30$ ,  $724 \pm 6$ ,  $2,9 \pm 1$ . При повышении температуры наблюдается сдвиг всех полос обеих прогрессий приблизительно на  $240 \text{ см}^{-1}$  в низкочастотную область.

Р.1979.Н/Ч

что объясняется изменениями в окружении молекулы  $S_2$  при нагреве матрицы. Рассмотрена система низколежащих электронных состояний  $S_2$ . Состояние  $c^1\Sigma_u^-$  ( $20250 \pm 200 \text{ см}^{-1}$ ), согласно полученным данным, лежит ниже, чем состояния  $A^3\Sigma_u^+$  и  $A'^3\Delta_u$ , (все три состояния соответствуют электронной конфигурации  $\sigma_g^2\pi_u^3\pi_g^*{}^3$  — аналогично расположению состояний молекулы  $O_2$ ). Обсуждается механизм возбуждения указанных систем полос.

В. М. Ковба

ст.

S<sub>2</sub>

Lemnaceae 8901] 1979

Okwarda K.

C.U.N.M.C.T. Specie&rockism. acta,  
1979, A 35, 1353-54

1649

$S_2'$

10 Д448. Спектр двухатомной серы в миллиметровом диапазоне. Pickett Herbert M., Boyd Timothy L. The millimeter wavelength spectrum of diatomic sulfur. «J. Mol. Spectrosc.», 1979, 75, № 1, 50—57 (англ.)

В диапазоне 79—150 ГГц измерен микроволны спектр молекулы  $S_2$ . Идентифицированы линии 6 переходов с  $J \leq 11$  в основном колебательном состоянии. Анализ спектра выполнен совместно с данными по спектру ЭПР и определены значения вращательной и центробежной постоянных ( $B_0 = 8831,8676$  МГц,  $D_0 = 5,9$  кГц),  $g$ -факторов и постоянных спин-вращательного и спин-спинового взаимодействий.

М. Р. Алиев

Ф. 1949, № 10

*S<sub>2</sub>*

Октябрь 8124

1979

20 Б215. Спектр двухатомной серы в области миллиметровых длин волн. Pickett Herbert M., Boyd Timothy L. The millimeter wavelength spectrum of diatomic sulfur. «J. Mol. Spectrosc.», 1979, 75, № 1, 53—57 (англ.)

В миллиметровой области исследованы спектры магнитно-дипольных переходов S<sub>2</sub> в газ. фазе. Определены параметры вращательной и ТС спектров и вычислены константы, связанные с ЭПР переходами.

Из резюме

2.1979, 120

S  
S<sub>2</sub>

Commenc 8/24

1979

M, N.

90: 159495v The millimeter wavelength spectrum of diatomic sulfur. Pickett, Herbert M.; Boyd, Timothy L. (Dep. Chem., Univ. Texas, Austin, Tex.). *J. Mol. Spectrosc.* 1979, 75(1), 53-7 (Eng). The gas phase spectrum of S<sub>2</sub> was detected in the mm wavelength region. The rotational and fine structure parameters obtained are  $B_0 = 8831.8676 \pm 0.006$  MHz,  $D_0 = 5.9 \pm 0.7$  kHz,  $\lambda_0 = 353040 \pm 27$  MHz, and  $\gamma_0 = -200.9 \pm 0.7$  MHz. The reanal. of EPR data yielded  $g_z + 1.18g_{\perp} = 2.0021 \pm 0.0014$  and  $g_z - g_{\perp} = -0.0089 \pm 0.0017$ . On the basis of the frequencies obtained in this work, it was also possible to exclude the assignment of several interstellar emissions to S<sub>2</sub>.

C.A. 1979, 90, 116

*S<sub>2</sub>*

1979

91: 114785u Pure sulfur discharges and associated spectra.  
Peterson, Drew A. (Sch. Eng., Air Force Inst. Technol., Wright-Patterson AFB, OH USA). Report 1978, AFIT/GEP/-PH/78D-10; Order No. AD-A064762, 58 pp. (Eng). Avail. NTIS. From Gov. Rep. Announce. Index (U. S.) 1979, 79(13), 96. Stable, glow discharges in pure S and He/S were achieved for the 1st time, at operating temps. between 0 and 250°. This result indicates that S<sub>8</sub> is broken directly into S<sub>2</sub> and that temps. <<600° can be used. The S<sub>2</sub> (B-X) band emission was obsd. in great detail, and through anal. of these spectra the ground electronic state consts. were detd. to the 4th order.

*P.A. Clegg*

C.A. 1979 Q N14

$S_2$

1979

Saito K. et al

секунд  
искус.

J. Sci. Hiroshima Univ.,  
1979, A43, №2, 119-133.



(cav.  $C_2^S$ ; III)

1979

• S<sub>2</sub>

рассел  
Гомберг  
Кричев

9 Д160. Двухатомная сера. Низколежащие связанные молекулярные электронные состояния S<sub>2</sub>. Swope William C., Lee Yuan-Pern, Schlaeger Henry F. III. Diatomic sulfur. Low lying bound molecular electronic states of S<sub>2</sub>. «J. Chem. Phys.», 1979, 70, № 2, 947—953 (англ.)

Методами ССП и конфигурац. взаимодействия (КВ) рассчитаны потенц. кривые 13 низколежащих электронных состояний молекулы S<sub>2</sub>. Базис состоял из сгруппированного набора [6s4p1d] Данинга, дополненного поляризац. ф-циями типов s и p. На стадии КВ были включены все однократно и двукратно возбужденные конфигурации, возникающие в пространстве валентных МО. Для всех связанных состояний потенц. кривые приближены полиномами 4-ой степени по пяти рассчитанным точкам, и далее по ф-лам Данхэма определены спектроскопич. постоянные. Впервые найдено связанное состояние <sup>1</sup>P<sub>u</sub>, лежащее на 37 000 см<sup>-1</sup> выше основно-

сп. 1979, № 9

го состояния  $S_2$  и имеющее с ним общий диссоциационный предел. Для состояний с  $^1\Pi_g$ , с  $^1\Sigma_u^-$  и  $B^3\Pi_u$  также впервые получены энергии возбуждений и спектроподобные постоянные. При расчетах на больших межъядерных расстояниях использована ф-ла Давидсона, позволяющая избежать ошибки, вносимой в корреляционную энергию несвязанными диаграммами в ограниченном методе КВ.

А. Дементьев

(RE)

*S<sub>2</sub>* 1979

16 Б27. Двухатомная молекула серы. Низколежащие связанные электронные состояния  $S_2$ . Swope William C., Lee Yuan-Pern, Schaefer Hergert F. III Diatomic sulfur: Low lying bound molecular electronic states of  $S_2$ . «J. Chem. Phys.», 1979, 70, № 2, 947—953 (англ.)

Методами ССП и конфигурац. взаимодействия проведены расчеты 13 электронных состояний молекулы  $S_2$ , соответствующие в приближении Хартри—Фока четырем электронным конфигурациям, с различным заполнением восемью электронами MO  $5\sigma_g$ ,  $2\pi_u$ ,  $2\pi_g$  и  $5\sigma_u$ . Базисный набор составлен из гауссовых функций Хузинаги—Данинга, дополненных поляризац.  $d$ -орбиталями. Отмечено, что без поляризац. функций невозможно правильно описать связанное основное состояние молекулы, тогда как добавление диффузных орбиталей не является необходимым. В методе конфигурац. взаимодействия учтены для каждой основной конфигурации все одно- и двукратно возбужденные конфигурации с участием 12 валентных электронов. В среднем в каждом расчете включалось около 3000 конфигураций. Тем не менее, полученные оценки энергий диссоциации связанных состояний признаны недостаточными из-за недостаточного учета конфигурац.

Харрисон  
Джонс  
Соединенные

2. 1979, 116

взаимодействия. С помощью полиномиальной аппроксимации вычисл. значений энергии определены спектроскопич. постоянные  $r_e$ ,  $B_e$ ,  $\omega_e$  и  $d_e$ . При сопоставлении результатов с эксперим. данными сделано заключение, что средняя погрешность теор. величин для основных частот колебаний составляет 10%, а для равновесных межъядерных расстояний 11%. Применение поправки Давидсона на неучтеннюю корреляц. энергию улучшает согласие с экспериментом. Найдено, что не исследованное ранее экспериментально состояние  ${}^1\Pi_u$  является связанным. Уточнены параметры связанных состояний  $e^1\Pi_g$ ,  $c^1\Sigma_u^-$  и  $B''{}^3\Pi_u$ , необходимые для правильной интерпретации результатов спектроскопич. экспериментов.

А. В. Немухин

мер

1979

52  
Q0129636z Diatomic sulfur: low-lying bound molecular electronic states of S<sub>2</sub>. Swope, William C.; Lee, Yuan-Pern; Schaefer, Henry F., III (Dep. Chem., Univ. California, Berkeley, Calif.). *J. Chem. Phys.* 1979, 70(2), 947-53 (Eng). Results are given of SCF and CI type calcs. on 13 low-lying electronic states of S<sub>2</sub>. The basis set was double zeta quality augmented with polarization functions. The CI space for each electronic state consisted of all configurations constructed from single and double excitations of electrons from the valence orbitals of the Hartree-Fock configuration. There are several significant findings. The discovery is reported of a previously unobsd. and bound <sup>1</sup>H<sub>u</sub> state which lies ~37,000 cm<sup>-1</sup> above the ground state. This state dissoes. to 2 ground state S atoms. New predictions are given of excitation energies and properties

Rb. 201X  
Sect

of the 3 states <sup>c</sup>H<sub>g</sub>, <sup>c</sup>1Σ<sub>u</sub>, and <sup>B'</sup>H<sub>u</sub>. These states were suspected or known to be bound, but exptl. detd. properties were uncertain.

C.A. 1979, 90, N16

$S_2$

Lommel 9638

1980

Chem.  
Phys.

Aboaf - Marguin L;  
Et al

Chem. Phys.; 1980, 48,

M.N.  
numerous  
republic

244 - 282

1980

*S<sub>2</sub>*

*rank 80/61*

*✓ - R*

94: 1S2912v. Franck-Condon factors for the B-X system of diatomic sulfur. Anderson, William R.; Allen, John E., Jr.; Crosley, David R. (Ballistics Res., Army Armament Res. Dev. Command, Aberdeen Proving Ground, MD USA). Report 1980, ARBRL-TR-02262, AD-E430527; Order No. AD-A092376, 43 pp. (Eng). Avail. NTIS. From *Gov. Rep. Announce. Index* (U.S.) 1981, 81(7), 1334. A frequency doubled tunable dye laser was used to selectively excite individual vibrational levels within  $v = 2$  and 6-9 of the B-state of S<sub>2</sub>. Measurements of the intensity in emission of all the terms returning to ground state vibrational levels permit the detn. of abs. Franck-Condon factors. Combined with previous studies, this work completes the set of Franck-Condon factors for bound-bound transitions within the B-X system.

C.A. 1981, 94, N22

1980

отмеч 9938

52

22 Б912. Процессы предиссоциации и релаксации  $B^3\Sigma_u^-$ -состояния  $S_2$  в матрице. Bondybey V. E., English J. H.  $B^3\Sigma_u^-$  predissociation and relaxation processes in matrix isolated  $S_2$ . «J. Chem. Phys.», 1980, 72, № 5, 3113—3122 (англ.)

*предис-  
содисаций*

Методом лазерной УФ-флуоресценции исследуются процессы в состоянии  $B^3\Sigma_u^-$ -молекул  $S_2$ , находящихся в матрице благородных газов.  $B^3\Sigma_u^-$ -состояние заселяется в результате последовательности процессов предиссоциации и рекомбинации нескольких возбужденных электронных состояний. Наблюдаемые спектры аналогичны спектрам, к-рые наблюдаются в экспериментах по исследованию термolumинесценции. Анализ спектров излучения и лазерного возбуждения дают значения спектроскопич. констант нескольких электронных состояний  $S_2$  в тв. Ne. Скорость колебательной релаксации  $B^3\Sigma_u^-$ -состояния характеризуется очень сильной зависимостью от т-ры и возрастающей эффективностью релаксации при уменьшении массы атомов кристалла. Предполагается, что релаксация в  $S_2$  происходит в результате прямых многофононных процессов и, что вращение молекулы не играет существенной роли. В. И. З.

111 - 20 // 2

X. 1980  
N 23

*S<sub>2</sub>*

XII-2047  
Отмеч. 9938

1980

12 Д365. Предиссоциация состояния  $B^3\Sigma_u^-$  и процессы релаксации изолированных в матрице молекул  $S_2$ .  $B^3\Sigma_u^-$  predissociation and relaxation processes in matrix isolated  $S_2$ . Bondybey V. E., English J. H. «J. Chem. Phys.», 1980, 72, № 5, 3113—3122 (англ.)

*предиссоц.*  
*спектр*  
*в матрице.*

В УФ-, ближней ИК- и красной областях спектра исследовано испускание и поглощение молекул  $S_2$ , изолированных в Ne-, Ar-, Kr- и He-матрицах. Обнаружено, что спектры, возникающие при возбуждении состояния  $B^3\Sigma_u^-$  молекулы  $S_2$  и связанные с предиссоциационно-рекомбинационными процессами, очень схожи со спектрами, наблюдаемыми в экспериментах по термолюминесценции. Определены спектроскопич. постоянные для ряда электронных состояний  $S_2$ . Рассмотрены процессы колебательной релаксации  $S_2(B^3\Sigma_u^-)$  и высказано предположение, что релаксация в  $S_2(B)$  происходит посредством прямых многофононных процессов. Библ. 43.

А. В. Н.

ф. 1980 № 12

December 1980

1980

-S<sub>2</sub>

92: 206434c  $B^3\Sigma_u^-$  predissociation and relaxation processes in matrix-isolated diatomic sulfur. Bondybey, V. E.; English, J. H. (Bell Lab., Murray Hill, NJ 07974 USA). *J. Chem. Phys.* 1980, 72(5), 3113-22 (Eng). Spectroscopy of S<sub>2</sub> in rare gas solids is re-examined. Excitation of the  $B^3\Sigma_u^-$  state populates by predissocn.-recombination sequence several excited electronic states, which can then be characterized by their fluorescence spectra. The obsd. spectra are quite analogous to those obsd. in thermoluminescence expts. Anal. of the emission and laser excitation spectra yields the spectroscopic consts. of several electronic states of S<sub>2</sub> in solid Ne. The data provide "direct evidence that the lowest  $a^1\Delta_g$  state is located in this matrix 4395 cm<sup>-1</sup> above the ground state. Vibrational relaxation within the  $B^3\Sigma_u^-$  state was examined. It exhibits a very steep rate dependence on temp. and enhanced relaxation efficiency with decreasing mass of the host atoms. Relaxation in S<sub>2</sub> may be due to a direct multiphonon process, and unlike relaxation in light hydride mol., the mol. rotation is unimportant.

in progress

XII-2042

CA 1980 92 n24

*S<sub>2</sub>*

1980

7 Д1263. Изучение суперлюминесценции в  $S_2(^3\Sigma_u^- - ^3\Sigma_g^-)$  при накачке N<sub>2</sub>-лазером. Study of superfluorescence in  $S_2(^3\Sigma_u^- - ^3\Sigma_g^-)$  produced by N<sub>2</sub> laser pumping.  
Girardeau-Montaut J.-P., Moga G. «Proc. Soc. Photo-Opt. Instrum. Eng.», 1980, 236: Eur. Conf. Opt. Syst. and Appl., Utrecht, Sept. 23—25, 1980, 345—349 (англ.) Место хранения ГПНТБ СССР

Сообщается о наблюдении суперлюминесценции на излучательном переходе  $^3\Sigma_u^- - ^3\Sigma_g^-$  молекул S<sub>2</sub> при накачке азотным импульсным лазером. Излучение азотного лазера, содержащее ~50 линий в спектральном интервале 336,5—337,14 нм, возбуждает одновременно не-

суперлюминесценцию

9.1983, 18, № 7

сколько переходов молекулы  $S_2$  ( $v''=2, 3, 4, - v'=0, 1, 2$ ). Идентифицированы наблюдаемые линии суперлюминесценции молекул  $S_2$  и изучены зависимости интенсивности отдельных компонент суперлюминесценции от т-ры и от энергии возбуждения. Несмотря на мешающее влияние реабсорбции излучения молекулами  $S_3$ , квантовый выход суперлюминесценции составил  $\sim 3\%$ . Отмечено, что оптимизация параметров накачки и геометрии активной среды позволит значительно улучшить характеристики процесса преобразования излучения.

В. С. З.

1980

S<sub>2</sub>

M, N.

93: 34344n UV absorption and fluorescence spectroscopies of sulfur vapor with determination of the vibrational constants of S<sub>2</sub> molecules. Kong, Hong Jin; Lee, Sang Soo (Dep. Basic Sci., Korea Adv. Inst. Sci., Seoul, S. Korea). *J. Korean Phys. Soc.* 1980, 13(1), 21-9 (Eng). The temp. dependent absorption spectroscopy of S vapors, a mixt. of S<sub>x</sub> ( $x = 2, 3, \dots, 8$ ), was carried out in the temp. range from 400 up to 900°. At temps. above the b.p. of S, a new absorption takes place in a broad spectral region, 3600 - 4400 Å. This absorption, due to S<sub>x</sub> ( $x = 3, 4, \dots, 8$ ), increases with temp. up to  $\approx 700^\circ$ , then starts decreasing, and finally at 900° it disappears almost completely. Meanwhile the broad band spectrum due to the S<sub>2</sub> mol. and located around  $\lambda = 3340$  Å remains const. through these temps. The S<sub>2</sub> band spectrum is thus identified without ambiguity in the absorption spectrum obtained at 800°, and from the 8 obvious absorption peaks measured the vibrational consts. are detd. by the least square method. In this detn., the rotational energy of the mol. at the higher temp. is taken into account. The consts. thus obtained are  $T_0 = 31,852$  cm<sup>-1</sup>,  $w_0'' = 709.3$ ,  $w_0'''x_0''' = 0.6375$ , for X<sup>3</sup>Σ<sub>g</sub><sup>-</sup>, and  $w_0' = 467.5$ ,  $w_0'x_0' = 12.04$ , for B<sup>3</sup>Σ<sub>g</sub><sup>+</sup>.

CA 1980 93 n 4

10/80

*S<sub>1</sub>*  
*S<sub>2</sub>*

2 Д545. Метод измерения вращательной температуры двухатомной серы, возбужденной в микроволновом разряде. Technique for measuring rotational temperature of microwave excited diatomic sulfur. Merchant V. E., Andrews M. L. «Appl. Opt.», 1980, 19, № 18, 3113—3117 (англ.)

Измерен спектр излучения молекулы S<sub>2</sub>, возбужденной в безэлектродном микроволновом разряде. Изложена процедура определения вращательной температуры молекул в разряде по сопоставлению измеренных и вычислен-

*спектр излучения*

ных неразрешенных вращательных контуров колебательных полос электронного перехода, которая применена к полосе  $v^1=8 - v''=0$  электронного перехода  $B^3\Sigma - X^3\Sigma - S_2$ . Показано, что при определенных условиях вращательную температуру можно оценить по ширине вращательного контура колебательной полосы.

М. Р. Алиев

9/1981.12

*S<sub>2</sub>*

Omnidata 10486

1980

*61, 71,*

V93: 158413s Stable pure sulfur discharges and associated spectra. Peterson, D. A.; Schlie, L. A. (Air Force Weapons Lab., Kirland AFB, NM 87117 USA). *J. Chem. Phys.* 1980, 73(4), 1551-66 (Eng). Stable, self-sustained discharges in pure S and He-S mixts. were achieved for the 1st time, at operating temps. between 0 and 250°. Very intense S<sub>2</sub> (*B-X*) band emission was obsd. No other at. or mol. emission was detected. This result indicates that S<sub>6</sub> mols. are broken directly into S<sub>2</sub> mols. and thus provides the potential for highly efficient discharge pumping of the (*B-X*) S<sub>2</sub> laser transition at much lower operating temps. (<300°) than previously thought. The S<sub>2</sub> (*B-X*) band emission was examd. in great detail, and through the anal. of these spectra, the ground electronic state spectroscopic consts. were detd. to the 4th order. These are  $\omega_e'' = 727.848 \text{ cm}^{-1}$ ,  $\omega_{exe}'' = 3.0195 \text{ cm}^{-1}$ ,  $\omega_{eye}'' = 4.196 \times 10^{-3} \text{ cm}^{-1}$ ,  $\omega_{ez_e}'' = 9.77 \times 10^{-6} \text{ cm}^{-1}$ . The 1st observation of the  $B''^3\pi_u - X_3\Sigma_g^-$  system transitions was also made, and tentatively identified. Potential energy curves for both the  $X^3\Sigma_g^-$  and  $B^3\Sigma_u^-$  states are reported.

C.A. 1980, 93, N16

1980

S<sub>2</sub>

ЗД621. Исследование параметров стабильного разряда в чистой сере и его спектра. Stable pure sulfur discharges and associated spectra. Peterson D. A., Schlie L. A. «J. Chem. Phys.», 1980, 73, № 4, 1551—1566 (англ.)

III, 17.

Впервые получен и исследован стабильный при низких т-рах электрич. разряд в парах чистой серы. Разряд получен в импульсном и непрерывном режимах при т-ре 0 до 250°С, что соответствует давлению 10<sup>-5</sup>—10<sup>-8</sup> мм рт. ст. Обнаружено, что в таком разряде происходит эффективное прямое преобразование молекул S<sub>8</sub> в молекулы S<sub>2</sub> и как следствие этого — возбуждение перехода  $B^3\Sigma_u^- - X^3\Sigma_g^-$  в S<sub>2</sub>, который используется для получения лазерного эффекта. Детально исследуется структура спектра данного перехода, определены спектроскопич. константы основного состояния  $X^3\Sigma_g^-$  вплоть до четвертого порядка:  $\omega_e'' = 727,848 \text{ см}^{-1}$ ;  $\omega_{ex_e}'' = 3,0195 \text{ см}^{-1}$ ;  $\omega_{ey_e}'' = 4,196 \cdot 10^{-3} \text{ см}^{-1}$ ;  $\omega_{ez_e}'' = 9,77 \cdot 10^{-6} \text{ см}^{-1}$ . С использованием полученных эксперим. данных построены потенц. кривые состояний  $B^3\Sigma_u^-$  и  $X^3\Sigma_g^-$ . Зарегистрирован и отождествлен спектр перехода  $B''^3\Pi_u - X^3\Sigma_g^-$  в S<sub>2</sub>. Библ. 43.

С. Ч.

φ. 1981 N 3

записан 10.9.80

Отм. № 10486 1980

S<sub>2</sub>

5 Б184. Устойчивые разряды в чистой сере и связанные с ними спектры. Peterson D. A., Schlie L. A. Stable pure sulfur discharges and associated spectra. «J. Chem. Phys.», 1980, 73, № 4, 1537—1566 (англ.)

Получены стабильные, самонезатухающие разряды в парах чистой серы и смеси серы с гелием при т-ре оптич. ячееки 0—250° (давл. паров серы 10<sup>-5</sup>—8 мм). Температуры, при которых, как оказалось, возможно наблюдать стабильные разряды значительно ниже, чем считалось ранее. Описана схема установки и некоторые детали эксперимента. Возбуждение осуществлялось как в импульсном, так и в непрерывном режимах. В спектрах наблюдалась очень интенсивная и развитая система полос связанных с переходом  $B^3\Sigma_u^+ \rightarrow (v=0-9) - X^3\Sigma_g^-$  ( $v''=0-32$ ) S<sub>2</sub> в области 2830—8740 Å. Кроме того, наблюдалась система полос, отнесенная к переходу  $B''^3\Pi_u^- \rightarrow (v'=0-6) - X^3\Sigma_g^-$  ( $v''=0-21$ ) S<sub>2</sub> (2810—5115 Å). Никаких др. атомных или молек. пере-

2.1981.115

ходов в спектре испускания не обнаружено. Рассмотрены схемы возможных процессов образования возбужденных молекул  $S_2$ . Полученные данные свидетельствуют о том, что молекулы  $S_2$  образуются при возбуждении непосредственно из молекул  $S_8$ , являющимися основным компонентом газовой фазы при указанных т-рах. Проведен анализ колебательной структуры систем В—Х и получены следующие значения (в  $\text{см}^{-1}$ ) колебательных постоянных основного состояния молекулы  $S_2$ :  $\omega_e'' = 727,848$ ,  $\omega_e''x_e'' = 3,0195$ ,  $\omega_e''y_e'' = 4,196 \cdot 10^{-3}$ ,  $\omega_e''z_e'' = 9,77 \cdot 10^{-6}$ . Приведены значения  $T_e(v')$  и  $\Delta G_{v+1/2}'$  для состояний  $B^3\Sigma_u^-$  ( $v' = 0-9$ ) и  $B''^3\Pi_u^-$  ( $v' = 0-6$ ). Для колебательных уровней состояния  $X^3\Sigma_g^-$  ( $v'' = 0-32$ ) и  $B^3\Sigma_u^-$  ( $v' = 0-9$ ) рассчитаны логоритмические потенциальные кривые и значения  $G(v'')$  и  $G(v')$ .

В. М. Ковба



*S<sub>2</sub>*

*envelope 11125*

*1980*

*Kb. - like  
faster*

94: 55006c Ab initio calculations on the  $^3\Sigma_g^-$ ,  $^1\Sigma_g^+$ ,  $^3\Pi_g$ , and  $^1\Pi_g$  symmetries of diatomic sulfur: valence, ion pair, and Rydberg states. Saxon, Roberta P.; Liu, B. (Mol. Phys. Lab., SRI Int., Menlo Park, CA 94025 USA). *J. Chem. Phys.* 1980, 73(10), 5174-81 (Eng). CI calcns. were performed for  $^3\Sigma_g^-$ ,  $^1\Sigma_g^+$ ,  $^3\Pi_g$ , and  $^1\Pi_g$  states of  $S_2$ . The lowest diabatic Rydberg state for each symmetry is presented. Spectroscopic parameters for the bound  $X$   $^3\Sigma_g^-$  and  $b$   $^1\Sigma_g^+$  states and for the Rydberg states are given. Limited test calcns. are reported. The implications of these potential curves for the rate of quenching of  $S$  ( $^1S$ ) in collision with another  $S$  ( $^1S$ ) are discussed.

*C.A. 1981.2418*

Лоттишк 11125 1980

$S_2$

6 Д105. Неэмпирический расчет состояний симметрии  $^3\Sigma_g^-$ ,  $^1\Sigma_g^+$ ,  $^3\Pi_g$  и  $^1\Pi_g$  молекулы  $S_2$ . Состояния ионных пар, валентные и ридберговы состояния. Ab initio calculations on the  $^3\Sigma_g^-$ ,  $^1\Sigma_g^+$ ,  $^3\Pi_g$ , and  $^1\Pi_g$  states of  $S_2$ . Valence, ion pair, and Rydberg states. Saxon Roberta P., Liu B. «J. Chem. Phys.», 1980, 73, № 10, 5174—5181 (англ.)

Для молекулы  $S_2$  методом конфигурац. взаимодействия рассчитаны потенц. кривые и спектроскопич. постоянные электронных состояний типов  $^3\Sigma_g^-$ ,  $^1\Sigma_g^+$ ,  $^3\Pi_g$  и  $^1\Pi_g$ . Базис АО включал 78 слэтеровских орбиталей типов  $s$ ,  $p$  и  $d$ . При построении конфигураций рассматривались все возможные распределения 12 электронов на МО валентной оболочки, а также конфигурации с возбуждением одного электрона на виртуальную МО. Всего использовано 6702 конфигурации для симметрии  $^3\Sigma_g^-$ , 4507 — для  $^1\Sigma_g^+$ , 11 378 — для  $^3\Pi_g$ , 7482 —  $^1\Pi_g$ . Потенц. кривые построены в районе.

кв. мес.  
расчет

9.1981.№

изменения межъядерного расстояния  $S_2$  от 2,9 до 30 ат. ед. Полученные результаты использованы для обсуждения возможных каналов и скорости реакции столкновения атомов S ( ${}^1S$ ). Начальный канал этой реакции соответствует состоянию  ${}^1\Sigma_g^+$  молекулы  $S_2$ . Оценка матричных элементов спин-орбитального взаимодействия между состоянием  ${}^1\Sigma_g^+$  и состояниями  ${}^3\Pi_g$  и  ${}^3\Sigma_g^-$  указывает, что скорость реакции самозахвата S( ${}^1S$ ) мала ( $\ll 10^{-12} \text{ см}^3 \cdot \text{сек}^{-1} \cdot \text{молекул}^{-1}$ ).

А. И. Дементьев



*S<sub>2</sub>*

*Кб. неех.  
рассел*

*д. 1981. N/2*

12 Б36. Неэмпирические расчеты состояний  $\Sigma_g^+$ ,  $^1\Sigma_g^+$ ,  $^3\Pi_g$  и  $^1\Pi_g$   $S_2$ . Валентные, ионные и ридберговы состояния. Saxon Roberta P., Liu B. Ab initio calculations on the  $^3\Sigma_g^-$ ,  $^1\Sigma_g^+$ ,  $^3\Pi_g$  and  $^1\Pi_g$  symmetries of  $S_2$ : Valence, ion pair, and Rydberg states. «J. Chem. Phys.», 1980, 73, № 10, 5174—5181 (англ.)

Методом конфигурац. взаимодействия (КВ) рассчитаны потенциальные кривые молекулы  $S_2$  симметрий  $^3\Sigma^-$ ,  $^1\Sigma^+$ ,  $^3\Pi_g$  и  $^1\Pi_g$ . Использован базис слейтеровских орбиталей  $s$ -,  $p$ - и  $d$ -типа с частичной оптимизацией показателей экспонент по энергиям атома МО для КВ получены при расчетах основного состояния  $X^3\Sigma^-$  многоконфигурац. методом ССП. Рассмотрены несколько вариантов отбора конфигураций для КВ. Для каждого рассмотренного типа симметрии выделены валентные состояния, а также состояния, диссоциирующие на ионную пару и ридберговы состояния, трактовка к-рых осуществлялась по описанной ранее методике (см. «J. Chem. Phys.», 1980, 73, 870). Представлены результаты расчетов спектроскопич. постоянных для связанных состояний. Проведено сопоставление с данными расчетов  $O_2$  в близком по качеству приближении. На основании полученных данных сделан вывод, что скорость столкновительного самотушения  $S(^1S)$  мала. А. В. Немухин

S<sub>2</sub>

1980

Fossell J. A., et al.  
J. Phys. Chem. Solids, 1980  
41(11), 1047-52

Ref. circ.  
racr.  
Te; De

corr. O<sub>2</sub><sup>-</sup>- $\bar{V}$

$S_2^{1/2}$

XII-2050

1980

Trsic M., Laidlaw W.B.,

ab initio  
pracem Int. J. Quantum. Chem.,  
1980, 14, N.S, 969-974.

S<sup>1</sup>  
S<sub>2</sub>

Omnuck 15282

1980

one kmp,  
 $^3\Sigma_u^- \leftarrow X ^3\Sigma_g^-$

Verkitachalan T.V.,  
Krishnamachari S.N.

Indian J. Phys.,  
1980, B54, N4-5,



282-285

S<sub>2</sub>

[Review 12815] 1981

Dzgop, Bohm H.C., Gleiter R.  
meopsej.  
pacreej.  
llolosyj.  
opbnjauj,  
zeocuejspej

Theor. chim. acta,  
1981, 59(2), 153-179.

S<sub>2</sub>

1981

Cook Garei, et al.

4. k. erweit.

6 Maipuse

J. Chem. Phys., 1981,  
74, N<sup>o</sup> 2, 841-848.

(cu<sub>1</sub>.SO<sub>2</sub>; III).

1981

S<sub>2</sub>

95: 70430a Study of superfluorescence in sulfur (S<sub>2</sub> (<sup>3</sup>Σ<sub>u</sub>-<sup>3</sup>Σ<sub>g</sub>)) produced by nitrogen laser pumping. Girardeau-Montaut, J. P.; Moreau, G. (Groupe Electro-Opt., Univ. Orleans, 18028 Bourges, Fr.). Proc. SPIE-Int. Soc. Opt. Eng. 1980 (Pub. 1981). 236(Eur. Conf. Opt. Syst. Appl., 1980), 345-9 (Eng). Superfluorescence was obsd. from the <sup>3</sup>Σ<sub>u</sub>-<sup>3</sup>Σ<sub>g</sub> transition in S<sub>2</sub> mols. pumped by a N<sub>2</sub> laser. The laser intensities were scaled for various exptl. conditions and an anal. of the results is proposed. From this, the laser cross-section was estd. as ~10<sup>-12</sup> cm<sup>2</sup>.

<sup>3</sup>Σ<sub>u</sub>-<sup>3</sup>Σ<sub>g</sub>

CA 1981, 95, N 8

S<sub>2</sub>

1998

130: 159848g Potential energy function and spectrum constants for the B"  $^3\Pi_u$  state of S<sub>2</sub>. Tang, Yong-Jian; Zhao, Yong-Kuan; Zhu, Zheng-He; Fu, Yi-Bei (Atomic and Molecular Physical Inst. of

Sichuan Union Univ., Chengdu, Peop. Rep. China 610065). *Wuli Xuebao* 1998, 47(10), 1600–1605 (Ch), Kexue Chubanshe. A reasonable dissocn. limit of B"  $^3\Pi_u$  state of mol. sulfur (S<sub>2</sub>) has been derived, and a potential energy curve of B"  $^3\Pi_u$  and X  $^3\Sigma_g^-$  states of S<sub>2</sub> has been calcd. by using Gaussian 94 QCISD(T) method and the 6-311 ++ G\*\* basic set function. The Murrell-Sorbie potential energy function and spectrum consts. are given. Because B"  $^3\Pi_u$  state overlap extensively with B  $^3\Sigma_u^-$  state in the repulse branch and B"  $^3\Pi_u$  and X  $^3\Sigma_g^-$  states have the same dissoc. limits, they have an overlap in the attract branch. In this paper, the interaction characteristics of B"  $^3\Pi_u$ , B  $^3\Sigma_u^-$  and X  $^3\Sigma_g^-$  states have also been discussed.

(B"  $^3\Pi_u$ , d. n.)

C.A. 1999, 130, n12

1997

fd

24Б1521. Верхние колебательные состояния в электронном состоянии  $B''^3\Pi_u - ^{32}S_2$ . Upper vibrational states of the  $B''^3\Pi_u$  state of  $^{32}S_2$  / Crean M. E., Western C. M. // J. Chem. Soc. Faraday Trans.— 1997.— 93, № 3.— С. 365–372.— Англ.

Получена ФЛ молекулярного пучка  $^{32}S_2$  на переходах  $B''^3\Pi_u - X^3\Sigma_g^-$  и  $B^3\Sigma_u^- - X^3\Sigma_g^-$  в областях 34 665–34 685 и 35 720–35 780  $\text{см}^{-1}$ . Времена жизни колебат. уровней  $v' = 12 - 21$   $B''^3\Pi_u$  равны 4130–2313 нс. Определены значения термов  $B''^3\Pi_u$  и  $B^3\Sigma_u^-$  до предела предиссоциации и пределы диссоциации на атомные термы. Вычислены вращат. постоянные и параметры взаимодействия для состояний  $v' = 12 - 21$   $B''^3\Pi_u$  и  $v' = 7 - 10$   $B^3\Sigma_u^-$ .

М. А. Ковнер

Х. 1997, № 24

*1000*

F: S2

P: 3

133:125510 Ab initio studies for S2 molecule.

Liu, Wen-Wang; Wang, Zhen Department of  
Physics, Liaoning Normal University Dalian 116029,  
Peop. Rep. China Yuanzi Yu Fenzi Wuli Xuebao,  
17(2), 309-313 (Chinese) 2000. Some singlet and  
triplet excited states are studied with the CIS and CIS-  
MP2 methods with the Gaussian 94 Package. This  
technique is easy and quite successful to apply to low  
singlet states of the S2 mol., but it needs improvement  
for calcns. for triplet and highly excited states.

S<sub>N</sub>

[Om. 41134]

2881

(N=2-12)

CMP-PA,  
ab initio  
racem

S. Millefiori and A. Alparone,  
J. Phys. Chem. 2001, 105 A,  
9489-9497.

*S<sub>2</sub>*

Оттиск 12058

1981

2 Б216. Спектры возбуждения флуоресценции, времена жизни и тушение  $S_2(B^3\Sigma_u^-)$  в области длин волн 280—315 нм. Quick C. R., Weston Ralph E. Fluorescence excitation spectra, lifetimes, and quenching of  $S_2(B^3\Sigma_u^-)$  in the wavelength region 280—315 nm). «J. Chem. Phys.», 1981, 74, № 9, 4951—4959 (англ.)

Для молекулы  $S_2$  измерены (с разрешением  $0,5 \text{ см}^{-1}$ ) спектры возбуждения флуоресценции (область 280—315 нм, переход  $B^3\Sigma_u^- \rightarrow X^3\Sigma_g^-$ ) и определены времена жизни ( $\tau$ ) в состояниях  $B^3\Sigma_u^- (v \leq 10)$ . Исследовано тушение флуоресценции  $S_2(B)$  аргоном ( $p \sim 1—400 \text{ мм}$ ). Использован лазер на красителе с удвоением частоты. В состояниях с  $v' \leq 8$ , возбуждаемых в области начала полос  $q'' = 1 - v'$ , величина  $\tau$  составляет 30—45 нсек. Для состояния  $v' = 9$  наблюдается уменьшение  $\tau$  ( $112 \rightarrow 10$  нсек) по мере удаления от начала полосы 0—9, а при некоторых длинах волн — двойной экспоненциальный распад. Несмотря на то, что уровень  $v' = 10$  предиссоциирован, в спектре об-

*D<sub>i</sub>*

X. 1982, 19 АБ, № 2.

наружены слабые пики в области полосы 0—10 с очень коротким ( $<3$  нсек) временем жизни. В спектрах наблюдаются также малоинтенсивные пики со значительно большим временем жизни ( $\sim 100$  нсек) чем  $\tau$  ( $v' \leq 8$ ), связанные, как предполагается, с состоянием  $B''^3\Pi_u$ . Тушение флуоресценции аргоном исследовано для уровней  $v'=3$  и 9. Константы скорости ( $k$ ) тушения при  $600^\circ$  равны соотв.  $2,2 \cdot 10^6$  и  $9,5 \cdot 10^6$  сек $^{-1}$  мм $^{-1}$ . Флуоресцентный распад при этом носит сложный характер (двух и трехкомпонентный), к-рый может быть объяснен, во-первых, увеличением вклада флуоресценции из состояния  $B''$  (что связано с взаимодействием состояний  $B''$  и  $B$  при столкновениях) и, во-вторых, вызван существованием других близколежащих долгоживущих состояний, например  $A'^3\Delta_u$ . Найденные величины  $\tau$  и  $k$  хорошо согласуются со значениями полученными ранее авторами с использованием широкополосного источника возбуждения («J. Chem. Phys.», 1978, 68, 1736).

В М Ковба

al b

1998

32

129: 295405s Potential energy function and vibrational spectrum for the  $X^3\Sigma_g^-$  and the  $B^3\Sigma_u^-$  of  $S_2$ . Tang, Yongjian; Gao, Tao; Wang, Hongyan; Liu, Xiaoyan; Yi, Yougen; Zhu, Zhenghe; Zhao, Yongkuan (Atomic Mol. Phys., Inst. Sichuan Union Univ., West, Peop. Rep. China 610065). Yuanzi Yu Fenzi Wuli Xuebao 1998, 15(2), 159–166 (Ch), Yuanzi Yu Fenzi Wuli Xuebao Bianjibu. The Murrell–Sorbie function of the ground state  $X^3\Sigma_g^-$  for  $S$  mol.  $S_2$  was calcd. by spectroscopic data and QCISD(T)/6-311++G\*\* method, resp., which are in agreement in repulsive branch, however, there is a shallow max. in attractive branch. This may be due to the removal of multiplicity or  $\Lambda$ -double degeneracy caused by the interaction of  $X^3\Sigma_g^-$  and  $^3\Pi_u^-$ . The Deslandres Table and the Franck–Condon Parabola between  $B^3\Sigma_u^-$  ( $v \leq 9$ ) –  $X^3\Sigma_g^-$  ( $v \leq 30$ ) are also given in which both states are based on spectroscopic data. This project is closely related with emission from  $S_2(B-X)$  transition.

$(X^3\Sigma_g^-, B^3\Sigma_u^-)$   
Murrell & Sorbie

C.A. 1998, 129, v22

*S<sub>2</sub>*

EMMELLE 12058 1981

194: 216865z Fluorescence excitation spectra, lifetimes, and quenching of diatomic sulfur ( $B^3\Sigma_u^-$ ) in the wavelength region 280–315 nm. Quick, C. R., Jr.; Weston, Ralph E., Jr. (Dep. Chem, Brookhaven Natl. Lab., Upton, NY 19973 USA). *J. Chem. Phys.* 1981, 74(9), 4951–9 (Eng). Fluorescence lifetimes were detd. for S<sub>2</sub> vapor excited to the  $B^3\Sigma_u^-$  state at 280–315 nm, with a spectral resoln. of  $\sim 0.5\text{ cm}^{-1}$ . For states with  $v' \leq 8$ , excitation in the bandhead region leads to fluorescence lifetimes of  $\sim 30\text{--}45\text{ ns}$ . In addn., low-intensity peaks with much longer lifetimes were obsd. throughout the absorption spectrum. The decreased intensity and increased lifetime were attributed to perturbations by the  $B''^3\pi_u$  state. For the  $v' = 9$  state, lifetimes generally decrease as the excitation wavelength moves away from the bandhead and at some wavelengths a double exponential decay was obsd. Although the  $v' = 10$  state is known to predissociate, weak fluorescence peaks with very short lifetimes ( $<3\text{ ns}$ ) were obsd. The addn. of Ar as a quenching gas leads to complex fluorescence decay curves with 2 or 3 components for both  $v' = 3$  and  $v' = 9$  states. Lifetimes and quenching rate consts. obtained in this work agree with those measured previously in this lab. using a broad-band excitation source.

*checkmp  
of my notes*

C.A. 1981, 94 N 26

$S_2$

Omnuck 12295

1981

95: 123335g Fluorescence of  $S_2(B-X)$  excited by fixed frequency ultraviolet lasers. Smith, Allan L.; Hopkins, John B. (Chem. Dep., Drexel Univ., Philadelphia, PA 19104 USA). *J. Chem. Phys.* 1981, 75(5), 2080-4 (Eng). Fluorescence spectra from rotational levels in the  $B^3\Sigma_u^-$  state of disulfur excited by pumping the ground state with a continuous wave He-Cd laser (325 nm) and with a pulsed N laser (337 nm) were studied. The He-Cd laser excites the transition ( $v' = 3, N' = 24, J' = 25$ )  $\leftarrow$  ( $v'' = 3, N'' = 25, J'' = 26$ ), or (3,3) $P_1(25)$ . A comparison of high resoln. spectra of the N laser and of  $S_2$  shows that several transitions in the (2,4) band could be excited:  $R_3(23)$ ,  $P_2(13)$ ,  $R_2(21)$ , and  $R_3(25)$ .

CREWMP  
OPNYOP:

C.A. 1981, 95, N14.

*S<sub>1</sub>*  
*S<sub>2</sub>*

Омск 12295 1981

З Д729. Флуоресценция  $S_2(B-X)$ , возбуждаемая УФ-лазерами с фиксированной частотой. Fluorescence of  $S_2(B-X)$  excited by fixed frequency ultraviolet lasers. Smith Allan L., Hopkins John B. «J. Chem. Phys.», 1981, 75, № 5, 2080—2084 (англ.)

Исследована флуоресценция  $S_2(B-X)$ , возбуждаемая излучением непрерывного He—Cd (325 нм) или импульсного N<sub>2</sub> (337 нм) лазеров. Показано, что частота излучения He—Cd-лазера совпадает с частотой перехода ( $v'=3, N'=24, J'=25$ )  $\leftarrow$  ( $v''=3, N''=25, J''=26$ ) или (3,3) $P_1(25)$ . Сопоставление спектров (высокого разрешения) излучения N<sub>2</sub>-лазера со спектром поглощения молекулы S<sub>2</sub> показало, что N<sub>2</sub>-лазер может возбуждать флуоресценцию  $S_2(B-X)$  за счет переходов  $R_3(23)$ ,  $P_2(13)$ ,  $R_2(21)$  и  $R_3(25)$  в полосе (2,4). Библ. 33.

В. С. И.

φ. 1982, 18, N3.

S<sub>2</sub>

Отмск 12295 1981

5 Б165. Флуоресценция  $S_2(B-X)$ , возбуждаемая ультрафиолетовыми лазерами с фиксированной частотой.  
Smith Allan L., Hopkins John B. Fluorescence of  $S_2(B-X)$  excited by fixed frequency ultraviolet lasers.  
«J. Chem. Phys.», 1981, 75, № 5, 2080—2084 (англ.)

Исследована система  $B^3\Sigma_u^- - X^3\Sigma_g^-$  в спектре флуоресценции молекулы  $S_2$  с целью превильного отнесения по  $I$ -переходам возбуждаемых импульсным азотным лазером и He—Cd-лазером непрерывного действия ( $\lambda_{\text{возб}}$  соотв. 337 и 325 нм). При отнесении возбуждаемых переходов использованы следующие значения молекуллярных постоянных  ${}^{32}\text{S}$  ( $X^3\Sigma_g^-$ ) (в  $\text{см}^{-1}$ ):  $B_v'' = 0,295413 - 1,579 \cdot 10^{-3} (v+1/2) - 1,387 \cdot 10^{-6} (v+1/2)^2$ ,  $\lambda_v'' = 11,818 + 0,0496(v+1/2) + 2,4 \cdot 10^{-3}(v+1/2)^2$ ,  $\gamma_v'' = -6,59 \cdot 10^{-3} - 1,26 \cdot 10^{-4}(v+1/2)$ ,  $D_v'' = 2,148 \cdot 10^{-7} - 5,0 \cdot 10^{-10}(v+1/2)$ ,  $\omega_e'' = 725,65$ ,  $\omega_{ex_e}'' = 2,844$  (I. M. Ricks, Ph. D. Thesis, Oxford University, 1970). Найдено, что излучение He—Cd-лазера возбуждает переход  $(3,3)P_1(25)$  ( $v'=3$ ,  $N'=24$ ,  $I'=25 - v''=3$ ,  $N''=25$ ,  $I''=26$ ), а излучение  $N_2$

Х. 1982, 19, N5.

лазера может возбуждать переходы в полосе 2—4  
 $R_3(23)$ ,  $R_2(13)$ ,  $R_2(21)$ ,  $R_3(25)$ , совпадающие с точно-  
стью лучше, чем  $0,1 \text{ см}^{-1}$  с линиями  $P_1(6)$ ,  $P_1(9)$ ,  
 $P_2(11)$ ,  $P_3(12)$  полосы 0—0 перехода  $C^3\Pi_u - B^3\Pi_g$   $N_2$ .  
В. М. Ковба

S<sub>2</sub>

[Ottmarck 11883]

1981

Stacmann et al.

rb.-ex.  
process,

Theor. chm. rete

ΔE(ST)

1981, 59, 501-515.



S<sub>2</sub>

[Omnitech 11839] 1981

Theodorakopoulos G; et al.

ICB, see ex.  
paper

(D0)

Chem. Phys. Lett.  
1981, 81(3), 413-420.

$S_2$

1982

Boeyens Jan C. A.

Do, u.n. J. Crystallogr. and  
Spectrosc. Res., 1982,  
12, N3, 245-254.

(crys.  $C_2H_4$ ; III)

S  
22

DM. 37807

1982

Mucciani, Crosley D.R.,

Crespi

Fumagalli - J. Chem. Educ., 1982, 59, N<sup>o</sup> 6,  
 $B^{35}_{2u} - X^{35}_S$  446-455.

Laser-Induced  
spectroscopy,  
and Diagnos-  
ti

Fluorescence in  
Dynamics,  
Cs.

*S<sub>d</sub>*

1982

*спектр*

24 Б166. Детектирование  $S_2$  путем магнитной перестройки атомной линии испускания хрома (1+). Cuellag E., Brown N. J. Detection of  $S_2$  by magnetic tuning of a chromium (I) atomic emission line. «J. Phys. Chem.», 1982, 86, № 11, 1966—1969 (англ.)

Предложен спектроабсорбционный метод определения содержания  $S_2$  в парах с использованием атомарного источника излучения, помещенного в магнитное поле изменяемой напряженности, в к-ром производится перестройка зеемановских компонент линия  $Cr(1+) \lambda=3018$  Å. Измеряли дифференциальное поглощение, (ветви вращательной структуры полосы 7—2 системы  $B^3\Sigma_u^- - X^3\Sigma_g^- - S_2$ ), как функцию напряженности магнитного поля. Удалось разрешить несколько близколежащих вращательных линий, принадлежащих различным ветвям (достигнутое разрешение  $6 \cdot 10^4$ ). Еще большее разрешение может быть достигнуто с использованием линии  $Mn(2+) \lambda=2928,63$  Å.

В. М. Ковба

X. 1982, 19, № 24

1982

S<sub>1</sub>  
S<sub>2</sub>

12 Д775. Детектирование S<sub>2</sub> с помощью магнитной перестройки атомной эмиссионной линии хрома(I). Detection of S<sub>2</sub> by magnetic tuning of a chromium(I) atomic emission line. Cuellar E., Brown N. J. «J. Phys. Chem.», 1982, 86, № 11, 1966—1969 (англ.)

Новый способ, называемый молекулярной спектроскопией с перестройкой атомной линии (TALMS), использован для детектирования S<sub>2</sub> по поглощению атомной эмиссионной линии Cr (I) на длине волны 3018 Å. Линия хрома расщеплялась на зеемановские компоненты при помещении источника света (дуговая лампа) в магн. поле, изменением напряженности которого осуществлялось их сканирование. Проводилось измерение диффер. поглощения S<sub>2</sub> в окрестности линии хрома как ф-ции напряженности магн. поля. Достигнуто разрешение нескольких близко расположенных линий, относящихся к различным ветвям, которые обусловлены тройным расщеплением в полосе (7,2) системы  $B^3\Sigma_u^- - X^3\Sigma_g^-$  серы S<sub>2</sub>. Полученное разрешение составило более чем ~~6·10<sup>-4</sup>~~. Библ. 32.

Г. И. Беков

$B^3\Sigma_u^- - X^3\Sigma_g^-$   
оп. 1982, 18,  
N 12

$S_2$

1982

96: 207704k Detection of  $S_2$  by magnetic tuning of a chromium(I) atomic emission line. Cuellar, E.; Brown, N. J. (Lawrence Berkeley Lab., Berkeley, CA 94720 USA). *J. Phys. Chem.* 1982, 86(11), 1966-9 (Eng). A technique called tunable at. line mol. spectroscopy (TALMS) was utilized to detect  $S_2$  by absorption of a Cr(I) at. emission line at 3018 Å. The Cr line was split into Zeeman components, and a differential absorption measurement was obtained as a function of magnetic field strength. Several closely spaced lines belonging to different branches which result from the triplet splitting in the (7,2) band of the  $B^3\Sigma_u^- - X^3\Sigma_g^-$  system of  $S_2$  were resolved. A resoln.  $> 6 \times 10^4$  was demonstrated.

$B^3\Sigma_u^- - X^3\Sigma_g^-$

Hobart  
CNEKMP. UETB

C. A. 1982, 96, N 24.

S<sub>d</sub>

Отиск 14937 1982

4 Б1388. Спектры флуоресценции и рекомбинационного излучения S<sub>2</sub>, образованного при лазерном фотолизе ультрафиолетовым излучением CS<sub>2</sub> в аргоновой матрице при температуре 15 К. Fluorescence and recombination—emission spectra from S<sub>2</sub> formed by ultraviolet laser photolysis of CS<sub>2</sub> in an argon matrix at 15 K. Hamaguchi Hiro-o, Tasumi Mitsuo. «Chem. Phys. Lett.», 1982, 91, № 5, 406—408 (англ.)

Зарегистрированы спектры испускания, возникающие при фотолизе светом 257,3 нм импульсного лазера на ионах Ag<sup>+</sup> с удвоением частоты (средняя мощность 1—5 мВт, длительность импульса 15 нс, частота следования 4 МГц) смесей CS<sub>2</sub>—Ag состава 1: (100—500), замороженных при т-ре 15 К. Эти спектры содержат две серии колебательных полос A и B, приписанных переходам S<sub>2</sub>(B<sup>3</sup>Σ<sub>u</sub><sup>-</sup>→X<sup>3</sup>Σ<sub>g</sub><sup>-</sup>) и S<sub>2</sub>(B'<sup>3</sup>Π<sub>u</sub>→X<sup>3</sup>Σ<sub>g</sub><sup>-</sup>), причем разность энергетич. термов для одинаковых колебательных уровней в области от v=6 до v=16 постоянна и равна 524±2 см<sup>-1</sup>. Сделан вывод, что перв.

спектр,

М.Н.

X. 1983, 19, N.Y.

процесс фотолиза  $\text{CS}_2$  таков:  $\text{CS}_2 + h\nu \rightarrow \text{CS}(a^3\Pi) + \text{S}({}^3P)$ . Далее протекает процесс рекомбинац. люминесценции:  $\text{S}({}^3P) + \text{S}({}^3P) \rightarrow \text{S}_2(B''{}^3\Pi_u)$ ,  $\text{S}_2(B''{}^3\Pi_u) \rightarrow \text{S}_2(X^3\Sigma_g^-) + h\nu$ , ответственный за серию  $B$ , и процесс возбуждения флуоресценции  $\text{S}_2$ , ответственный за серию  $A$ :  $\text{S}_2(X^3\Sigma_g^-) + h\nu \rightarrow \text{S}_2(B^3\Sigma_u^-)$ ,  $\text{S}_2(B^3\Sigma_u^-) \rightarrow \text{S}_2(X^3\Sigma_g^-) + h\nu$ . Могут протекать также конкурирующие процессы внутренней конверсии  $\text{S}_2(B^3\Sigma_u^-) \rightarrow \text{S}_2(B''{}^3\Pi_u)$  и диссоциации  $\text{S}_2(B^3\Sigma_u^-) \rightarrow \text{S}({}^3P) + \text{S}({}^1D)$ . Изменения вкладов всех этих процессов могут объяснять вариации относительной интенсивностей серий  $A$  и  $B$  в зависимости от конц-ии  $\text{CS}_2$  и мощности лазера.

В. Е. Скурат



*S<sub>2</sub>*

Om. 14810

1982

3 Д123. Неэмпирический расчет расщеплений в нулевом поле состояний  $X^3\Sigma_g^-$  и  $B^3\Pi_{g,i}$  молекулы  $S_2$ . AB initio calculation of the zero-field splittings of the  $X^3\Sigma_g^-$  and  $B^3\Pi_{g,i}$  states of the  $S_2$  molecule. Hess Bernd A., Buerker Robert J., Marian Christel M., Peyerimhoff Sigrid D. «Chem. Phys.», 1982, 71, № 1, 79—85 (англ.)

*M.N.*

pp. 1983, 18, N3

*S<sub>2</sub>*

Om. 14810

1982

97: 225829e Ab initio calculation of the zero-field splittings of the  $X^3\Sigma_g^-$  and  $B^3\Pi_{g,1}$  states of the diatomic sulfur molecule. Hess, Bernd A.; Buenker, Robert J.; Marian, Christel M.; Peyerimhoff, Sigrid D. (Univ.-Gesamthochsch. Wuppertal, D-5600 Wuppertal, 1 Fed. Rep. Ger.). *Chem. Phys.* 1982, 71(1), 79-85 (Eng). The zero-field splitting of the  $^3\Sigma_g^-$  ground state of  $S_2$  is computed employing MRD CI wave functions obtained in a series of AO basis sets. All 1- and 2-electron spin-orbit interactions are included in the theor. treatment and results are obtained and compared using 2nd-order perturbation theory techniques and a CI-type diagonalization procedure. The computed data are in good agreement with expt., including the dependence of the splitting parameter on vibrational quantum no., and are quite stable with respect to variations in the AO basis as well as the no. of inner-shell core orbitals maintained doubly occupied in all Slater determinants employed in the theor. treatment.

meop. pac-

rem

paelgesul.

$X^3\Sigma_g^-$  COORD.

C.A.1982, 97, n26

$S_1$   
 $S_2$

Отмisch 14810

1982

3 Б40. Неэмпирический расчет расщеплений состояний  $X^3\Sigma_g^-$ ,  $B^3\Pi_{g,i}$  молекулы  $S_2$  в нулевом поле. Ab initio calculation of the zero-field splittings of the  $X^3\Sigma_g^-$ - and  $B^3\Pi_{g,i}$  states of the  $S_2$  molecule. Hess Bernd A., Buekner Robert J., Marian Christel M., Reuergimhoff Sigrid D. «Chem. Phys.», 1982, 71, № 1, 79—85 (англ.)

$X^3\Sigma_g^-$ ,  $B^3\Pi_{g,i}$   
неэмпир.  
расчет

С использованием волновых функций основного  $X^3\Sigma_g^-$  и низших возбужденных состояний  ${}^1, {}^3\Pi_g$ ,  ${}^1, {}^3\Sigma_g^+$  и  ${}^1\Delta_g$  молекулы  $S_2$ , рассчитанных методом КВ в различных гауссовых базисах АО (двуухэкспонентные базисы с включением и без включения гауссовых функций, центрированных на связи), вычислено расщепление состояний  $X^3\Sigma_g^-$  и  ${}^3\Pi_{g,i}$  в нулевом поле. Параллельно выполнен расчет расщепления состояния  ${}^2\Pi_{g,r}$  иона  $S_2^+$  под влиянием состояния  ${}^2\Sigma_g$ . При расчете расщеплений рассматривались все одно- и двухэлектронные спин-орбитальные взаимодействия. Вычисления проводились в рамках теории возмущений 2-го порядка

X, 1983, 19, 113

и диагонализации матрицы спин-орбитального взаимодействия в ограниченном конфигурац. базисе близколежащих состояний. Полная величина расщепления  $\lambda$  между компонентами  $\Sigma_g^+$  и  $\Pi_g$  находилась для 5 значений межъядерного расстояния, и ее зависимость от колебательного квантового числа определялась при усреднении  $\lambda(R)$  по колебательным волновым ф-циям, вычисл. с соотв-щими потенциальными кривыми. Показано, что в расчетах методом КВ ТС валентного спектра возможно использование замороженного остова так же, как и в неэмпирич. расчетах энергий электронных переходов. Крит. пунктом расчета является точность неэмпирич. определения энергий переходов. Теор. зависимость спин-орбит. расщепления  $\lambda$  ( $\text{см}^{-1}$ ) от колебательного квантового числа  $v$  для основного состояния  ${}^3\Sigma_g^-$   $\lambda_v = 11,70 + 0,055 (v+0,5) + 0,011 (v+0,5)^2$  хорошо согласуется с эксперим. зависимостью  $\lambda_v = 11,82 + 0,05 (v+0,5) + 0,0024 (v+0,5)^2$ .

И. А. Тополь

г. «J  
'анг

*S  
S<sub>2</sub>*

*1982*

97: 63515v Fluorescence and thermoluminescence of diatomic sulfur in low-temperature matrixes. Long, Stephen Randolph (Univ. California, Berkeley, CA USA). 1981. 219 pp. (Eng.). Avail. Univ. Microfilms Int., Order No. DAS212018. From Diss. *Abstr. Int. B* 1982, 42(12, Pt. 1), 4S11.

prop. &  
Leamuse

C. A. 1982, 97, N8.

$S_2, S_2^+$

1982

Mc Lear A.D., Liu B.,  
et al.

Kb. Mex.  
pacem

Clement Hale Funet, 2  
Meet, Adelaide, 18-24  
Febr., 1982. New York,  
1982, ● 90-100.  
(Cer.  $B_2$ ; III)

$S_2$

1982

Mc Claster Blair N.,  
Smith Vedene H., et al.

pacem

зеленый. Mol. Phys., 1982, 46,  
помощь. N.3, 449-463.

(c.c.  $C_2$ ;  $\underline{11}$ )

$S_1$   
 $S_2$

1982.

Patmopk

Veerappa -  
Korayya

98: 151901u Franck-Condon factors and  $r$ -centroids for the  $(f^1\Delta_u-a^1\Delta_g)$  transition of the diatomic sulfur molecule using R-K-R-V potential. Mummigatti, Veerappa M. (Basel Mission Higher Educ. Cent., Kittel Coll., Dharwar, 580001 India). *Acta Cienc. Indica, [Ser.J Phys.]* 1982, 8(1-4), 105-7 (Eng). The potential energy curves of the  $f^1\Delta_u$  and  $a^1\Delta_g$  electronic states of astrophys. significant  $S_2$  were computed using the R-K-R-V potential. Franck-Condon (FC) factors and  $r$ -centroids are evaluated for the  $(f^1\Delta_u-a^1\Delta_g)$  band system of  $S_2$  using wave functions appropriate to the R-K-R-V potential. On the basis of these computed FC-factors the intensity distribution in the band system is explained. The sequence difference in the computed  $r$ -centroids remains approx. const.

C.A. 1983, 98, N18.

*S<sub>2</sub>*

*On. 14844*

*1982*

1 Д586. Наблюдения состояний  $B^3\Sigma_u^-$  и  $B''^3\Pi_u$  молекулы  $S_2$ . Observations on the  $B^3\Sigma_u^-$  and  $B''^3\Pi_u$  states of  $S_2$ . Patiño Pedro, Vargow Richard F. «J. Chem. Soc. Faraday Trans.», 1982, Pt 2, 78, № 8, 1271—1282 (англ.)

С высоким разрешением сфотографирована полоса  $B^3\Sigma_u^- - X^3\Sigma_g^-$  в спектре поглощения молекулы  $^{32}S_2$ . Получены также спектры флуоресценции  $S_2(B-X)$ , возбуждаемые линиями  $Ar^+$ - и  $Kr^+$ -лазеров. Выполнен детальный анализ полосы 1—4. Проанализированы также возмущения уровня  $v=1$  состояния  $B^3\Sigma_u^-$  и определены спектроскопич. постоянные возмущающего состояния  $B''^3\Pi_u$ . В спектрах флуоресценции идентифицирован ряд полос изотопич. молекул  $^{32}S^{34}S$ . Библ. 24.

*M. N., Di*

*go. 1983, 18, n/*

32 J<sub>2</sub>

1982

# Omnuck 14874

197: 150904q Observations on the B  $^3\Sigma_u^-$  and B"  $^3\Pi_u$  states of disulfur. Patino, Pedro; Barrow, Richard F. (Phys. Chem. Lab., Oxford Univ., Oxford, UK OX1 3QZ). *J. Chem. Soc., Faraday Trans. 2* 1982, 78(8), 1271-82 (Eng). Photographs of the  $B^3\Sigma_u^- - X^1\Sigma_g^+$  system of  $^{32}S_2$  were taken, and fluorescence excited by several Ar- and Kr-ion laser lines was recorded. The rotational anal. of the 1-4 band is given in detail. A deperturbation of the levels of  $\nu = 1$  in  $B^3\Sigma_u^-$  is described and consts. for the perturbing state  $B''^3\Pi_u$  are derived and discussed. Some of the fluorescence series are assigned to  $^{32}S^{34}S$  in natural abundance.

$B^3\Sigma_u^- - X^1\Sigma_g^+$

laser excitation  
optical detection

reference.  $B^3\Pi_u^-$   
(U.N.)

C. A. 1982, 97, N18

S  
S<sub>2</sub>

Отмінка 14874

1982

2 Б150. О состояниях  $B^3\Sigma_u^-$  и  $B''^3\Pi_u S_2$ . Observations on the  $B^3\Sigma_u^-$  and  $B''^3\Pi_u$  States of  $\underline{S_2}$ . Patiño Pedro, Bargow Richard F. «J. Chem. Soc. Faraday Trans.», 1982, Pt 2, 78, № 8, 1271—1282 (англ.)

Сфотографирована система  $B^3\Sigma_u^- - X^3\Sigma_g^-$  в спектре поглощения  $^{32}S_2$  и исследованы спектры флуоресценции молекулы  $S_2$  возбуждаемые  $Ag^+$ - и  $Kr^+$ -лазерами. Проведен детальный анализ вращательной структуры одной из полос (1—4) в спектре поглощения. Для главных ветвей вращательной структуры приведено положение и отнесение линий. Дан перечень резонансных серий (с указанием относит. интенсивностей, наличия или отсутствия структуры, наличия релаксац. линий)  $^{32}S_2$  и  $^{32}S^{34}S$ , возбуждаемых от различных линий  $Ag^+$ - и  $Kr^+$ -лазеров, а также атомных и ионных линий др. источников возбуждения. Получены след. значения мол. постоянных  $^{32}S^{34}S (X^3\Sigma_g^-)$  (в  $cm^{-1}$ ):  $\omega_e = 714,37$ ,  $\omega_{ex_e} = -2,734$ ,  $B_e = 0,2880$ ,  $\gamma_e = 1,548 \times 10^{-3}$ . Наблюдаемые в

11.11.1

X. 1983, 19, № 2

спектре поглощения возмущения связываются с состоянием  $B''^3\Pi_u$ . Даны значения молек. постоянных  $^{32}S_2$ , полученные с учетом возмущений: состояние  $B^2\Sigma_u^-$ ,  $v=1$  ( $e, f$  уровни) —  $T_v$ ,  $B_v$ ,  $D_v$ ,  $C_\Sigma$  (постоянная спин-спинового взаимодействия),  $\gamma_\Sigma$  (спин-вращ. постоянная); состояние  $B''^3\Pi_u$ , ( $v, v+1$ ) —  $T_v$ ,  $B_v$ ,  $D_v$ ,  $\gamma_{\Pi_u}$ , Сп, рп, qп ( $p, q$ -постоянныи  $\lambda$ -удвоения). Приведены значения параметров возмущения для  $^3\Sigma^- \leftrightarrow ^3\Pi_{2,v}(\beta_0)$  и  $^3\Sigma^- \rightarrow ^3\Pi_{0,v+1}(\alpha_0, \beta_0)$ . Сделан вывод, что возмущающее состояние  $B''$  — регулярное  $^3\Pi$  состояние со след. мол. постоянными ( $^{32}S_2$ , в см $^{-1}$ ):  $T_e = 31\ 070$ ,  $A_c = 220$ ,  $\omega_e = 335,2$ ,  $\omega_e x_e = 4,5$ ,  $B_e = 0,210$ ,  $a_e = 0,0028$ ,  $D_e = 4930$ .

Б. М. Ковба

1 у.  
ител'

$S_1$   
 $S_2$

1982

191177y fluorescence and recombination-emission spectra  
from diatomic sulfur formed by ultraviolet laser photolysis of  
carbon disulfide in an argon matrix at 15 K.

(M.N.)

C.A. 1982, 97, 1122

S<sub>2</sub>

1982

laser loss.  
Pyrolysis.

'97: 136064j Investigation of laser induced fluorescence for concentration measurements of diatomic sulfur. Robbins, Tyrie R. (Sch. Eng., Air Force Inst. Technol., Wright-Patterson AFB, OH USA). Report 1981, AFIT/GEP/PH/81D-8; Order No. AD-A111141, 73 pp. (Eng). Avail. NTIS. From Gov. Rep. Announce. Index (U. S.) 1982, 82(13), 2545. The feasibility was studied of using laser induced fluorescence to measure S<sub>2</sub> no. densities in a lab. environment. The research was prompted by the growing interest in S<sub>2</sub>, esp. its potential as a tunable, high-power laser medium. In concept, laser induced fluorescence proved to be a feasible means of measuring S<sub>2</sub> concns. in lab. environment. Differences between the known and calcd. no. densities are attributed to the complexity of S<sub>2</sub>, quenching and radiation trapping, difficulties in measuring the effective lifetime, and inadequacies in the rate equation model.

C.A. 1982, 97, N/16

1983

S -  
Sd

(U.N., CKP)

99: 221464n The electronic and resonance Raman spectroscopy of the inorganic transients sulfur( $S_2^-$ ,  $S_3^-$ ) and selenium( $Se_2^-$ ) stabilized in ultramarine. Clark, Robin J. H.; Fairclough, David P.; Kurmoo, Mohamedally (Christopher Ingold Lab., Univ. Coll. London, London, UK). *Time-Resolved Vib. Spectrosc., [Proc. Int. Conf. TRVSJ 1982 (Pub. 1983), 213-18 (Eng). Edited by Atkinson, George H. Academic: New York, N. Y.* Electronic and resonance Raman spectral studies established the nature of the key chromophores in ultramarine blue, green, violet (various shades thereof) and pink, as well as in ultramarine selenium. They are  $S_2^-$ ,  $S_3^-$ ,  $S_4^-$  or  $Se_2^-$ , as demonstrated by excitation profile studies. Spectroscopic consts. for the radical anions are presented. Franck-Condon fits to the Raman-band excitation profiles allow the calcn. of bond length changes for  $S_2^-$  and  $Se_2^-$  on excitation to the resonant electronic states.

⑦ #3  $S_3^-$ ,  $Se_2^-$  ,  $S_4^-$  (and  $S_4^-$ )

C.A. 1983, 99, N 26

9  
2

1983

8 Б1114. Применение данных фотоэлектронной спектроскопии к оптическим спектроскопическим исследованиям газообразных катионов. Application of data from photoelectron spectroscopy to optical spectroscopic studies of gaseous cations. Dyke J. M., Jonathan N., Morris A. «Mol. Ions: Geom. and Electron. Struct. Proc. NATO Adv. Study Inst., Isle of Kos, Sept. 30—Oct. 10, 1980». New York; London, 1983, 217—220 (англ.)

Спектр, ил.

Обсуждены возможности использования ряда результатов исследований фотоэлектронных спектров (ФЭС) с высоким разрешением (колебательная и другая структура ФЭС) для анализа и интерпретации оптич. спектров катионов в газовой фазе. Показано, что сопоставление рассчитанных и эксперим. структур оптич. спектров может позволить уточнить значения равновесных межъядерных расстояний в катионных состояниях. На примере использования структуры ФЭС

X. 1984, 19, N 8

молекулы  $S_2$  продемонстрировано построение оптич. спектров, соотв-щих переходам между состояниями  $A^2\Pi_u \leftarrow X^2\Pi_g$  и  $b^4\Sigma_g^- \leftarrow a^4\Pi_u$ . Сделан вывод, что предсказания оптич. спектров в результате анализа ФЭС позволяют идентифицировать спектральные области, где должна наблюдаться эмиссия для молек. катионов. Эксперим. идентификация и анализ оптич. спектров эмиссии, в свою очередь, позволяют уточнить спектроскопич. постоянные катионных состояний, исследуемых с помощью ФЭС.

И. А. Тополь

s: Gi

$S_2^{1-}$

1983

Clark Robin J.H.,  
Dines Trevor J., et al.

u.r.

Inorg. Chem., 1983, 22,  
N 19, 2766-2772.

(ces.  $Se_2^-$ ;  $\text{III}$ )

$S_2^i$

Huxley P., Murrell J.N. 1983

romers. J. Chem. Soc., Faraday  
9-118  
Oerobn.  
coemtisn.

Trans. 2 1983, 79 (2),

323-8.

(see  $\text{Li}_2$ ; II)

$S_2^{\prime}$ ,  $S_3^{\prime}$ , ...  $S_8^{\prime}$  Om. 16089 1983

98: 81015g Detection of ion states of sulfur,  $S_2$  to  $S_8$  by electron impact. Rosinger, W.; Grade, M.; Hirschwald, W. (Inst. Phys. Chem., Freie Univ. Berlin, D-1000 Berlin, 33 Fed. Rep. Ger.), *Int. J. Mass Spectrom. Ion Phys.*, 1983, 47, 239-42 (Eng). Red HgS was heated in the Knudsen cell of a mass spectrometer and the effusing species Hg and  $S_2$  to  $S_8$  were ionized by electron impact (EI). Anal. of the ionization efficiency curves (IEC) revealed numerous appearance potentials (AP) up to 17 eV. All the spectroscopically known ionization potentials (IP) for  $S_2$  and  $S_8$  as well as addnl. energies for autolonization processes could be obtd. In the case of  $S_3$  to  $S_7$  where no exptl. data are available for comparison the detd. energies are uncertain to result primarily from direct ionization.

(A.P. g)  
~~dec.~~

(MacCrekamp)

C.A. 1983, 98, N10.

S<sub>2</sub>      On. 21053      1984

1 Л452. Сенсибилизованная  $O_2(a^1\Delta_g)$  хемилюминесценция переходов  $a^1\Delta \rightarrow X^3\Sigma^-$  и  $b^1\Sigma^+ \rightarrow X^3\Sigma^-$  двухатомных молекул «группа VI — группа VI» и «группа V — группа VII».  $O_2(a^1\Delta_g)$ -Sensitized chemiluminescence of  $a^1\Delta \rightarrow X^3\Sigma^-$  and  $b^1\Sigma^+ \rightarrow X^3\Sigma^-$  transitions of group VI — group VI and group V — group VII diatomic molecules. Bielefeld M., Elfers G., Fink E. H., Kruse H., Wildt J., Winter R., Zabel F. «J. Photochem.», 1984, 25, № 2—4: COSMO 84: Proc. Conf. Singlet Mol. Oxygen, Clearwater Beach, Fla, Jan. 4—7, 1984, 419—438 (англ.)

спикер

(40) 87

рд

оп. 1985, 18, N/

*S<sub>2</sub>*

В ИК-области спектра изучены переходы  $b^1\Sigma^+(b0^+) \rightarrow X^3\Sigma^-(X_10^+, X_21)$  и  ${}^1\Delta(a2) \rightarrow X^3\Sigma^-(X_10^+, X_21)$  двухатомных молекул типа дихалькогенидов на основе элементов группы VI и моногаллоидов элементов группы V по сенсибилизованной синглетным молекулярным кислородом ( $O_2(a^1\Delta_g)$ ) хемилюминесценции. Спектральная идентификация переходов  $b \rightarrow X$ ,  $S_2$ ,  $Se_2$  и  $SeS$  и полосы  $a^1\Delta$ ,  $\nu' = 0 \rightarrow X^3\Sigma^-$ ,  $\nu'' = 0$   $SO$  проведена путем сравнения ИК-спектров с фурье-преобразованием сенсибилизированной хемилюминесценции этих молекул с рассчитанными с помощью ЭВМ контурами полос. Измерена разрешенная во времени люминесценция  $b \rightarrow X$  молекул  $SO$ ,  $SeO$ ,  $NJ$ ,  $PCl$ ,  $PBr$ ,  $SbF$ ,  $SbCl$  и  $SbBr$  после возбуждения соответствующих молекул импульсным излучением эксимерного лазера, а также радикалов (в разряде) — импульсным излучением лазера на красителе. Получены значения излучательных времен состояний  $b$  указанных двухатомных молекул, а также констант скоростей тушений этих состояний  $He$ ,  $Ar$ ,  $H_2$ ,  $D_2$ ,  $N_2$ ,  $CO$ ,  $O_2$ ,  $CO_2$ ,  $SO_2$  и  $CH_4$ . Библ. 50. Т. А. Ш.

$PBr$ ,  $SbF$ ,  $SbCl$ ,  $SbBr$ ,  $Se_2$ ,  $SeS$ ,  $SO$ ,  $SeO$ ,  $NJ$ ,  $PCl$ ,

S<sup>3</sup>  
S<sub>2</sub>

07. 21053

1984

2 Б4440. Сенсибилизованная  $O_2(^1\Delta)$  хемилюминесценция двухатомных молекул  $A^{VI}B^{VI}$  и  $A^{V}B^{VII}$  на переходах  $a^1\Delta \rightarrow X^3\Sigma^-$  и  $b^1\Sigma^+ \rightarrow X^3\Sigma^-$ .  $O_2(a^1\Delta_g)$ -Sensitized chemiluminescence of  $a^1\Delta \rightarrow X^3\Sigma^-$  and  $b^1\Sigma^+ \rightarrow X^3\Sigma^-$  transitions of group VI—group VI and group V—group VII diatomic molecules. Bielefeld M., Elfers G., Fink E. H., Kruse H., Wildt J., Winter R., Zabel F. «J. Photochem.», 1984, 25, № 2—4: COSMO 84: Proc. Conf. Singlet Mol. Oxygen, Clearwater Beach, Fla, Jan. 4—7, 1984, 419—438 (англ.)

Исследованы переходы  $b^1\Sigma^+(b0^+) \rightarrow X^3\Sigma^-(X_10^+, X_{21})$  и  $a^1\Delta(a2) \rightarrow X^3\Sigma^-(X_10^+, X_{21})$  двухатомных молекул  $A^{VI}B^{VI}$  и  $A^{V}B^{VII}$  в ближней ИК-области. Использованы след. методы: измерение Хл, импульсный Фт, лазерная Фл. Спектроскопич. идентификация  $b \rightarrow X$  переходов  $S_2$ ,  $SeS$  и  $Se_2$  и полос  $a^1\Delta, v'=0 \rightarrow X^3\Sigma^-$ ,  $v''=0$  SO достигнута при сравнении эксперим. и рассчитанных на ЭВМ контуров полос Хл, сенсибилизо-

спектр, т.

18  
40

X. 1985, 19, № 2

ванной  $O_2(^1\Delta)$ . Уточнены энергии электронных состояний этих молекул. Для  $SQ$ ,  $SeO$ ,  $NJ$ ,  $PCl$ ,  $PBr$ ,  $SbF$ ,  $SbCl$  и  $SbBr$  по кинетике  $b \rightarrow X$  испускания, возбуждаемого при Фт  $ArF$  — (193 нм) или  $KrF$  — (248 нм) лазером соотв. молекул — доноров или при Фл этих радикалов, индуцируемой лазером на красителе в разрядно-струевой установке, определены радиац. времена и константы скорости тушения  $b$ -состояний. Указаны условия возникновения инверсной заселенности на переходе  $S_2(a \rightarrow X)$  при резонансном обмене энергией с  $O_2(^1\Delta)$ .

Л. Ю. Мельников

я раз

S<sub>1</sub>  
S<sub>2</sub>

DM 21053

1984

101: 237994u Molecular oxygen( $a^1\Delta_g$ )-sensitized chemiluminescence of  $a^1\Delta \rightarrow X^3\Sigma^-$  and  $b^1\Sigma^+ \rightarrow X^3\Sigma^-$  transitions of group VI-group VI and group V-group VII diatomic molecules. Bielefeld, M.; Elfers, G.; Fink, E. H.; Kruse, H.; Wildt, J.; Winter, R.; Zabel, F. (Fachbereich Phys. Chem., Bergische Univ. GH Wuppertal, D-5600 Wuppertal, 1 Fed. Rep. Ger.). *J. Photochem.* 1984, 25(2-4), 419-38 (Eng). The  $b^1\Sigma^+(b0^+) \rightarrow X^3\Sigma^-(X_10^+, X_{21})$  and  $a^1\Delta(a2) \rightarrow X^3\Sigma^-(X_10^+, X_{21})$  transitions of group VI-group VI and group V-group VII diat. mols. in the near-IR spectral region were investigated by chemiluminescence measurements, excimer laser pulse photolysis, and dye laser fluorescence. Spectroscopic identification of the  $b \rightarrow X$  transitions of S<sub>2</sub>, SeS, and Se<sub>2</sub> and of the  $a^1\Delta, v' = 0 \rightarrow X^3\Sigma^-, v'' = 0$  band of SO was achieved by comparing medium resoln. Fourier transform IR spectra of the O<sub>2</sub>( $a^1\Delta_g$ )-sensitized chemiluminescence of these mols. with computer-simulated band shapes. Improved data for the electronic state energies of these mols. were obtained. Time-resolved studies of the  $b \rightarrow X$  emissions of SO, SeO, NI, PCl, PBr, SbF, SbCl and SbBr following excimer laser pulse photolysis of suitable parent compds. or pulsed dye laser excitation of the radicals in discharge flow systems are reported. Preliminary data for the radiative lifetimes of the  $b$  states and quenching rate consts. were deduced. The energy exchange and energy pooling processes operative in the O<sub>2</sub>( $a^1\Delta_g$ )-sensitized chemiluminescence systems and possible population inversions between the vibronic states are discussed.

( $b^1\Sigma^+ - X^3\Sigma^-$ )

(f9)

⊗

C.A. 1984,  
101, N26.

S<sub>2</sub>

Om. 20884 !

1984

Clark R. Y.H.,

(Di, We, Wilk)

Chem. Soc. Rev., 1984,  
13, N3, 219 - 244.

$S_2$

1984

Feng W.Y., Novaro O.,  
et al.

200°Cemp,  
empykm.,  
et. n.

Chem. Phys. Lett.,  
1984, III, N3, 297 -  
-302.

(cav.  $O_2$ ; III)

III. 18888 1984

9 Л240. Химическое образование и спектроскопия молекул  $S_2$  при расширении в свободной струе. Chemical formation and spectroscopy of  $S_2$  in a free jet expansion. Heaven M., Miller Г. Теггу А., Bondybey V. E. «J. Chem. Phys.», 1984, 80, № 1, 51—56 (англ.)

Методом возбуждаемой лазером флуоресценции исследованы возмущения в спектре полосы 2—3 перехода  $B-X$  молекул  $S_2$ , обусловленные состоянием  $B''^3\Pi_u$ . Молекулы  $S_2$  образовывались в свободной сверхзвуковой струе в результате цепочки фотохимич. реакций, индуцированных излучением ArF-лазера:  $H_2S+h\nu \rightarrow SH+H$ ,  $H+SH \rightarrow H_2+S$ ,  $SH+SH \rightarrow H_2S+S$ ,  $S+SH \rightarrow S_2$  ( $X^3\Sigma$ ,  $v''<9$ ) + H и охлаждались при расширении струи до вращательной т-ры  $\leq 20$  К. В результате анализа полученных спектров определены вращательные постоянные изотопозамещенных молекул  $^{32}S_2$  и  $^{32}S^{34}S$ , а также постоянная спин-орбитального расщепления и значение  $T_e$  для состояния  $B''^3\Pi_u$ . Библ. 25.

В. А. Елохин

оф. 1984, 18, № 9

*S<sub>1</sub>*  
*S<sub>2</sub>*

окт. 18 888

1984

14 Б1163. Химическое образование и спектроскопия S<sub>2</sub> в свободно расширяющейся струе. Chemical formation and spectroscopy of S<sub>2</sub> in a free jet expansion. Heaven M., Miller T. A., Bondybey V. E. «J. Chem. Phys.», 1984, 80, № 1, 51—56 (англ.)

В области 300—330 нм измерены возбуждаемые перестраиваемым лазером спектры флуоресценции молекул S<sub>2</sub> в сверхзвуковой струе. Молекулы S<sub>2</sub> получали при фотолизе ArF-лазером молекул H<sub>2</sub>S, присутствующих в кач-ве примеси в свободно расширяющемся потоке Ar. На основании кинетич. расчетов предложен радикал-радикальный механизм образования S<sub>2</sub>: H<sub>2</sub>S +  $h\nu \rightarrow$  SH + H, H + SH  $\rightarrow$  H<sub>2</sub> + S, SH + SH  $\rightarrow$  H<sub>2</sub>S + S, S + SH  $\rightarrow$  S<sub>2</sub>(X<sup>3</sup>Σ, v''  $\leqslant$  9) + H. Механизм подтвержден наблюдением в спектре флуоресценции полосы 0—0-перехода A—X радикала SH. Показано, что вращательная т-ра S<sub>2</sub> в струе составляет  $\leqslant$  20 К. Зарегистрирован ряд колебательных переходов в системе B<sup>3</sup>Σ<sub>u</sub>—X<sup>3</sup>Σg—S<sub>2</sub> и выполнен анализ вращательной структуры полосы 2—3. Наблюдаемые возмущения вращательной структуры объяснены взаимодействием состояния B с

*анализ  
вращательной  
структуре*

*окт. 1984, 19, N 14*

близлежащим состоянием  $B''^3\Pi_u$ . На основании анализа возмущений для  ${}^{32}S_2$  и  ${}^{32}S{}^{34}S$  и лит. данных по возмущениям уровня  $v=1$  состояния  $B$  и матричным спектрам  $S_2$  рассчитаны вращательная постоянная ( $0,199 \text{ см}^{-1}$ ), постоянная спин-орбитального взаимодействия ( $202 \text{ см}^{-1}$ ) и энергия электронного перехода ( $31\,474 \text{ см}^{-1}$  для компоненты  ${}^3\Pi_2$ ) состояния  $B''^3\Pi_u$ .

С. Б. Осин

30 50  
"льи"

*S<sub>2</sub>*

Jan. 1888

1984

100: 76739b Chemical formation and spectroscopy of diatomic sulfur in a free jet expansion. Heaven, M.; Miller, Terry A.; Bondyhey, V. E. (Bell Lab., Murray Hill, NJ 07974 USA). *J. Chem. Phys.*, 1984, 80(1), 51-6 (Eng). H<sub>2</sub>S seeded in a free jet expansion of Ar was photolyzed by an ArF laser. The liberated free radical fragments react to form S<sub>2</sub> mols., cooled rotationally by the jet to  $\lesssim 20$  K. A detailed rotational anal. of the laser induced fluorescence spectrum of the 2-3, *B-X* band of S<sub>2</sub> reveals localized perturbations due to the *B'' 3Π<sub>u</sub>* state of S<sub>2</sub>. A deperturbation anal. for both <sup>32</sup>S<sub>2</sub> and <sup>32</sup>S<sup>34</sup>S spectra yields values for the rotational const., spin-orbit coupling const., and *T<sub>0</sub>* for *B'' 3Π<sub>u</sub>S<sub>2</sub>*.

layer boy.  
Pyrolysis.  
fraction.  
drain,  
U.N.

C.A. 1984, 100, N10

$S_2^1$

[011. 19678]

1984

Klotz R., Marian Ch.,  
et al.

$b^1\Sigma^+$ ,

$a^1A$  coocū., Chem. Phys., 1984, 89,

T;

N2, 223-236.

1984

S<sub>2</sub>

10 Л286. Спектральное распределение послесвечения при импульсном фотолизе паров селена и серы.  
Лездинъ А. Э., Убелис А. П. «Хим. физ.», 1984,  
3, № 6, 833—835

Исследовалось спектральное распределение интенсивности послесвечения паров селена и серы. Измерения проводились на установке высокотемпературного импульсного фотолиза при давлении паров селена 0,1 тор и серы — 0,05 тор, т-ре кюветы фотолиза 1000 К, давлении ксенона 15 тор для серы и 18 тор — для селена. Предполагается, что источником послесвечения является фоторекомбинация атомов селена и серы в основных состояниях  $ns^2np^4 \ ^3P_{0,1,2}$ . Предполагается, что состояние серы  $S_2(B^3\Sigma_u^-, v')$  заселяется в процессе, обратном предиссоциации, через уровни  $S_2(B^3\Sigma_u^-, v' \geq 10)$ .

Резюме

871

к<sub>2</sub>

сп. 1984, 18, N 10

*S<sub>2</sub>*

1984

102: 140171f Fluorescence lifetimes of the  $B^3\Sigma_u^-$  and  $B''^3\Pi_u$ -states of diatomic sulfur. Matsumi, Yutaka; Suzuki, Takanori; Kasuya, Takahiro (Inst. Phys. Chem. Res., Wako, Japan). *Reza Kagaku Kenkyu* 1984, 6, 16-18 (Japan). Fluorescence lifetimes were obtained for individual vibrational-rotational levels of the  $B^3\Sigma_u^-$  and  $B''^3\Pi_u$  states of  $S_2$  in the supersonic free-jet. The fluorescence lifetimes were in the range of 34.2-49.3 ns for the  $B^3\Sigma_u^-$  state and in the range of 108-3888 ns for the  $B''^3\Pi_u$  state, which were strongly dependent on the spin-vibrational quantum no. The large variation of the lifetimes was successfully interpreted by the homogeneous interactions between the  $B^3\Sigma_u^-$  and  $B''^3\Pi_u$  states.

(*Preprint*, )  
2

C. A. 1985, 102, N. 16

*S<sub>1</sub>*  
*S<sub>2</sub>*

1984

102: 140170e Direct observation of the  $B''^3\Pi_u - X^3\Sigma_g^-$  transition of diatomic sulfur in a supersonic free jet. Matsumi, Yutaka; Munakata, Toshiaki; Kasuya, Takahiro (Inst. Phys. Chem. Res., Wako, Japan). *Reza Kagaku Kenkyu* 1984, 6, 12-15 (Japan). The laser-induced fluorescence (LIF) spectra of S<sub>2</sub> was studied in a supersonic free-jet expanded from a high temp. nozzle source of 800 K. The lifetime sepn. method was advantageously combined with the LIF detection in the supersonic free-jet. The weak  $B''^3\Pi_u - X^3\Sigma_g^-$  band was thereby obsd. successfully in good distinction among the strong  $B^3\Sigma_u^- - X^3\Sigma_g$  band system. The rotational consts. and term values of the vibronic levels  $v' = 3-18$ ,  $B''^3\Pi_u(F_1, F_2)$  were evaluated by a rotational anal.

$(B''^3\Pi_u - X^3\Sigma_g^-)$

ll. n.

C.A. 1985, 102, N 16-

$S_1$   
 $S_2$

On: 20015

1984

101: 119745r Direct observation of the  $B''^3\Pi_u - X^3\Sigma_g^-$  transition of diatomic sulfur in a supersonic free jet. Matsumi, Yutaka; Munakata, Toshiaki; Kasuya, Takahiro (Inst. Phys. Chem. Res., Wako, Japan 351). *J. Chem. Phys.* 1984, 81(3), 1108-14 (Eng). The laser-induced fluorescence (LIF) spectra of  $S_2$  were studied for a supersonic free jet which was expanded from a high-temp. nozzle source at 800 K. The lifetime sepn. method was advantageously combined with the LIF detection in the supersonic free jet. The weak  $B''^3\Pi_u - X^3\Sigma_g^-$  band was obsd. successfully in good distinction among the strong  $B^3\Sigma_u(E_1, E_2)$  band system. The rotational consts. and term values of the vibronic levels  $v'=3-18B''^3\Pi_u(F_1, F_2)$  were evaluated by a rotational anal. An inspection of the intensity distribution among the obsd. spectral lines indicates that the  $B''^3\Pi_u - X^3\Sigma_g^-$  bands borrow intensity from  $B''^3\Sigma_u - X^3\Sigma_g^-$  bands through homogeneous perturbations. The anomalous behavior of mol. const., including the irregular vibronic dependence of the spin-splitting const. of  $B^3\Sigma_u^-$ , is interpreted in terms of the perturbation from the  $B''^3\Pi_u$  state.

$(B''^3\Pi_u - X^3\Sigma_g^-)$



c.A.1984, 101, n14

*S<sub>2</sub>*

*DM 30015*

*1984*

3 Б1162. Прямое наблюдение перехода  $B''^3\Pi_u - X^3\Sigma_g^-$  двухатомной серы в свободной сверхзвуковой струе. Direct observation of the  $B''^3\Pi_u - X^3\Sigma_g^-$  transition of diatomic sulfur in a supersonic free jet. Matsumi Yutaka, Munakata Toshiaki, Kasuya Takahiro. «J. Chem. Phys.», 1984, 81, № 3, 1108—1114 (англ.)

Исследованы спектры лазерной флуоресценции двухатомной серы в свободной сверхзвуковой струе, вытекающей из источника с нагретым (800 К) кварцевым соплом. За счет использования системы перегрева парц. конц-ия молекул  $S_2$  по сравнению с исходным паром ( $T=470$  К) увеличивается до 10% (мольных). Для измерения слабой системы  $B''^3\Pi_u - X^3\Sigma_g^-$  (280—335 нм) на фоне интенсивной системы  $B_3\Sigma_u^- - X^3\Sigma_g^-$  регистрация спектра Фл осуществлялась с задержкой (250 нс) относительно возбуждающего импульса лазера (перестраиваемый в области 560—670 нм лазер на красителе с удвоением частоты). Проанализирована

*спектр,*

*и.п.*

*X. 1985, 19, N3.*

вращательная структура полос. Приведены волновые числа кантов полос  $v' = 3 - 18 - v'' = 0 - 4$  (компоненты с различными значениями  $\Omega'$ ,  $\Omega'' = 0, 1$ ); эффективные значения вращательных постоянных  $B_v$ , ( $\Omega' = 0e$  и 1) состояния  $B''$ ; значения  $T_{v'e}$  (относительно компоненты  $F_2$  состояния  $X^3\Sigma_g^-$ ); значения  $A_v$  и  $\Delta G_v$ , ( $v' = 3 - 18$ ). Анализ распределения интенсивности полос в системе  $B'' - X$  показал, что за счет гомогенных возмущений  $B''^3\Pi_u \leftrightarrow B^3\Sigma_u^-$  происходит заимствование интенсивности от перехода  $B - X$ . В свою очередь, аномальное поведение молек. постоянных, включая константу спинового расщепления, в состоянии  $B^3\Sigma_u^-$  интерпретировано как результат возмущения, вызываемого состоянием  $B''^3\Pi_u$ .

В. М. Ковба

1  
р а  
н

*S<sub>1</sub>*  
*S<sub>2</sub>*

011.20015

1984

) 3 Л486. Прямое наблюдение перехода  $B''^3\Pi_u - X^3\Sigma_g^-$  молекулы двухатомной серы в свободной сверхзвуковой струе. Direct observation of the  $B''^3\Pi_u - X^3\Sigma_g^-$  transition of diatomic sulfur in a supersonic free jet. Matsumi Yutaka, Munakata Toshiaki, Kasuya Takahiro. «J. Chem. Phys.», 1984, 81, № 3, 1108—1114 (англ.)

Методом возбуждаемой лазером флуоресценции с разрешением во времени получены спектры слабого перехода  $B''^3\Pi_u - X^3\Sigma_g^-$  молекулы  $S_2$ . Возбуждение молекул  $S_2$  осуществлялось в свободной сверхзвуковой струе образующейся при расширении в вакуум паров серы в смеси с газом — носителем через сопло, имеющее т-ру 800 К. Это позволило достичнуть эффективного разделения слабого перехода  $B'' - X$  и горячих полос интенсивной системы  $B - X$ . На основании вращательного анализа спектров определены спектроскопич. постоянные состояний  $v' = 3 - 18$   $B''^3\Pi_u$  ( $F_1, F_2$ ). Обсуждены причины возмущений вращательных уровней в спектрах.

В. А. Е.

*phi. 1985, 18, N3*

$S_2^1$

1984

McLean A.D., Liu B.,  
et al.

meop. J. Chem. Phys. 1984,  
pacreev. 80 (10), 5130-40.

(Ces.  $\text{Al}_2^+$ ; III)

С2

1984

10 Л241. Поглощение света молекулами  $^{32}\text{S}_2$  и  $^{34}\text{S}_2$ , изолированными в матрице аргона, в области  $30\ 000 \div 36\ 000\ \text{см}^{-1}$ . Прихотько А. Ф., Навлощук В. А., Панасюк А. В., Шанский Л. И. «Оптика и спектроскопия», 1984, 56, № 6, 1007—1014

Исследованы электронные переходы  $B^3\Sigma_u^- \leftarrow X^3\Sigma_g^-$  и  $B''^3\Pi_u \leftarrow X^3\Sigma_g^-$  в спектре поглощения матрично изолированных молекул  $\text{S}_2$ . Показано, что взаимное возмущение колебательных уровней состояний  $B^3\Sigma_u^-$  и  $B''^3\Pi_u$  приводит к характерному чередованию укороченных и удлиненных колебательных квантов и к установлению соизмерной величины квантов обоих состояний. (два кванта в  $B^3\Sigma_u^-$  по величине равны трем смежным квантам в  $B''^3\Pi_u$ ). Светом возбуждаются компонент  $S_z = 0$ , расположенный на  $50\ \text{см}^{-1}$  выше компонентов  $S_z = \pm 1$  состояния  $B^3\Sigma_u^-$ , а также нижайший компонент  $\Omega = 0$  состояния  $B''^3\Pi_u$ . Интенсивность перехода  $B''^3\Pi_u \leftarrow X^3\Sigma_g^-$  заимствуется от сильного перехода  $B^3\Sigma_u^- \leftarrow X^3\Sigma_g^-$  в результате взаимодействия возбужденных состояний.

Резюме

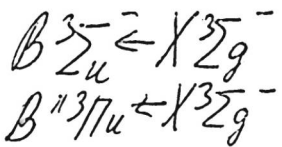
спектр в  
матрице,  
М.Л.

окт. 1984, 18, N 10

$S_2$

1984

101: 160465n Absorption of light by sulfur ( $^{32}\text{S}_2$  and  $^{34}\text{S}_2$ ) molecules isolated in an argon matrix at 30,000-36,000  $\text{cm}^{-1}$ . Prikhot'ko, A. F.; Pavloshchuk, V. A.; Panasyuk, A. V.; Shanskii, L. I. (USSR). *Opt. Spektrosk.* 1984, 56(6), 1007-14 (Russ.). The electronic transitions  $B^3\Sigma_u^- \leftarrow X^3\Sigma_g^-$  and  $B''^3\Pi_u \leftarrow X^3\Sigma_g^-$  were studied of matrix isolated  $\text{S}_2$  mols. Mutual disorder of vibrational levels of the states  $B^3\Sigma_u^-$  and  $B''^3\Pi_u$  leads to a character of alternative shortening and lengthening of vibrational quanta and to the establishment in proportion to the value quanta of states. By light the component  $S_z = 0$  arranged 50  $\text{cm}^{-1}$  higher than components  $S_z = \pm 1$  is excited to state  $B^3\Sigma$  in and also to the lower component  $\Omega = 0$  of the state  $B''^3\Pi_u$ .



C.A. 1984, 101, n18

1984

57  
2

20 Б4371. Поглощение света молекулами  $^{32}\text{S}_2$  и  $^{34}\text{S}_2$ , изолированными в матрице аргона, в области 30 000—36 000 см $^{-1}$ . Прихолько А. Ф., Павловщук В. А., Панасюк А. В., Шанский Л. И. «Оптика и спектроскопия», 1984, 56, № 6, 1007—1014

Исследованы электронные переходы  $B^3\Sigma_u^- \leftarrow X^3\Sigma_g^-$  и  $B''^3\Pi_u \leftarrow X^3\Sigma_g^-$  в спектре поглощения матрично изолированных молекул  $\text{S}_2$ . Показано, что взаимное возмущение колебат. уровней состояний  $B^3\Sigma_u^-$  и  $B''^3\Pi_u$  приводит к характерному чередованию укороченных и удлиненных колебат. квантов и к установлению соразмерной величины квантов обоих состояний (два кванта в  $B^3\Sigma_u^-$  по величине равны трем смежным квантам  $B''^3\Pi_u$ ). Светом возбуждаются компонента  $S_z=0$ , расположенная на 50 см $^{-1}$  выше компонент  $S_z=\pm 1$  состояния  $B^3\Sigma_u^-$ , а также нижайший компонент  $\Omega=0$  состояния  $B''^3\Pi_u$ . Интенсивность перехода  $B''^3\Pi_u \leftarrow X^3\Sigma_g^-$  заимствуется от сильного перехода  $B^3\Sigma_u^- \leftarrow X^3\Sigma_g^-$ . в результате взаимодействия возбужденных состояний.

Резюме

Свет  
в  
матрице

X. 1984, 19, N 20

*S<sub>d</sub>*

*Op. 19352*

*1984*

12 Л498. Хемилюминесценция в реакции щелочно-земельных элементов с  $\text{SCl}_2$ : инверсия колебательной населенности в состоянии  $B$  молекул  $\text{S}_2$ . Alkali —  $\text{SCl}_2$  chemiluminescence. Vibrational population inversion in the  $B$  state of  $\text{S}_2$ . Wright J. J., Balling L. C. «Chem. Phys. Lett.», 1984, 108, № 3, 214—216 (англ.)

В спектральной области 380—700 нм исследована хемилюминесценция (ХЛ) молекул  $\text{S}_2(B^3\Sigma_u^- \rightarrow X^3\Sigma_g^-)$ , образующихся в реакции  $\text{SCl}_2$  с K, Rb и Cs в газовой фазе при давлении реагентов  $< 1$  мм рт. ст. Установлено, что добавление в реактор буферного газа (Ar, He) при давлении несколько мм рт. ст. приводит к значительному перераспределению интенсивности в спектрах ХЛ с усилением переходов с возбужденных колебательных уровней  $v' = 6—9$  состояния  $B^3\Sigma_u^- - \text{S}_2$ . Предложено, что в присутствии буферного газа основным каналом образования  $\text{S}_2(B)$  становится реакция трехчастичной рекомбинации  $\text{S}({}^3P) + \text{S}({}^3P) + \text{M} \rightarrow \text{S}_2(B) +$

*спектр*

*φ. 1984, 18, N/2.*

$\pm M$ , протекающая с образованием промеж. частицы  $S_2(1u)$ . Пересечение кривых потенц. энергии состояний  $1u$  и  $B^3\Sigma_u^-$  вблизи уровня  $v'=0$  последнего обуславливает преимущественное заселение уровней  $v'=6-9$  этого состояния. Сделан вывод о возможности разработки химич. лазера с излучением в видимой области спектра при переходах в  $S_2(B \rightarrow X)$ . С. В. Литке

М ВС

*S<sub>2</sub>*

*Om. 19352*

*1984*

21 Б4516. Хемилюминесценция [в реакциях] щелочных металлов с  $\text{SCl}_2$ : инверсия населенности колебательных уровней в *B*-состоянии  $\text{S}_2$ . Alkali- $\text{SCl}_2$  chemiluminescence: vibrational population inversion in the *B* state of  $\text{S}_2$ . Wright J. J., Balling L. C. «Chem. Phys. Lett.», 1984, 108, № 3, 214—216 (англ.)

Изучена Хл в р-циях между атомами щел. металлов ( $M = \text{K}, \text{Rb}$  и  $\text{Cs}$ ) и  $\text{SCl}_2$  в статич. системе. Давл. паров  $M \sim 10^{-3}$ —1 Торр, исследуемый спектральный диапазон  $\sim 380$ —700 им. В отсутствие буф. газа в спектрах Хл преобладает излучение  $M$ , наблюдается также синяя Хл, соотв. переходам  $\text{S}_2(B^3\Sigma_u^- \rightarrow v' = 0,1 \rightarrow X^3\Sigma_g^-)$ . При добавлении 1—10 Торр буфера (Не или Ar) возникает Хл на переходах  $\text{S}_2 B, v' > 6 \rightarrow X$  (красное свечение) и подавляется синяя Хл и излучение  $M$ . Авторы предполагают, что синяя Хл возникает в результате р-ции  $\text{S}({}^1D) + \text{SCl}^*(X^2\Pi) \rightarrow \text{S}_2(B^3\Sigma_u^-) + \text{Cl}({}^2P)$ , заселяющей уровни  $v' = 0,1 \text{ S}_2(B)$ , причем возбужденные атомы серы

*Спектр*

*X. 1984, 19, № 21*

и колебат.-возбуждённые молекулы  $\text{SCI}^*$  образуются при отщеплении атомов Cl от  $\text{SCl}_2$  в р-циях с M. Добавка буфера уменьшает скорость бимолек. р-ций относительно р-ции трехчастичной рекомбинации  $\text{S}({}^3P) + \text{S}({}^3P) + \text{M} \rightarrow \text{S}_2(B, v' < 10) + \text{M}$ , являющейся по мнению авторов, источником красной Хл. Заселение B-состояния в процессе обратной предиссоциации приводит к инверсии населенности его колебат. уровней. Высказано мнение, что переходы  $\text{S}_2(B \rightarrow X)$  пригодны для создания хим. лазера видимого диапазона. Л. Ю. Мельников

S<sub>2</sub> f

Om. 19352 1984

101: 81076h Alkali-sulfur dichloride chemiluminescence: vibrational population inversion in the B state of diatomic sulfur. Wright, J. J.; Balling, L. C. (Dep. Phys., Univ. New Hampshire, Durham, NH 03824 USA). *Chem. Phys. Lett.* 1984, 108(3), 214-16 (Eng). S<sub>2</sub>(H-X) chemiluminescence, primarily from  $v' = 0$  and 1, was obsd. in alkali atom-SCl<sub>2</sub> reactions. The addn. of He or Ar buffer gas to the reaction chamber alters the reaction dynamics, and at certain buffer gas pressures the S<sub>2</sub> emission originates exclusively from the  $v' = 6-9$  vibrational levels of the B(<sup>3</sup> $\Sigma_u^-$ ) state.

(B-X)

Chemiluminescence.

C.A. 1984, 101, N10